

Vysoká škola: strojní a textilní
Fakulta: strojní

Katedra: materiálu a tváření
Školní rok: 1962/63

DIPLOMNÍ ÚKOL

pro s. Rachotu Vojtěcha
obor Strojírenská technologie

Protože jste splnil požadavky učebního plánu, zadává Vám vedoucí katedry ve smyslu směrnic ministerstva školství a kultury o státních závěrečných zkouškách tento diplomní úkol:

Název thematu: Vývoj vhodné metodiky mechanických zkoušek keramických forem.

Pokyny pro vypracování:

- 1) Sledujte technologické postupy při výrobě přesných odliatků, zejména při přípravě a výrobě keramických skořepin a při jejich přípravě před odléváním.
- 2) Sledujte provozní i laboratorní metodiku při zkoušení kvality výchozích směsí pro výrobu skořepin i skořepin samých a to hlavně po stránce mechanických vlastností.
- 3) Provedte zkoušky při normálních i zvýšených teplotách na sadě různých vzorků, připravených těmito postupy:
 - a) destička vytvořená na pasu alespoň ve dvou šírkách (vosk, plech, PVC) s okruji:
 - I. broušenými
 - II. stíranými
 - b) destička vytvořená na pasu, okruje vyformované
 - I. forma z PVC s přestavitelnými kraji
 - II. forma z vosku (typ VSST)
 - c) destička vytvořená z pasu, celý tvar vybroušen (typ dle Shepherdса).
- 4) Všechny uvedené zkoušky provedte pro vzájemnou srovnatelnost hodnot vždy najednou při provozních podmínkách stejným obalovacím způsobem a to alespoň dvakrát. Pokud možno se pokusete dále alespoň jednou prověřit celou sadu technologií rozdílnou od předchozích (na př. sestárlá vazná kapalina nebo jiný způsob hydrolyzy, jiný způsob přípravy obalové směsi nebo zásypového píska a pod.).
- 5) Zhodnotte a porovnejte výsledky vlastních měření a pokuse se o návrh té zkoušební metody, která co nejvěrněji vystihuje kvalitu keramických materiálů, trpí co nejmenším rozptylem hodnot pevnosti, je provozně spolehlivá, jednoduchá a rychlá.

Rozsah grafických laboratorních prací: těžiště v laboratorní práci

Rozsah průvodní zprávy: 50 - 60 stran včetně tabulek a diagramů

Seznam odborné literatury:

Doškár: Přesné lití do keramických forem.

Brabenec: Příručka pro sléváče.

Petržala: Slévařenské formovací látky.

Ozerov: Litjo po vyplavljajem modeljan.

Skleník - Ozerov: " (Mašgiz 1961)

Shepherd: J. a j.: Ethylsilicate and Colloidal Silica as bonding Agents for Ceramic Shell a Molds - Foundry Trade Journal 2.11.1961, str. 549/560 - preklad UTEIN 155.776

Vedoucí diplomní práce: Prof. Ing. Bohumil Odstrčil

Konsultanti: Ing. Jaroslav Exner

Datum zahájení diplomní práce: 10. června 1963

Datum odevzdání diplomní práce: 20. července 1963



Vedoucí katedry

Prof. Ing. Bohumil Odstrčil

Doc. Ing. Jiří Mayer

Děkan

V

Liberci

dne

7. května

1963

| | | |
|--------------|--|-------------------|
| VŠST LIBEREC | Určení vhodné metody mechanických zkoušek skořepin | DP 137 STR. |
| | | 20. ČERVENCE 1963 |
| | | Vojtěch Rachota |

DIPLOMOVÁ PRÁCE.

| | | |
|---------------------------|--|---------------------------------|
| VŠST LIBEREC | Určení vhodné metody mechanických zkoušek skořepin | DP <u>137</u> <u>63</u> STR. |
| | | 20. ČERVENCE 1963 |
| | | Vojtěch Rachota |
| | 2.3.1. Měřící zař. pro zkoušku zař. | 42 |
| | 2.3.2. postup při ohřevu vzorků | 43 |
| | 2.3.3. Pevnostní zkoušky ohybu | 44 |
| | 2.3.3.1. Stan.max,ohybového napětí . . . | 44 |
| | 2.3.3.2. Proměř. a korekce destiček . . | 46 |
| | 2.4. Měření průhybu | 99 |
| Závěr | | 110 |
| Seznam použité literatury | | 112 |
| Seznam příloh | | 113 |

Ú v o d.

Rozvoj strojírenské výroby v socialistickém průmyslu je zajišťován růstem produktivity práce. Vyšší produktivity práce lze dosáhnout novou progresivní technikou. Při tom je důležitá co největší úspora materiálu.

Úsporu materiálu lze odsáhnouti snižováním váhy výrobků, a lepším využitím vlastností materiálu.

Materiál lze uspořít metodou přesného lití, protože ta umožňuje malé přídevky materiálu na obrábění. Další výhodou přesného lití je, že se dají zhотовit takové výrobky, které se dříve nedaly v slévárně běžným způsobem odlévat.

Abychom metodou přesného lití mohli vyrábět kvalitní odlitky, je nutné znát vlastnosti keramických forem. Tyto vlastnosti se posuzují z různých hledisek. Jedním z nich je posuzování pevnosti keramických forem, zejména za vysokých teplot, s jakými se pracuje v provoze.

Úkolem této diplomní práce je porovnání různých typů keramických destiček při mechanické zkoušce ohybem, vyhodnotit takovou zkušební destičku, která by dobře vystihovala pevnost keramických skořepin a nebyla provozně nákladná.

| | | |
|--------------|--|---|
| VŠST LIBEREC | Určení vhodné metody mechanických zkoušek skořepin | DP 137 STR. 4 65 20. ČERVENCE 1963 Vojtěch Rachota |
|--------------|--|---|

Zkoušky jsou též prováděny za účelem získání informací o pevnosti keramických skořepin, u nichž bylo použito jiné výrobní technologie.

K vypracování tohoto úkolu bylo nutno vyrobit navržené typy destiček, které byly zhotoveny v ZŘR Uherském Brodě a zkoušky na KMT v Liberci.

Považuji za povinnost upřímně poděkovat za cenné rady vedoucímu diplomní práce profesoru inž. Bohumilu Odstrčilovi, laureátu stát. ceny, soudruhu inž. J. Exnerovi, odbornému asistentu KMT, soudruhu inž. J. Širlovi, vedení podniku ZŘR Uherský Brod a všem pracovníkům za umožnění předdiplomní praxe. Zvláště bych chtěl poděkovat za nevšední ochotu a zpřístupnění řady výrobních podkladů soudruhu inž. J. Straňákoví. Děkuji též soudruhu St. Jenšímu, pracovníku KMT, který zhotovil potřebné zařízení pro provedení zkoušek.

| | | |
|---|--|--|
| VŠST LIBEREC | Určení vhodné metody mechanických zkoušek skořepin | DP 137/63 STR. 5 20. ČERVENCE 1963 Vojtěch Rachota |
| <u>Kapitola 1.</u> | | |
| <u>Stručný technologický postup při výrobě přesných odliteků metodou vytavitevního modelu.</u> | | |
| <p>Pro určitý druh odliteků, omezených buď tvarem nebo vahou, užíváme metod t.zv. přesného lití, kterých je několik. Z metod přesného lití je metoda vytavitevních modelů nejuniwersálnější. Tento způsob přesného lití je též používán v n. p. ZŘR Uh. Brodě.</p> | | |
| <u>1.1. Princip metody.</u> | | |
| <p>Princip metody vytavitevního modelu spočívá v tom, že se model spolu se vtokem z materiálu, který se taví při nízké teplotě, nebo který shoří beze zbytku zalije kašovitou směsí z vysoce žáruvzdorné keramické hmoty a tekutého pojiva /bezobalový způsob/, nebo se opatří keramickým obalem, namočeným do této kaše. /Obalový způsob./</p> | | |
| <p>Ztuhnutím pojiva vznikne keramická forma, v níž je uzavřen vytavitevný nebo snadno spalitelný model. Ohřátím na příslušnou teplotu se model s vtokem vytaví nebo spálí beze zbytku, takže ve formě vznikne dutina, která je prostorovým negativem s vtokem.</p> | | |

| | | |
|--------------|--|---|
| VŠST LIBEREC | Určení vhodné metody mechanických zkoušek skořepin | DP 137 STR. 6 63 20. ČERVENCE 1963 Vojtěch Rachota |
|--------------|--|---|

Po vypálení se keramická forma vyplní roztaveným kovem. Odlitek vytlučený po schladnutí z keramické formy je tvarově shodný s modelem./1/

Metoda vytavitevního modelu je poměrně nákladný výrobní pochod.

Je tedy nutno před určením dílce k odlévání touto metodou pečlivě uvážit, je-li opravdu k tomuto účelu vhodný a není-li možno jej vyrobit hospodárněji jinými běžnými výrobními způsoby.

Metody je možno ekonomicky využít při větších seriích přesných a tvarově složitých součástí, které lze vyrobit i jinými výrobními způsoby jen s vysokými náklady.

Metodu lze též výhodně použít u součástí vyráběných z materiálu, jež jsou třískově vůbec neobrobiteLNé, nebo pro velkou houževnatost se dají obrábět velmi obtížně. Odlévání součástí velmi složitých, které nelze vyrobit jako celek žádným jiným technologickým postupem, umožňuje jedině tato metoda přesného lití.

Součástky lze odlévat z libovolných slévárenských slitin. Metoda též přináší úspory materiálu, zejména deficitních kovů při výrobě součástí z vysoko legovaných ocelí a slitin neželezných kovů./1/

1.2. Konstrukce a výroba forem.

Volba způsobu výroby formy závisí na tom, jaké výsledky chceme s formou dosáhnout a k jakému účelu formu zhotovujeme. Toto nám udává charakter výroby závodu. Zásadou při konstrukci forem pro hromadnou výrobu je typizace rozměrů. Formy jsou většinou kovové /ocel, litina, nízkotavitelné slitiny/. Pro omezený počet modelů se někdy dělají formy sádrové nebo ze Sorelova cementu a tvrdého kaučuku./6/

Výroba forem se dělí na několik způsobů:

- a/ mechanickým opracováním
- b/ odléváním
- c/ mechan. opracováním a odléváním
- d/galvanoplasticky

Slévárna ZŘR Uherský Brod vyrábí výhradně strojní díly a to od tvaru jednoduchého až po stav složitý. Formy používají jen kovové.

1.2.1. Požadavky na formy k výrobě vytavitevních modelů.

- a/ Rozměry a jakost povrchu dutiny musí zaručovat získání modelu předepsané přesnosti a jakosti povrchu.
- b/ má být zajištěn únik vzduchu při plnění formy modelovou směsí.

- c/ minimální počet rozebíratelných součástí. Přitom však musí zajišťovat snadné, spolehlivé a rychlé vyjmáni modelů.
- d/ Způsob plnění modelovou směsí a rozměry vstupních kanálků musí zaručovat výrobení kvalitního modelu.
- e/ Nutno zajistit technologičnost konstrukce formy, její trvanlivost a spolehlivost.

1.2.2. Výroba forem z nízkotavitelných slitin.

Pro formy, nebo jejich složené části se vyrábí mateřský model, který se zalévá nízkotavitelnou slitinou. Mateřský model bývá nejčastěji z oceli ČSN 11 600, protože tato se nejméně deformuje nízkotavitelnými slitinami. Vyrábí se podle výkresu k příslušné současti, který je doplněn přídavky na smrštění a na opracování, zakreslením dělících ploch a zaústěním vtokové soustavy atd. Celkové smrštění přesných odliatků z konstrukční oceli je 1,5 %.

V určitých případech, jedná-li se o zvláště složité součásti je nutno ověřit rozměry experimentálně. /1/

| | | |
|--------------|--|-------------------------|
| VŠST LIBEREC | Určení vhodné metody mechanických zkoušek skořepin | DP 137 STR. 9 |
| | | 63 20. ČERVENCE 1963 |
| | | Vojtěch Rachota |

Výroba forem v ZŘR:

Materinský model je rozdělen dělící rovinou na dvě poloviny a je uložen na základní desce, nebo je z této desky přímo vypracován. Dělící rovina je proti základní rovině zvýšena o 2 - 3 mm, deska je opatřena kolíky pro snadné srážení odlité formy z modelu. Před odlitím na desku položíme rámeček a obojí je předehříváno v píce na teplotu 380 - 900°C. Litým materiálem formy je zinkoslitina uvedená v ČSN pod označením Zn Mg 4 pro tlakové lití.

✓ ✓

Jednoduché formy používají u malých serií odliatků. Pro seriovou výrobu, kde počet vyráběných odliatků bývá větší jak 10 000 ks ročně je používáno forem etážových.

Etážové formy a jejich použití přispívá podstatnou měrou ke zvýšení produktivity práce. Nevýhodou těchto forem je, že jsou jejich výrobní náklady větší a formy jsou poměrně těžké.

1.3. Výroba vytavitevných modelů.

Základem produktivní výroby přesných odliatků je hromadná výroba vytavitevních modelů. Protože jakost odliatků zavírá předně na jakosti modelu, mají být výrobny modelů klimatizované, s mechanisovanou přepravou modelů, aby

| | | |
|--------------|--|---|
| VŠST LIBEREC | Určení vhodné metody mechanických zkoušek skořepin | DP 137 STR. 10 <i>63</i> 20. ČERVENCE 1963 Vojtěch Rachota |
|--------------|--|---|

se co nejvíce vyloučil přímý styk ruky s modelem. V ZŘR Uh. Brodě pro zajištění produktivní výroby uvádějí do provozu vstříkovací poloautomat AVO 70.

1.3.1. Modelové hmoty.

Na vytavitevné modely se užívá různých materiálů, na př. vosku, plastických hmot, zmrzlé rtuti, nízkotavitelných slitin, síry, směsi síry a grafitu a pod.

Z dosud známých hmot jsou nejhodnější voskové směsi, které reprodukují přesně nejmenší podrobnosti povrchu forem /1/.

Jedním z nejdůležitějších problémů výroby přesných odliatků metodou tavitelného modelu, je výběr voskové směsi. Výběr směsi má vliv na další technologii a značně ovlivňuje kvalitu i cenu budoucího odliatku.

Potřebné vlastnosti modelové směsi lze shrnout takto:

mají mít malou tepelnou roztažnost, dostatečnou pevnost, stabilitu, tvrdost, nesmí se lepit na stěny formy a zanechávat v nich zbytek po vytavení, nesmí korodovat formu atd.

Směs užívaná v ZŘR:

50 % parafinu

35 % stearin

15 % umělý vosk /ceregin/

1.3.2. Způsob výroby voskových modelů.

Voskové modely lze vyrábět různým způsobem podle druhu odlitku:

- a/ pouhým zalitím roztaveného vosku
- b/ vstřikováním vosku za nízkého tlaku
- c/ vstřikováním za vysokého tlaku

150 - 560 atp. /l/

V ZŘR používají k výrobě modelů vstřikového lité modelové směsi smísené se vzduchem.

Použití mazlavé modelové směsi má mnohé přednosti proti běžně natavené modelové směsi:

- a/ mazlavá směs vytvořená dokonalým propracováním modelové směsi se vzduchem má dobrou molekulární soudržnost, která omezuje prudký roztržik na dvě formy při odstříknutí.
- b/ odstříknutí se děje pod tlakem 1 - 1,5 atp. Tímto způsobem se dosahuje stlačení jemně rozptýleného vzduchu ve vosku a vyjmutí z formy. Tento vzduch uzavřený ve hmotě modelu způsobuje

snížení smrštění modelu. Obsah vzduchu bývá 7 - 10 %. Vyšší obsah způsobuje trhání modelu a hrubý povrch.

c/mazlavá směs má teplotu vstřikování jen o málo vyšší než je teplota tuhnutí. Tím je urychleno tuhnutí, i když má mazlavá směs poněkud horší tepelnou vodivost jak vosková tavenina. Teplota mazlavé směsi je 50 - 53°C. Výhodou mazlavé směsi je, že při vytavování modelu ze skořepiny je menší nebezpečí potrhání skořepiny, neboť pnutí vzniklá při ohřátí této směsi během tavení nejsou tak vysoká. Nevýhodou modelu z mazlavé směsi je její nižší pevnost oproti modelům vyrobeným odstříknutím z taveniny./8/

Jako dělící prostředek je používána směs petroleje a transformátorového oleje. Provádí se kontrola jen několika druhů modelů. U těchto druhů se kontrolují rozměry důležité pro opravování odlitků.

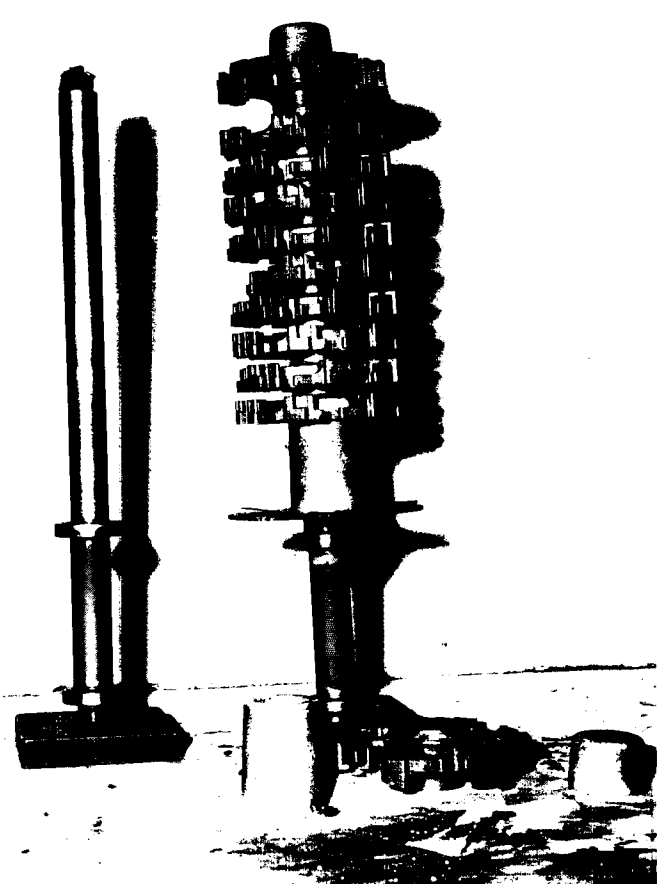
1.3.3. Sestavování modelů do stromečků.

Po zhotovení voskových modelů následuje jejich úprava. Úprava stromečků se provádí tkaninou, ostrým předmětem nebo teplým želízkem /otřepy/. V případě hrubého poškození modelu se tento model z etáže vylamuje.

Následující operace je montáž etáží do stromečku.

Způsob montáže rozhoduje o produktivitě práce.

V ZŘR se provádí montáž stromečků na mechanické trny. Tento způsob je umožněn odstřikováním několika modelů a částí vtokového kůlu na jednou. Části stromečku jsou vyobrazeny na obr. č. 1./mechanický trn, vtoková jamka, etáže a čepička/.



obr.č.1.

1. 4. Výroba keram. forem.

Keramické formy pro přesné lití metodou vytavitevního modelu lze podle způsobu výroby rozdělit takto: /1/

- a/ pevná keramická forma bezobalovým způs.
- b/ pevná keramická forma obalovým způsobem.
- c/ pevná keramická forma obalovým způsobem sypkou výplňovou směsí.
- d/ zaspaná skořepina
- e/ samostatná skořepina

Jednotlivých typů se užívá podle požadované přesnosti na př. podle rozměrů součástek.

V ZŘR se odlévá do zaspané skořepiny.

1.4.2. Princip výroby zaspané skořepiny v ZŘR.

- a/ Voskové stromečky se čtyřnásobně obalí /střídavě namáčí do obalové směsi, zasypou pískem a jednotlivé obaly usuší./
- b/ voskové stromečky se vytaví ve vroucí vodě.
- c/ vysušené skořepiny se vloží do rámu se dnem a zasypou se hrubším křemenným pískem.
- d/ rámy se skořepinami se vkládají do pece, kde se při teplotě 900 - 950°C vypalují 3 - 5 hodin. Odlévá se do žhavých forem.

| | | |
|--------------|--|---|
| VŠST LIBEREC | Určení vhodné metody mechanických zkoušek skořepin | DP 134/63 STR. 15 20. ČERVENCE 1963 Vojtěch Rachota |
|--------------|--|---|

1.4.3. Formovací hmoty pro metodu vytavít. modelu

Formovací hmoty pro přesné lití oceli a slitin vysokého tavení jsou kašovité konsistence. Jsou složeny z vazné kapaliny v míž jsou rozmíchány žáruvzdorné látky vhodné zrnitosti.

Vazné kapaliny jsou vhodné, vodně alkoholické, nebo jen alkoholické koloidní roztoky kysličníku křemičitého - SiO₂. Ztuhnutím formovacích hmot je vyvoláno stavovou změnou těchto koloidních roztoků.

Koloidní roztok /sol/ SiO₂ se připravuje hydrolyzou esteru kyseliny křemičité, etoxypoly siloxanu, případně směsi těchto sloučenin /tyto látky jsou obchodně označeny etylsilikáty/. Hydrolyza se provádí obvykle v alkoholickém prostředí, takže se získávají alkoholické koloidní roztoky.

Dnes je používá pro přesné lití ve většině průmyslových státech t.zv. "etyl silikátu 40". Příprava této látky se provádí hydrolistickou kondensací mono a dichloretoxylanu.

1.4.3.1. Hydrolyza etyl silikátu 40.

Podstatou hydrolyzy je především převedení etylsilikátu na kyselinu křemičitou, která je však nestálá a přechází v koloidní stav. Provádí

se přímo v alkoholu za přítomnosti hydrolyzačních katalyzátorů kyselých nebo zásaditých.

Hydrolyza musí být provedena za vhodných podmínek /1/:

- a/ vhodný stupeň hydrolyzy je dán množstvím použité vody na množství přítomného etylsilikátu. Používá se takové množství vody, aby byl téměř všechn přítomný etylsilikát převeden na SiO₂.
- b/ teplota při hydrolyze se má pohybovat kolem 40°C a nemá překročit 45°C.
- c/ vhodný druh a množství použitého katalyzátoru. Hydrolyza se katalyzuje jen potřebným množstvím HCl.
- d/ vhodná koncentrace SiO₂ v hydrolyzátu. Užívaná koncentrace je 10 - 20 % SiO₂. Dosažené výsledky při hydrolyze s 10 % nebo s 20 % SiO₂ jsou stejné, aby však hydrolyza byla dokonalá je nutno se zpracováním hydrolyzátu s 10 % SiO₂ počkat nejméně 24 hodin, zatím co 20 % hydrolyzát je možno zpracovat ihned. Hydrolyza při vyšší koncentraci SiO₂ probíhá snadněji. Proto je vhodné připravovat základní hydrolyzát alkosolu s 20 % SiO₂ a pak jej zpracovat na alkosoli s nižší koncentrací SiO₂ ředěním./1/

1.4.3.2. Příprava vazné kapaliny v ZŘR.

Závod používá smíšený způsob hydrolyzy.

Tento způsob hydrolyzy spočívá v tom, že proces hydrolyzy je spojen s přípravou obalové směsi.

Proto potřebné ředění obalové směsi vyrobené směsnou hydrolyzou se vyrábí též vazná kapalina základem způsobem hydrolyzy. Tento způsob se používal před zavedením směsné hydrolyzy.

Technologický postup směsné hydrolyzy:

Do míchačky se naleje vypočítané množství etylalkoholu -- 18 l a přidá se zředělná kyselina solná /HCL 1 : 12/ -- 1,5 l. Za míchání se přidává potřebné množství "etylksilikátu 40" - 7,5 l. Po krátkém míchání 3 - 5 minut se vsype křemen - 63 kg. Po vysypání mletého křemene se míchá 1 hodiny. Poté se nechá obalová směs 2 hodiny v klidu a může se začít obalovat.

Příprava vazné kapaliny vazným způsobem.

Do nádoby hydrolyzeru se nalije 1 000 ccm etylksilikátu a za stálého míchání přidáváme malým proudem 2 000 ccm etylalkoholu. Do této směsi za neustálého míchání se přidá 220 ccm kyseliny solné /HCL 1:12/ a míchá se 20 minut. Teplota při hydrolyze nesmí přestoupit 50°C. Takto připravená vazná kapalina se nechá 16 - 24 hod. zrát než se použije.

Hydrolyzovaný etylsilikát obsahuje 13-18 % SiO₂.

1. 4.3.3. Kontrola surovin
pro přípravu vazné
kapaliny.

Zvláštní pozornost je nutno věnovat kontrole etylsilikátu, který je výchozí surovinou pro přípravu vazných kapalin.

Kontroluje se:

specifická váha, % SiO₂, % HCL, destilační křivka a provádí se zkouška v hodnosti v přípravě vazné kapaliny /viz l - str.

325/

Hodnoty se mají pohybovat v těchto mezích:

/1/

spec.váha.....1,65- 1,07

SiO₂.....40- 45 %

HCL.....max. 0,2 %

počátek destilace78° C

frakce do 80° C.....5 %

" do 110° C8 %

" do 160° C17 %

" do 220° C40 %

tuhý zbytekmax. 30 %

tuhý zbytek rozpustný v benzénu min. 15 %

| | | |
|--------------|--|-----------------------------|
| VŠST LIBEREC | Určení vhodné metody mechanických zkoušek skořepin | DP <u>137</u> 63 STR. 19 |
| | | 20. ČERVENCE 1963 |
| | | Vojtěch Rachota |

V ZŘR se z výše uvedených kontrolních zkoušek surovin pro přípravu vszné kapaliny provádí kontrola obsahu SiO₂. /40 - 45°/

1.4.3.4. Příprava obalové směsi v ZŘR:

Předem připravený hydrolyzovaný etylsilikát od předcházející směny se řádně promíchá a upraví se potřebná hustota etylsilikátové směsi /za stálého míchání se v malých dávkách sype vysušný křemičitý písek/. V případě potřeby s ředěním se používá vazná kapalina připravená základem způsobem.

Hustota etylsilikátové směsi pro první obal 61 - 62° podle hustotoměru, na ostatní obaly 63 - 64° hustoty. Měří-li se hustota Fordovým pohárkem Ø 6 mm je výtoková doba směsi 15 sec. Ostatní obaly 20 sec.

V současné době se v závodě zavádí zařízení na míchání obalové směsi po celou dobu pracovních směn. Toto stálé míchání by mělo mít vliv na zvětšení pevnosti skořepin, protože v literatuře /5/ se poukazuje na důležitost intenzity a doby míchání. /Míchání při 2 800 - 3 000 otáček za minutu po dobu 30 - 40 minut se zvýší pevnost 1,5 - 2x oproti ručnímu míchání.

Sítová analýza mletého křemičitého písku se neprovádí.

1.4.4. Vytváření keramických obalů v ZŘR.

1.4.4.1. Obalování a zasypávání.

Zcela suchý voskový stromeček se ponoří volným pohybem do obalové kaše. Ponoření musí probíhat tak, aby se u tvarově složitých modelů nevytvorily bubliny vzduchu a tak byl znemožněn styk modelu s obalovou směsí. Stromeček se nechá ponořený 2 - 3 minuty, pak se vytáhne a pro získaná rovnoměrné síly povlaku se otáčí několik vteřin jak v horizontálním tak i vertikálním směru. Toto se provádí podle potřeby až 3 x a po dokapání vložíme stromeček do pracovního prostoru zařízení k posypávání. Posypávání se provádí suchým křemičitým pískem T2S. Sítová analýza křemenného písku k zasypávání se neprovádí. Po řádném usušení prvního obalu se tento postup opakuje podle počtu obalu.

1.4.4.2. Sušení obalu /5/:

Při sušení obalu nastávají 3 vzájemně spojené procesy :

- a/ vypařování rozpouštědla
- b/ koagulace / sol → gel/
- c/ hydrolyza na neúplně hydrolyzované části etylsilikátu.

Tyto procesy probíhají při daných podmínkách určitou rychlostí, každý z nich ovlivňuje druhé

/urychlují nebo zpomalují/.

Doba sušení závisí na tvaru a velikosti obalu, charakteru vazné kapaliny, na místních poměrech /teplota, vlhkost, obsah par rozpouštědla/, sušícím zařízení, způsobu sušení, počtu obalu a bývá pro první obal 2 - 4 hodiny, pro další obaly je 8 - 24 hodin.

1.4.5. Vytavování.

Voskové stromečky lze vytavit několika způsoby:

- . sálavým teplem, teplým vzduchem, parami trichloetylenu, vroucí vodou.

V ZŘR se používá k vytavování vodní lázně $85 - 95^{\circ}\text{C}$.

Toto umožňuje poměrně nízký bod tavení modelové směsi.

Po vysypání a usušení obalu se provede demontáž mechanického trnu. Po demontážk se upevní stromeček do přípravku na vytavování a ponoří se do vyvařovací vany. Doba vytavování je 15 minut. Vytavený vosk vytéká do sběrné nádoby. Po ztuhnutí vosku se slije zbytek vody, která se neoddělila a vosk se vrací k opětnému použití. Do takto roztaveného vošku se přidá parafin a je opět použit pro výrobu modelu.

1.4.6. Zasypávání skořepin.

Po vytavení vosku se skořepina minimálně 12 hodin na volném vzduchu suší. Po té se vloží do formy a zasype se suchou výplňovou směsí.
/Křemičitý odpadový písek./

Zásypový písek je v zásobníku odkud se potrubím dopravuje dle forem se skořepinami. Aby nepadal do skořepin písek, musí být vtok zakryt.
/papír/. /5/

1.4.7. Vypalování keramických skořepin.

Žíháním forem se sledují v zásadě dva hlavní cíle:

- a/ odstranění plynogenných látek v obalu, jejich vyhoření nebo odpaření /zbytky vosku a vlhkosti/.
- b/ zahřátí formy k jejímu lepšímu zaplnění tekutým kovem.

V ZŘR se provádí žíhání forem vo vozíkové žíhací peci při teplotě 900 - 950°C po dobu 3- 5 hodin. Zasypané poloskořepiny suchou výplňovou směsí se zakládají do žíhací pece při teplotě 600- 700 °C.

1.4.8. Odlevání:

Před odlitím skořepiny vyjde vozík se skořepinou ze žíhací pece. Forma se skořepinou se přetáhne na plošinu vozíku, kterou lze zpouštět

VŠST LIBEREC

Určení vhodné metody
mechanických zkoušek
skořepin

DP 137 STR. 22 a

63

20. ČERVENCE 1963

Vojtěch Rachota

a zvedat. S vozíkem se zajede ke sklopené el. peci a provede se odlití. Po dolití se převeze forma na válečkovou dráhu, kde probíhá ochlazení na volném vzduchu. Ochlazení trvá 4- 6 hodin. Na konci válečkové dráhy se provádí vyklepání odlitků. Po vyklepání stromečku a hrubém vyčistění následuje jejich oklepání. Po vyklepání stromečku se provádí odstranění ulpělé keramiky /mechanicky nebo chemicky/, odlitky se odřežou od centrálních vtoků.

Při tomto se provádí kontrola povrchových vad, rozměrových tolerancí a vnitřní čistoty. Odlitky, které prošly kontrolou jsou připraveny pro další zpracování.

| | | |
|--------------|--|---|
| VŠST LIBEREC | Určení vhodné metody mechanických zkoušek skořepin | DP 137/63 STR. 23 20. ČERVENCE 1963 Vojtěch Rachota |
|--------------|--|---|

Kapitola 2.

Mechanické zkoušky keramických skořepin.

V současné době se provádějí hlavně zkoušky pevnosti / v tahu, v tlaku a v ohybu/. Způsob provedení těchto zkoušek není normalizován a proto většina závodů užívá vlastních tvarů zkušebních skořepin na kterých zkouškx provádí.

Nejvhodnější z jednotlivých tvarů zkušebních skořepin podle závěru DP - ST 77/63 souduha Palounka je destička zkoušená ohybem.

Metoda mechanických zkoušek skořepinových destiček ohybem vyžaduje dalšího podrobnějšího propracování, aby ji bylo možno použít v praxi.

2.1. Z k u š e b n í d e s t i č k y p r o o h y b .

. Pro mechanické zkoušky ohybem bylo použito čtyř typů keramických destiček - viz.tabulka č.1.

Jednotlivé typy destiček byly vyrobeny obalováním modelů z různých materiálů /vosk, mosazný plech, PVC/, při použití různých dělících prostředků. /Vcelí vosk, rozpuštěný v trichloetylenu, silichrom./

T a b u l k a č. 1

| Typ destičky | Typ vz. | Materiál | Autor | Rozměry modelů | Podmínky vytěvování | Zkoušení | Počet vzor. |
|--------------------------------------|-------------------|--|----------|--|--|--|----------------------|
| Destička na pesu okraje broušeny | 0 1 1e 2 | vosk mosez•plech mosaz•plech+ PVC | | 115x(15;30)x 1 115x(15;30)x 1 115x(15;30)x 1 115x(15;30)x 3 | voda sej•bez vody sej•bez vody sej•bez vody | ze tepla ze tepla ze tepla ze studene | 20 20 20 10 |
| Destička na pesu okraje stírené | 3 4 5 | vosk plech M8 PVC | | 115x(15;30)x 1 115x(15;30)x 1 115x(15;30)x 1 | voda sej•bez vody sej•bez vody | ze tepla ze tepla ze studene | 20 20 10 |
| Destička na pasu okraje vyformované | 6 7 8 | plech ZPS Gott. vosk PVC – okraje přest. | VŠST | 100x30 dle formy VŠST 115x(15;30; 45) | sej•bez vody voda sej•bez vody | ze studene ze tepla ze tepla | 10 20 20 |
| Destička na pesu celý tvar vybroušen | 9 | plech | Shepherd | 150x(25;)x 1 | sej•bez vody | ze tepla | 20 |

+ u vzoru 1e použito jako izolační vrstvy silichronu

2.2. Výroba zkuseb. vzorků.

Při výrobě zkušebních vzorků byly dodržovány všechny zásady platné pro výrobu keramických forem, uvedené v kapitole 1.

2.2.1. Výroba modelů.

Na voskové modely byla užita směs ZŘR /str. 11/. Modely /voskové/ pro typ vzorku 0.7 - obr. 2,3 byly vyrobeny v ocelových formách/ viz výkresy v příloze/:

3 DP ST 137/63

4 DP ST 137/63

/fotografie obr.4,5/

Modely pro typy vzorků 1, la, 4, 6, 9 nastříhaný z mosazného plechu.

Rozměry jednotlivých modelů jsou uvedeny v tabulce č. 1.

K zavěšení mají modely vyvrstané otvory pro drátěnné háčky. Povrchová úprava plechů se neprováděla - leštění.

Modely pro typ vzorků 2, 5 nařezány z desek PVC. Na požadovaný rozměr se frézuje. Stěny po frézování se leští silichronem.

Forma uvedená na výkrese 5 DP - ST 137/63 je pro výrobu typu vzorku č. 8.

2.2.2. Obalování modelů.

Pro obalování modelů bylo použito původního i nového technologického postupu ZŘR /základní hydrolyza, směsná hydrolyza/.

K zhotovení zkušebních vzorků jsem použil přímo obalovou směs /směsná hydrolyza/ z výroby keramických forem závodu. Pro zhotovení vzorků vyráběných původním způsobem /základní hydrolyza/ jsem připravil obalovou směs dle závodu na straně 19.

Postup při obalování:

Před obalováním byly typy vzorků 1, 2, 4, 6, 9 ponořeny do dělícího prostředku/včelí vosk rozpuštěný v trichloetylenu/. Typ vzorku 1 a nařen tenkou vrstvou silichromu.

Typ vzorku 8 pro směsnou hydrolyzu bylo použito formy bez dělícího prostředku, pro základní hydrolyzu použito formy s dělícím prostředkem tektutým.

Modely voskové, mosazného plechu a PVC byly obalovány stejným způsobem, jako se provádí obalování stromečků v závodě.

Obalování forem typ vzorku 7, 8 jsem prováděl následujícím postupem: nalitá obalovací směsi do formy tak, aby byla zcela zaplněna - vylití a okapání přebytečné směsi - obrácení formy do vodorovné polohy pro vytvoření stejné -

měrné vrstvy obalovací směsi - zasypání křemen-ným pískem F2S.- setření okrajů forem. Tento postup se opakuje pro první tři vrstvy. Po vytvoření čtvrté vrstvy se okraje již nestírají. U destiček typ vzorku 3, 4, 5 byly po obalení vzorku okraje setřeny. Následkem porušení celistvosti skořepin při vysíhání druhé vrstvy nastalo odchlipování destiček od modelu podle obrázku 6, 7, 8.

Tento typ destiček z výrobních důvodů nelze proto použít pro zkoušky.

Jednotlivé vrstvy u všech vzorků byly provedeny najednou z jedné obalovací směsi a po obalení každého typu vzorku byla směs zamíchána.
/ u základní hydrolyzy/

Hustota užívané obalové směsi:

| | |
|---------------------|-----------------|
| a/ směsná hydrolyza | |
| 1 obal | 33,0 sec. |
| 2 obal | 65,5 sec. |
| 3 obal | 66,9 sec. |
| 4 obal | 69,1 sec. |

/výtoková tryska Ø 4 mm /

b/ základní hydrolyza:

| | |
|------------|---------------|
| 1 obal | 40 sec. |
| 2,3,4 obal | 70 sec. |

/výtoková tryska Ø 4 mm /

Rozdílnost hodnoty obalové směsi ad. a/
bylo způsobeno rozmezím stupňů hustoty v kterém
dělník může obalovací směs vytvořit. Pro ad. b/
jsem si změřil časy pro horní hranici hustoty.

Sítová analýza a dekantace mletého křemenného
písku.

| Světllost ok v mm | Zbylý podíl v % |
|----------------------|--------------------|
| nad 0,25 | 0,4 |
| 0,1 - 0,25 | 8,6 |
| 0,08 - 0,1 | 15,8 |
| 0,06 - 0,08 | 12,6 |
| pod 0,06 | 62,6 |

Zbytek pod 0,06 mm byl vzat za 100 % a byla provedena dekantace.

| Velikost částic v mm | podíl v % |
|-------------------------|--------------|
| 0,04 - 0,06 | 32,2 |
| 0,02 - 0,04 | 14,7 |
| 0,02 - 0,01 | 9,4 |
| 0,01 - 0,005 | 2,1 |
| menší než 0,05 | 3,4 |

Sítová analýza zrnění zásypového písku :

| Světlost ok v mm | podíl v % |
|---------------------|--------------|
| 1,5 | 0,1 |
| 1,2 | 0,2 |
| 1 | 0,2 |
| 0,8 | 2,5 |
| 0,63 | 9,9 |
| 0,4 | 31,3 |
| 0,2 | 43,5 |
| 0,063 | 11,5 |
| pod 0,063 | 0,2 |

Doba sušení jednotlivých obalů:

První obal - 6 hodin

2,3,4 " 10 hodin

Atmosferické podmínky v místnosti, kde probíhalo sušení:

rel. vlhkost vzduchu 65 - 75 %

teplota vzduchu 18 - 23°C

Místnost byla dokonale větraná.

2.2.3. Vytavování zkuseb.
vzorků.

Zkušební vzorky na zkušebních modelech byly nejdříve obroušeny na kratší straně modelu, kde byl vytvořen kolík pro držení modelu. Takto upravené nevytavené zkušební vzorky byly vyloženy

na drátěnné síto a sním ponořeny do vodní lázně teplé asi 95°C. Po uplynutí 15ti minut bylo síto se vzorky vytaženo a vzorky se nechaly sušit.

Úprava vzorků před vytavováním a vlastní vytavování bylo prováděno tak, aby se co nejvíce přiblížil k výrobním podmínkám závodu. Nevytavené vzorky spolu s vytavenými jsou vyobrazeny na obrázku č, 9, 10, 11.

2.2.4. Postup zpracování obal. modelů na destičky

Zpracování obalových modelů na destičky spočívá v odbroušení bočních hran modelu.
/kromě typu vz. 7, 8/

Pro broušení bylo vyzkoušeno několik způsobů:

a/ gumovkou - tento způsob je velmi rychlý, ale má určité nevýhody. Jedenou z hlavních nevýhod je, že se destička posouvá po desce a dochází k vylamování zrn. Vybrusený okraj je destička nerovný. Další nevýhodou je nebezpečí při práci. /při zpracování vzorků praskly tři gumovky/

b/ brusný kotouč - nechá se použít pro chvění brusného kotouče, které se

| | | |
|--------------|--|--|
| VŠST LIBEREC | Určení vhodné metody mechanických zkoušek skořepin | DP 137 STR. 31 63 20. ČERVENCE 1963 Vojtěch Rachota |
|--------------|--|--|

přenáší na keramické destičky,

c/ sklený papír - tento způsob je z uvedených způsobů broušení destiček nejvýhodnější. Destička není ovlivňována chvěním.

Nejdříve jsem prováděl broušení ručně - sklený papír byl položen na gumové podložce. Po vyzkoušení tohoto způsobu jsem si sestrojil brusku s nekonečným pásem skleněho papíru /obr. č. 12/, na kterém byly modely pro zkoušky broušeny.

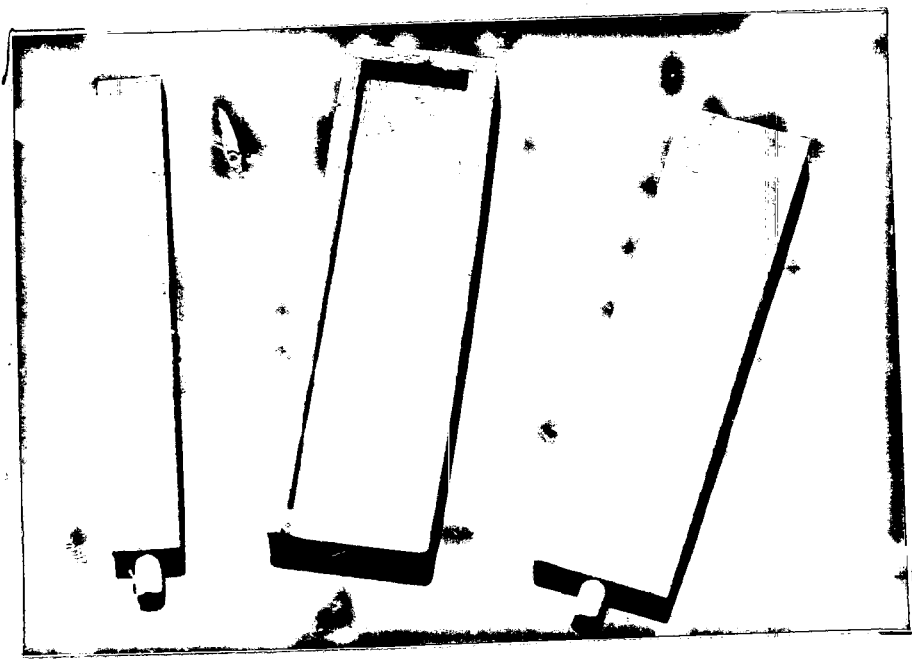
2.2.4.1. Zpracování jednotlivých typů vzorků.

Typ vzorku 0 - obr. č. 9, 10

rozříznutí skořepiny uprostřed listem pilky na železo a zbylé části bočních stěn v rohové hraně odloženy od destičky.

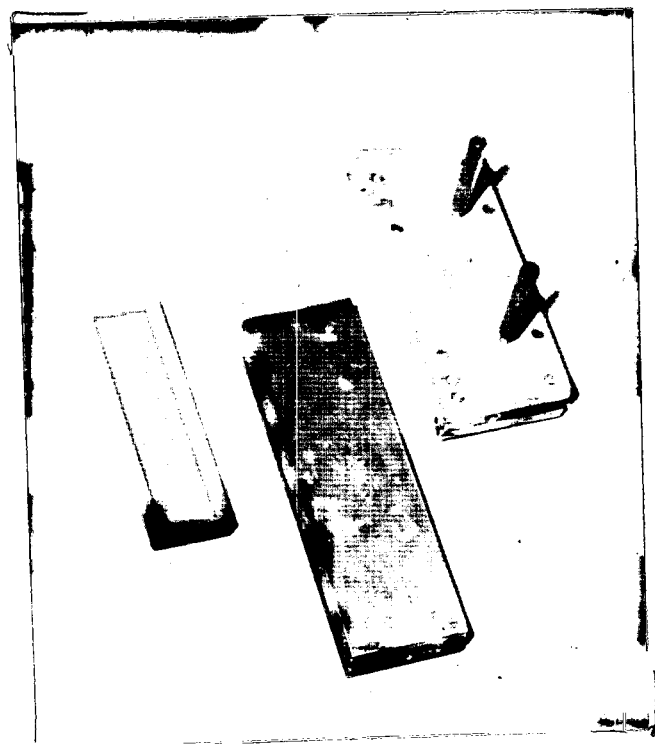
Typ vzorku 1, lavoobr. č. 13 - 15

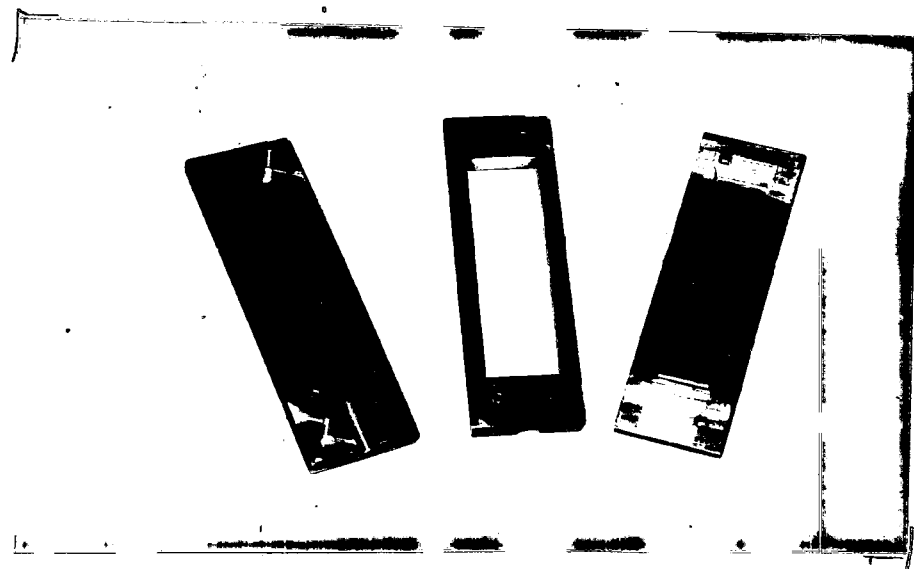
6, 9 obroušení kratších stran a jedné dlouhé boční stěny. Druhá stěna obroušena na první obal, destičky v rohové hraně odloženy. Lom probíhá přesně v hraně destičky a povrch boční stěny je poměrně hladký. Při broušení i druhé strany až na stěnu modelu docházelo k praskání destiček.



Obr. č. 2

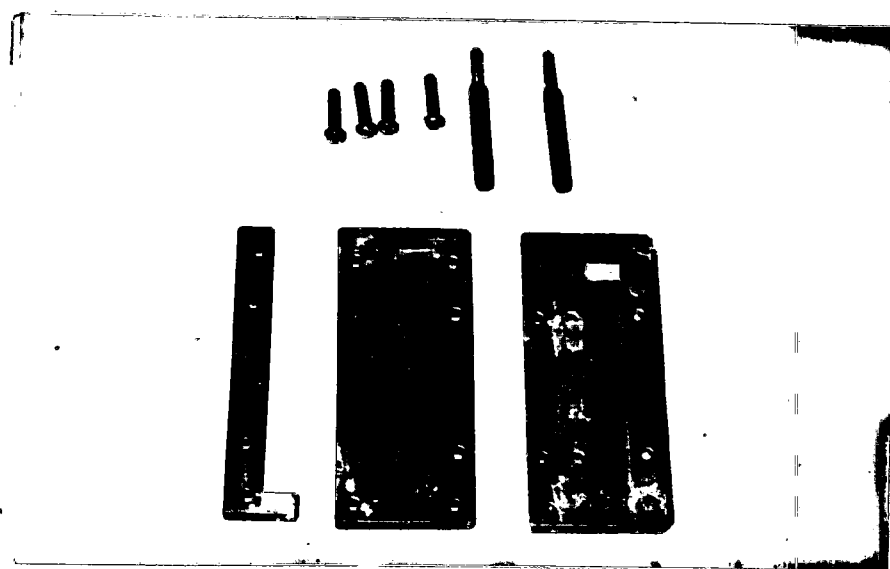
Obr. č. 3

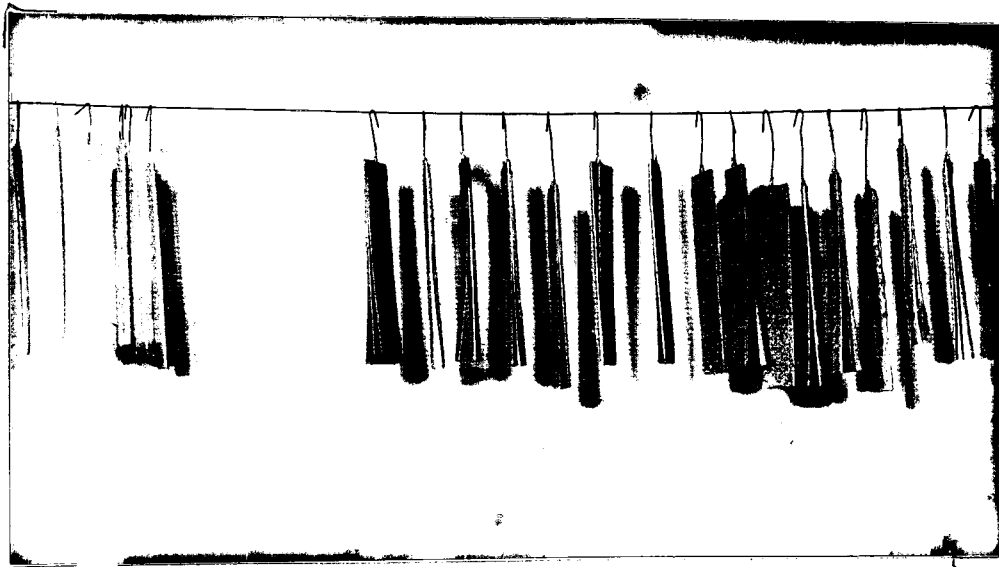




Obr. č. 4

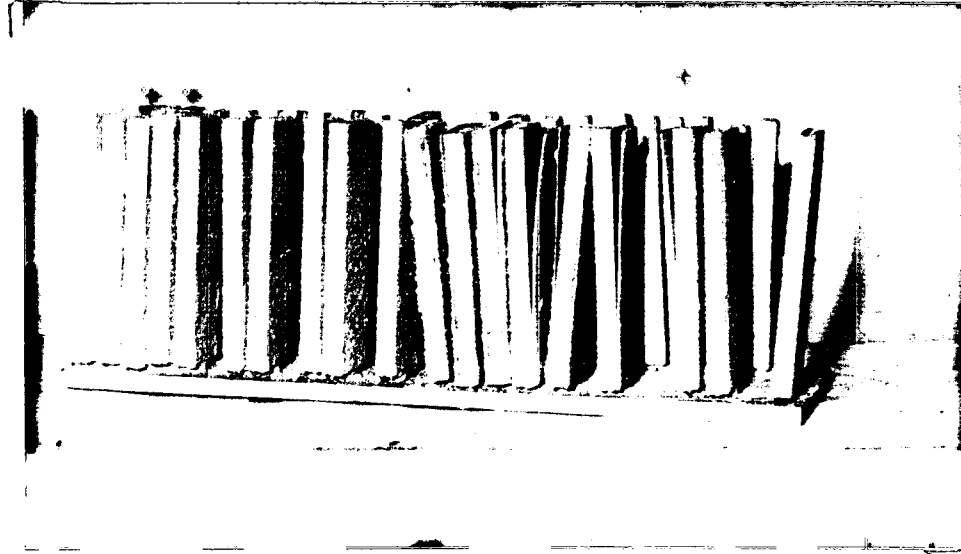
Obr.č. 5

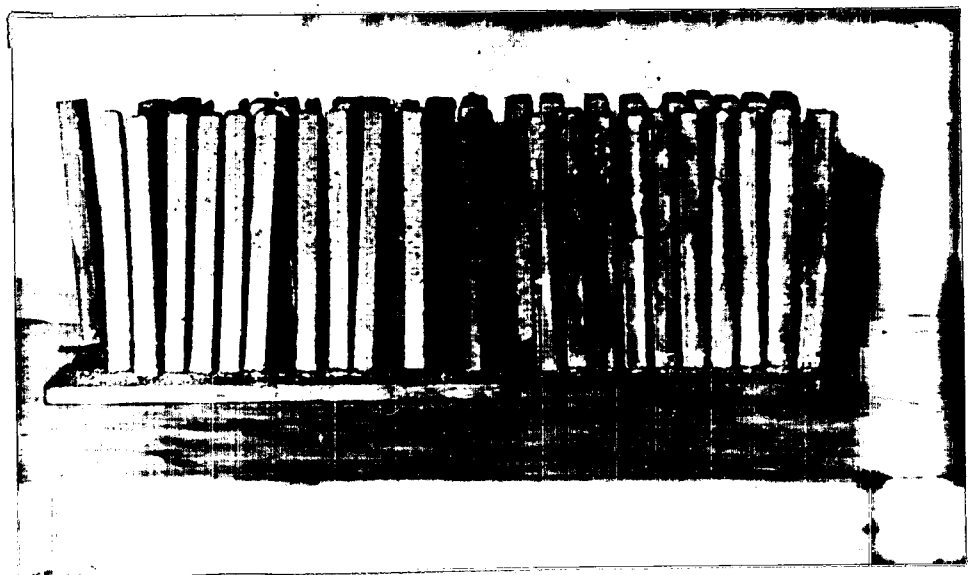




Obr. č. 6

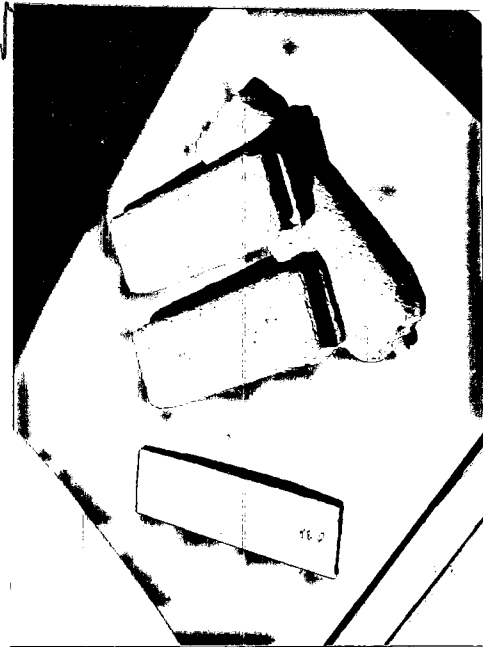
Obr. č. 7



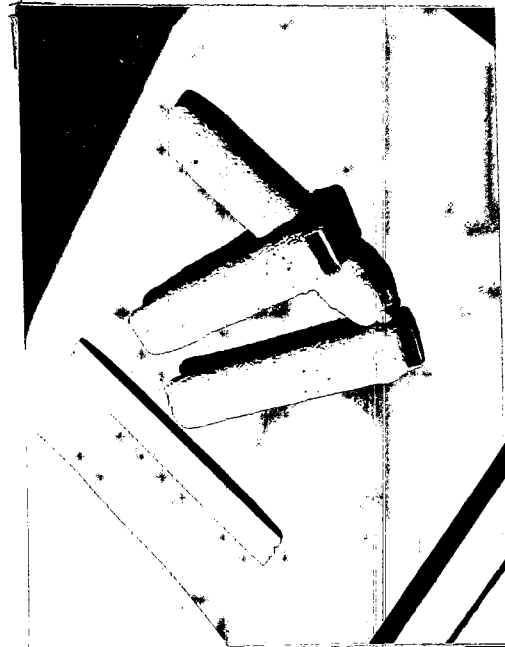


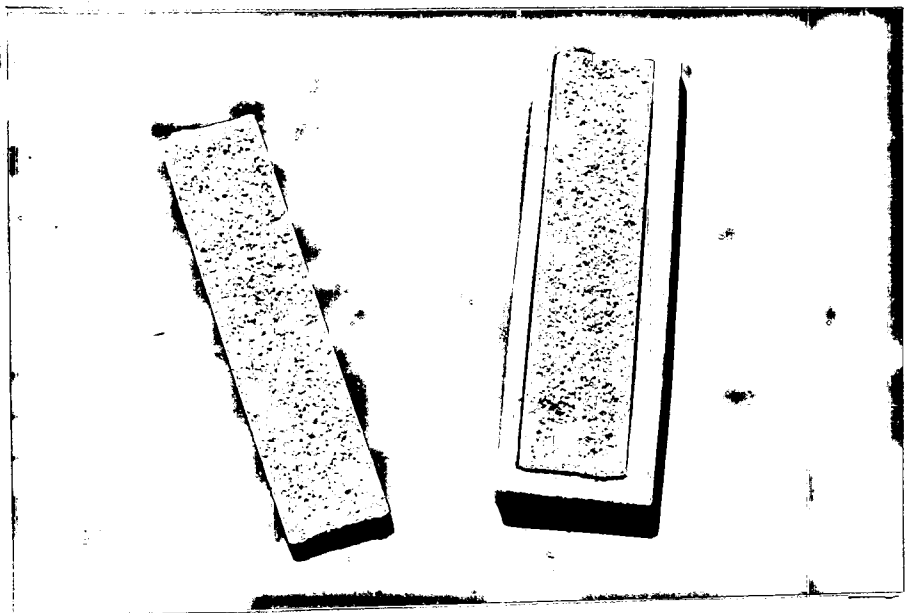
Obr. č. 8

Obr. č.9



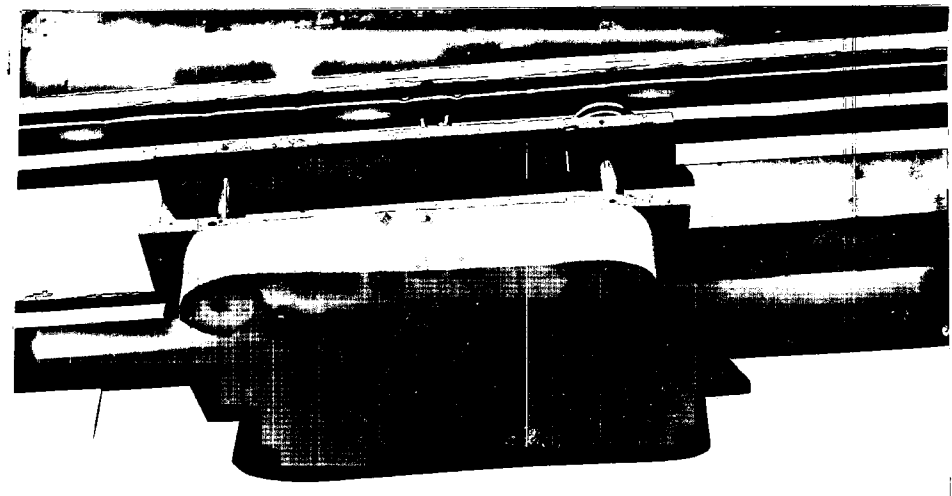
Obr. č.10

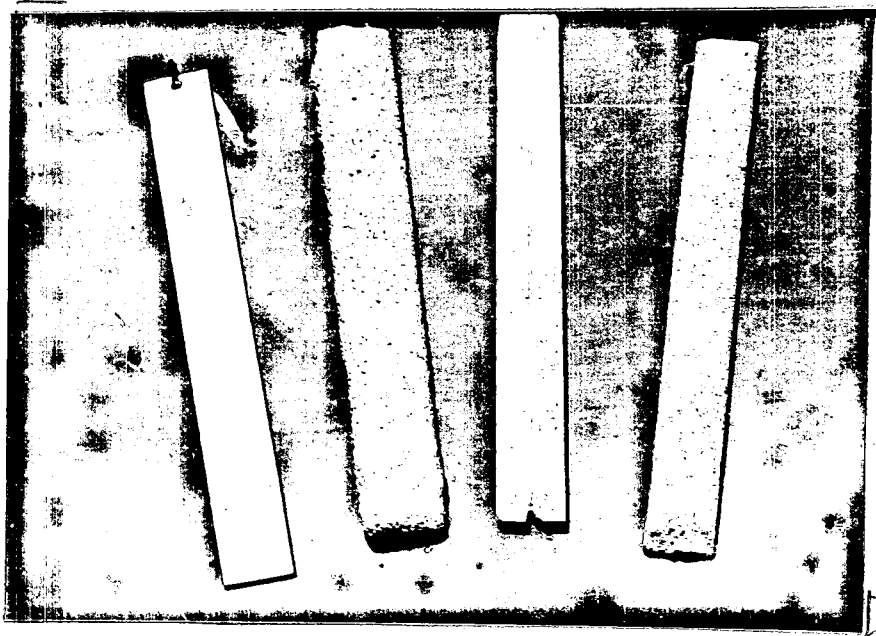




Obr. č. 11

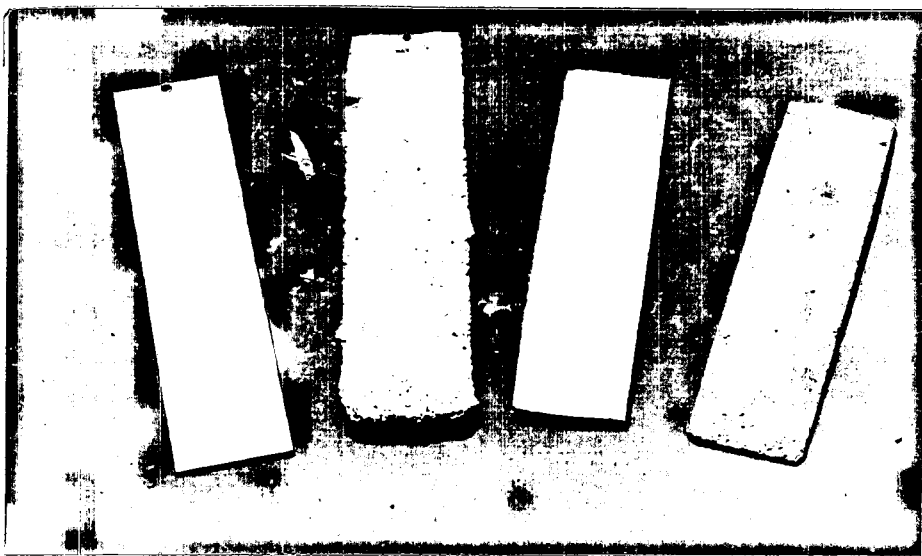
Obr. č.12





Obr. č. 13

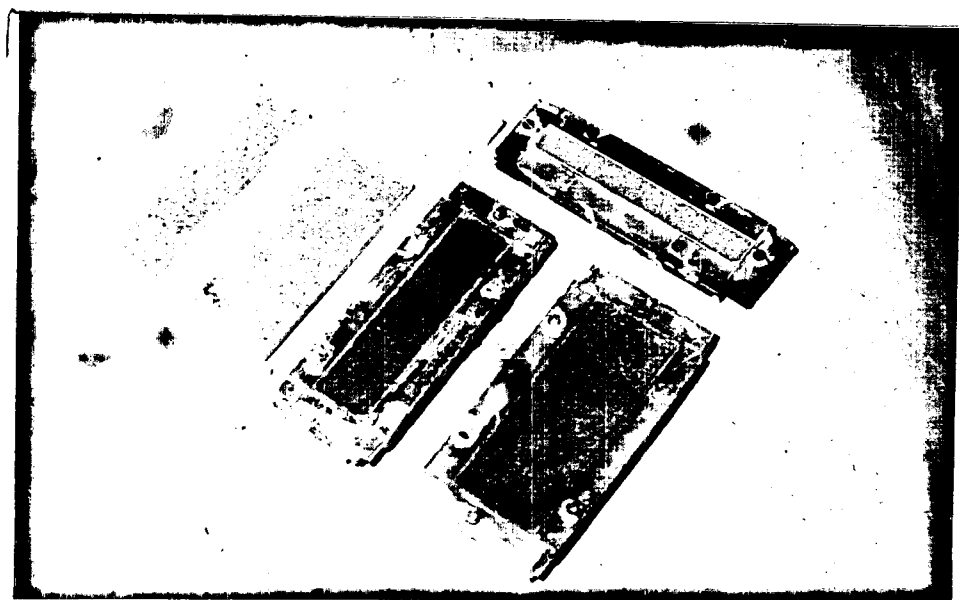
Obr. č. 14

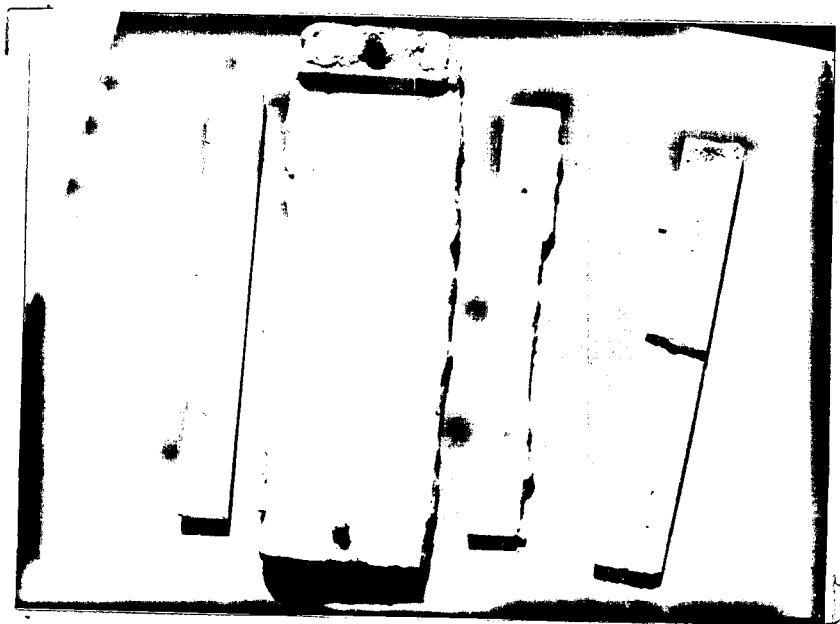




Obr. č. 15

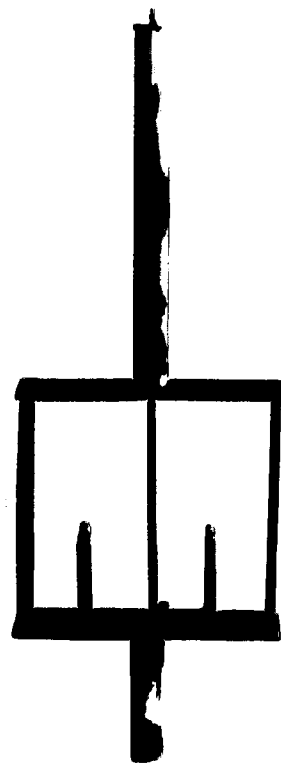
Obr.č. 16

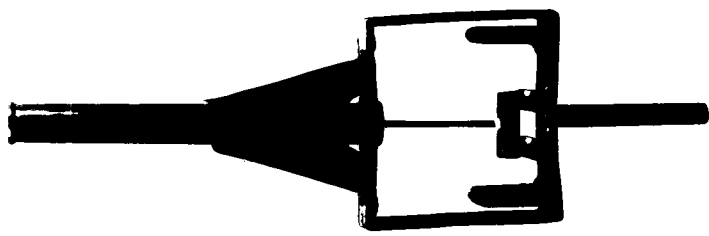




Obr. č. 17

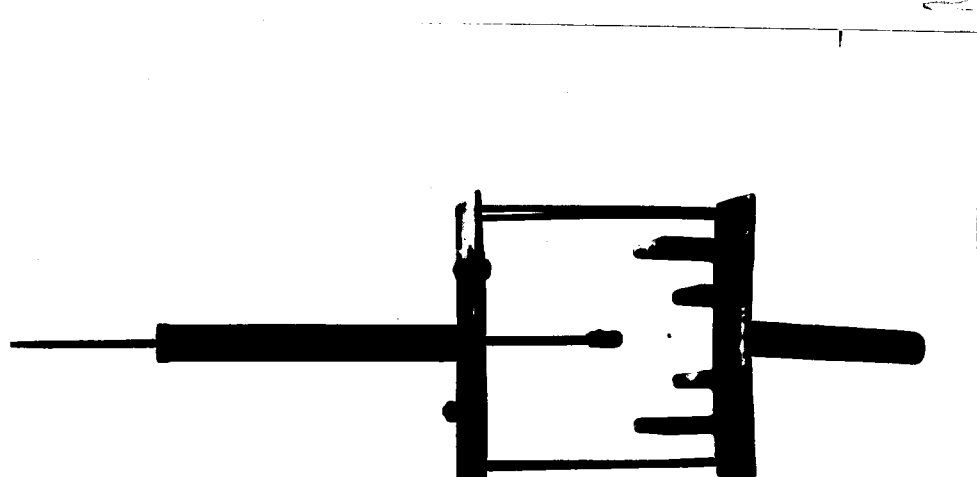
Obr.č.18

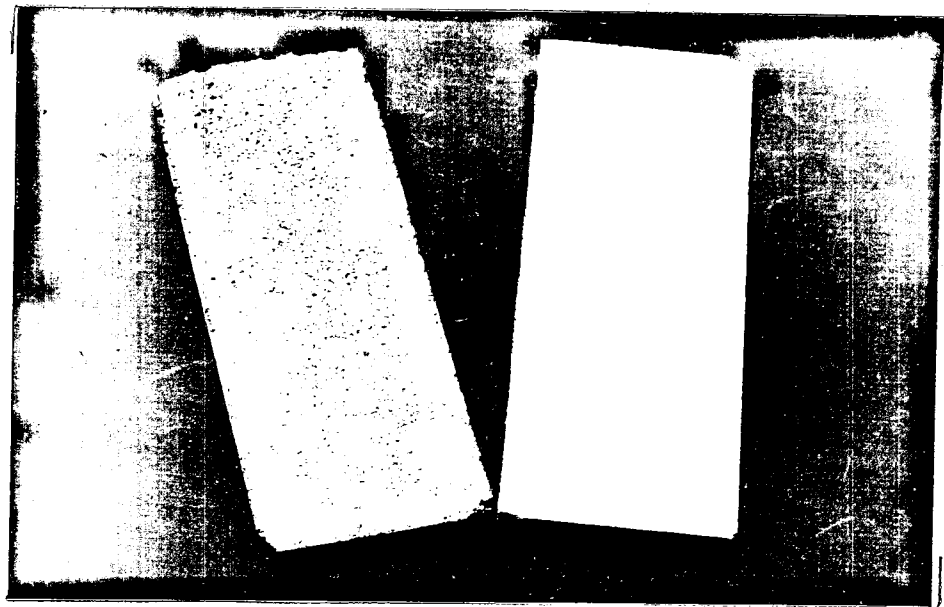




Obr. č. 19

Obr. č. 20





Obr. č. 21

| | | |
|-----------------|--|---|
| VŠST LIBEREC | Určení vhodné metody mechanických zkoušek skořepin | DP 137 STR. 42 63 20. ČERVENCE 1963 |
| Vojtěch Rachota | | |

Typ vzorku 8 - obr. 16, 17

uvolnění dvou šroubů bočních
lišť a vyjmoutí vzorku.

Typ vzorku 2 - obr. 21

zkušebně bylo provedeno obalování
bez dělícího prostředku. Sejmu-
tím destičky bylo zjištěno, že
obalovací směs má tak velkou přil-
navost k PVC, že se vytrhává z
prvního obalu. /viz. obr. č. 21/

Proto byla též použito dělícího
prostředku s včelím voskem.

Takto upravené modely, přesto
pro výrobu destiček nevyhovují,
protože keramické skořepiny ještě
tě před sejmutím z modelu z 80 %
popraskaly.

2.3.1. Měřící zařízení pro zkoušku ohybem.

Pro měření pevnosti keramických skořepin
ohybu byly použity přípravky znázorněné na obr.
18 - 20. Výkresy 1 DP ST 137/63, 2 DP ST 137!63.
Na tomto výkresu jsou pro měření podle Shepher-
da podpory vyznačeny čárkovaně. /kta 75 mm/.

Zakládání vzorku:

Zkoušený vzorek se položí na podpory
/poloměr 5 mm, vzdálenost 100 mm, dle Shephera/

| | | |
|---|--|----------------------|
| VŠST LIBEREC | Určení vhodné metody mechanických zkoušek skořepin | DP 137 STR. 43 63 |
| | | 20. ČERVENCE 1963 |
| | | Vojtěch Rachota |
| <p>vzdálenost 75 mm, dle inž. Doškaře poloměr 7 mm, vzdálenost 30 mm a zatíží se tlačnou tyčinkou.</p> <p>Destičky byly ukládány licní stranou na podpory pro lepší ustavení.</p> <p>Přípravek se vzorkem vložíme do peci MV2 postavené na výšku a pec dokonale utěsníme. Spustíme pec a nastavíme regulátor teploty na požadovanou těplotu. Když je teplota dosažena, necháme vzorek půl hodiny na této teplotě prohřát. Jakmile uplyne stanovený čas, nasadíme na horní konec tlačné tyčky násypku, do které přisypáváme tenkým proudem jemný písek tak dlouho, až se vzorek zlomí. Po zlomení sejmeme násypku s pískem a zvážíme ji. Připočteme-li k naměřené hodnotě váhu tlačných částí /tyčinka, násypka/, dostaneme sílu potřebnou k přelomení vzorku.</p> <p><u>2.3.2. Postup při ohřevu vz.:</u></p> <p>Při měření pevnosti do 500°C byly vzorky na příslušnou teplotu předehřívány v peci MV2 jednu hodinu. Předehřáté destičky byly rychle uloženy do přípravku a vkládány do peci vyhřáté na příslušnou teplotu, kde byly ještě půl hodiny prohřívány na této teplotě a pak zkoušeny.</p> <p>Při ohřevu na vyšší teplotu než 500°C byly všechny vzorky předehřívány na teplotu 500°C jednu hodinu a pak byl prohřátý vzorek vložen do peci vyhřáté na teplotu 550°C. Po vyrovnání teploty /10 minut/ se vyjelo s pecí na určenou</p> | | |

teplotu. Na této teplotě byl vzorek vyhříván ještě půl hodiny a pak zkoušen. Na vzorcích byla též zjištována pevnost vypálených skořepin. /Vypalování se provádělo na 930°C , viz tabulky, a lámání bylo provedeno při $20^{\circ}\text{C}.$ /

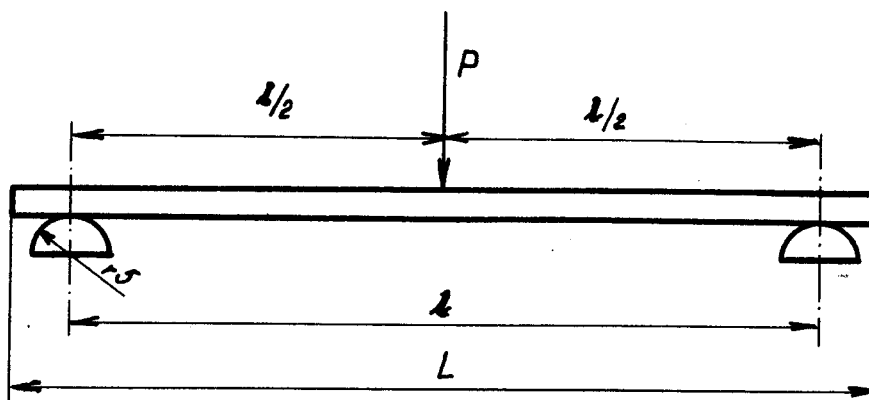
Všechny vzorky byly pro toto měření vypáleny při teplotě 930°C najednou a pak se nechaly vychladnout v peci na 20°C . Vypalování se provádělo 4 hodiny po dosažení teploty 930°C .

2.3.3. Pevnostní zkoušky ohybu:

Měření pevnosti v ohybu bylo prováděno na vzorcích se čtyřmi obaly, jelikož Z^{RR} skořepiny takto vyrábějí.

2.3.3.1. Stanovení maximálního ohybového napětí:

Při výpočtu pevnosti v ohybu byly počítány vzorky jako staticky určitý, prostě podepřený prizmatický nosník. /obr. 22/



obr. 22

$$\sigma_o^{\max.} = \frac{M_o^{\max.}}{W_o} / \text{kg/cm}^2 /$$

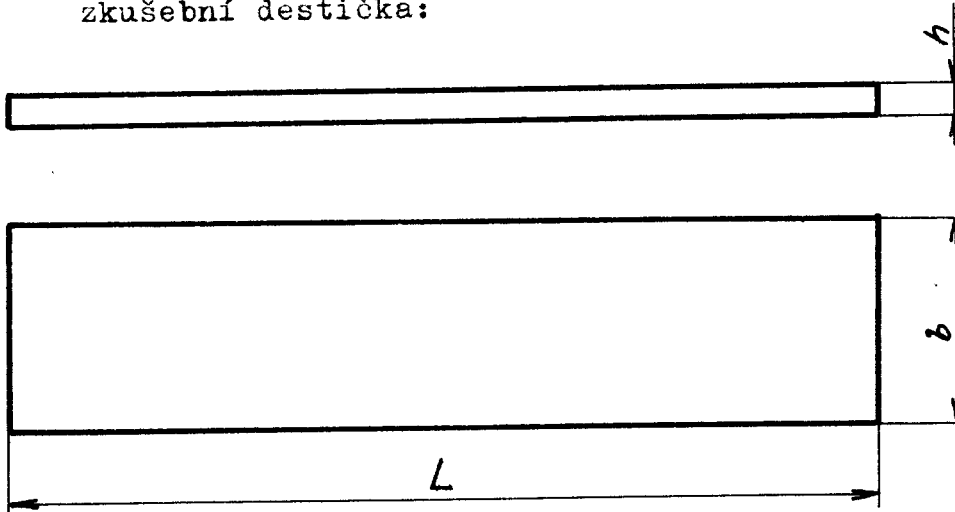
$$M_o^{\max.} = \frac{P \cdot l}{4} / \text{kg.cm} /$$

$$\sigma_o^{\max.} = \frac{P \cdot l}{4 W} / \text{kg/cm}^2 /$$

$$W_o = \frac{1}{6} b \cdot h^2 / \text{cm}^3 /$$

$$\sigma_o^{\max.} = \frac{2 \cdot P \cdot l}{3 \cdot b \cdot h^2} / \text{kg/cm}^2 /$$

zkušební destička:



obr. 23

h tloušťka destičky v mm.

b šířka destičky v mm.

L délka destičky v mm.

2.3.3.2. Proměřování a korekce destiček.

..... šířka destičky v mm, měřena
uprostřed destičky posuvným
měřítkem.

h tloušťka destičky v mm

Tento rozměr byl měřen posuvným měřítkem před
zlomením destičky ve třech místech:

h_1 ve středu destičky

h_2, h_3 ... stranou od středu

H průměrná tloušťka $h_1 \ h_2 \ h_3$.

Při měření tloušťky vzorku, kde se na povrchu destičky vyskytuje větší místní nerovnost, byla tato hodnota zahrnuta do měření, protože je předpoklad prasknutí vzorku ve slabším místě, viz vzorek 0.38, kde je průmerná tloušťka 3,6 mm - nerovnost 4,4 mm.

Vypočtené hodnoty napětí pro daný průřez z výše uvedených hodnot nejsou maximální, protože při měření tloušťky h je zahrnuta i výška zrn vyčnívajících nad povrch a průřez není obdélníkový. Aby byl tento vliv částečně odstraněn, byla provedena korekce průřezu destiček.

Byly vybrány charakteristické destičky pro daný profil vzorku a jejich skutečný průřez po zlomení byl nakreslen na Profilprojektoru při 10 x zvětšení. Obkreslené průřezy jsou uvedeny na stf. 49-53.

Typ vzorku 8 /šířka 15,30 mm/ - korekce 12,7 %

| č.vz. | F mm ² | F/ko mm ² | korekce v % |
|-------|----------------------|-------------------------|----------------|
| 8,3 | 88,16 | 17,7 | 18,7 |
| 8,13 | 89,0 | 79,4 | 11,8 |
| 8,14 | 92,1 | 84,8 | 8,3 |
| | | | |

Typ vzorku 8 /šířka 45 mm/ - korekce není provedena, jelikož činí 1,7 % $t^{\circ}\text{C}$

- teplota lámání /vyjímkou tvoří vzorky s teplotou 930°C , které byly lámány při teplotě 20°C .

F

- plocha naměřená posuvným měřítkem v mm²

F/ko

- plocha korigovaná v mm²

P

- síla potřebná k prolomení / v gr /

 $\sigma_o^{\max.}$

- max. zbylé napětí v kg/cm²

Tato označení jsou použita u všech tabulek.

a

- ohybové napětí $\sigma_o^{\max.}$ kg/cm²

b

- korigované ohyb. napětí $\sigma_{oh}^{\max.}$ /kg/cm²

Vypočtené korekce jsou pro jednotlivé typy vzorků uvedeny níže. Pro korekci byly použity destičky z první sady vzorků /směsná hydrolyza/

Typ vzorků 0, 1, 1a /šířka 15 mm/- korekce 15,5 %

| č.vz. | F mm ² | F/ko mm ² | korekce v % |
|-------|----------------------|-------------------------|----------------|
| 0,8 | 47 | 39,09 | 16,9 |
| 0,11 | 51 | 43,04 | 14 |

Typ vzorků 0, 1, 1a, 2, 6, /šířka 30 mm/
korekce 17,5 %

| č.vz. | F mm ² | F/ko mm ² | korekce v % |
|-------|----------------------|-------------------------|----------------|
| 1,23 | 106,5 | 87,45 | 18,8 |
| 0,27 | 124,6 | 112,3 | 22 |
| 2,23 | 126 | 112,7 | 10,7 |
| 6,16 | 137,5 | 110,19 | 19,8 |

Typ vzorku 9 /šířka 25 mm/ - korekce 18,6 %

| č.vz. | F mm ² | F/ko mm ² | korekce v % |
|-------|----------------------|-------------------------|----------------|
| 9,2 | 97,7 | 78,5 | 18,5 |
| 9,3 | 115,8 | 89,45 | 22 |
| 9,7 | 113,5 | 10,65 | 19,5 |
| 9,15 | 108,5 | 92,1 | 14,5 |

Typ vzorku 7 /šířka 25 mm/ - korekce 15 %

| č.vz. | F mm ² | F/ko mm ² | korekce v % |
|-------|----------------------|-------------------------|----------------|
| 7,7 | 134,6 | 119,5 | 14,8 |
| 7,10 | 140,9 | 117,1 | 15,5 |
| 7,12 | 141,5 | 100,23 | 13,8 |

| | | |
|-------------|---|--|
| VŠST LIBERC | Určení vhodné metody mechanických zkoušek skořepin. | DP 137/82 STR. 49 20.ČERVENCE 1963 Vojtěch Rachota |
|-------------|---|--|

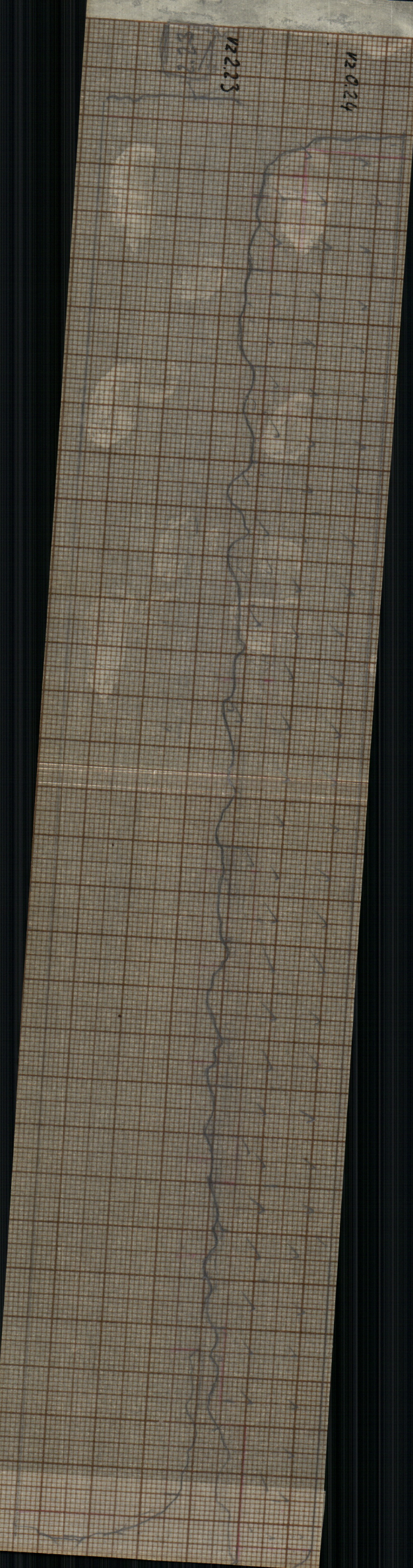
0.11

81

120.23

120.24

122.23



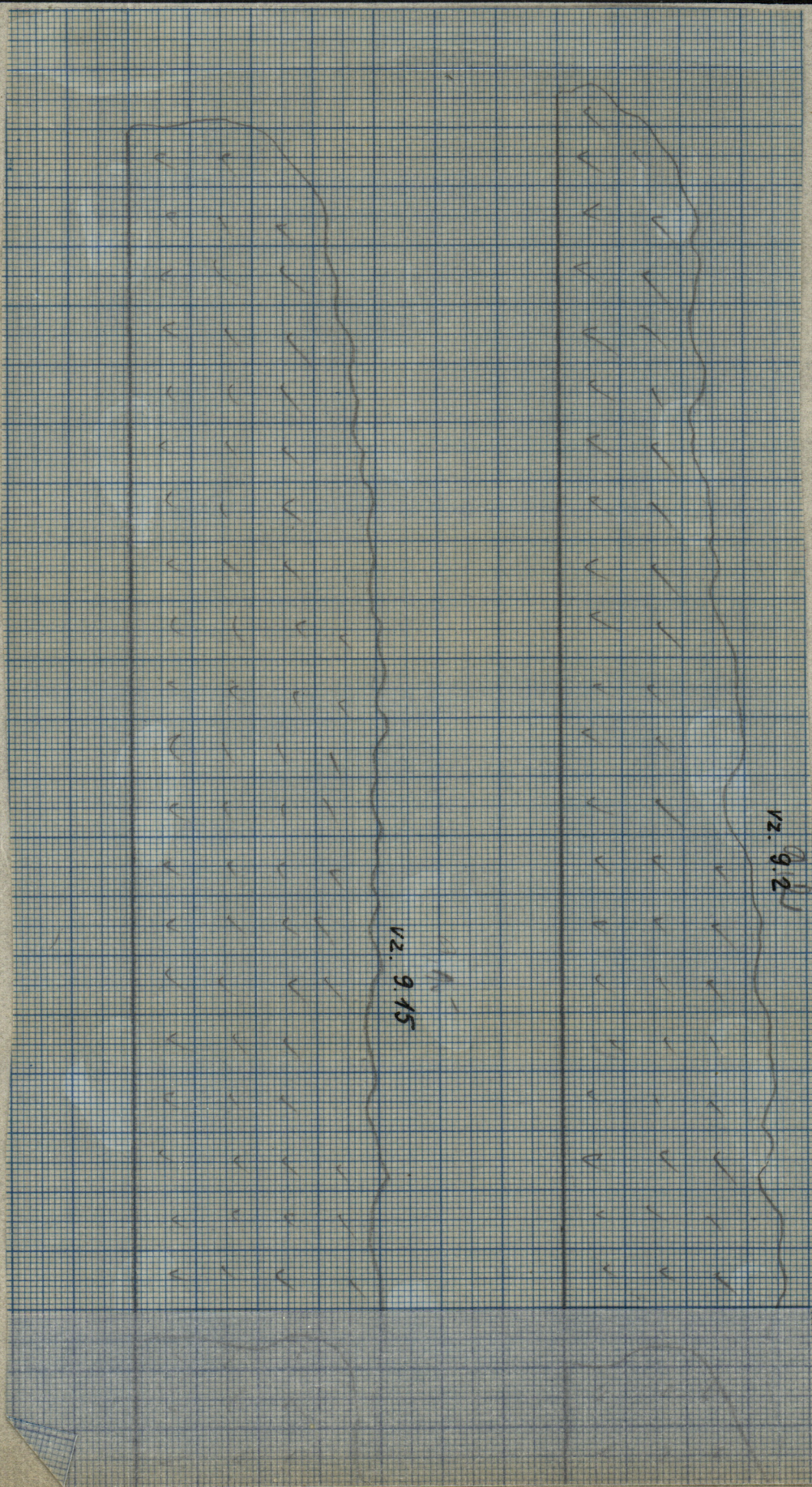
VŠST LIBEREC

Určení vhodné metody
mechanických zkoušek
skořepin

DP-127
63 Str. 50

20. ČERVENCE 1963

Vojtěch Rachota



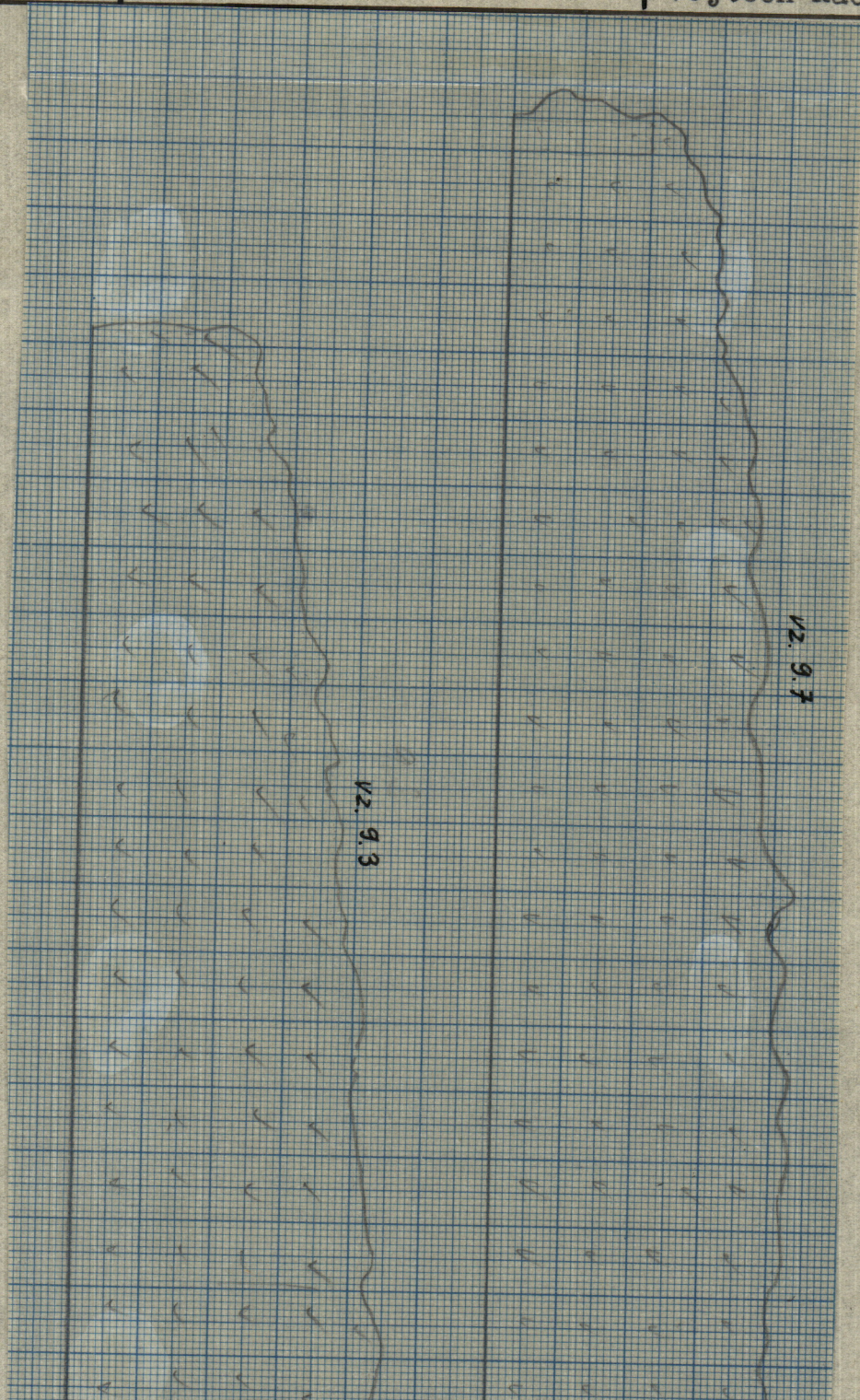
VŠŠT LIBEREC

Určení vhodné metody
mechanických zkoušek
skořepin

DP 137 STR. 51

20. ČERVENCE 1963

Vojtěch Rachota

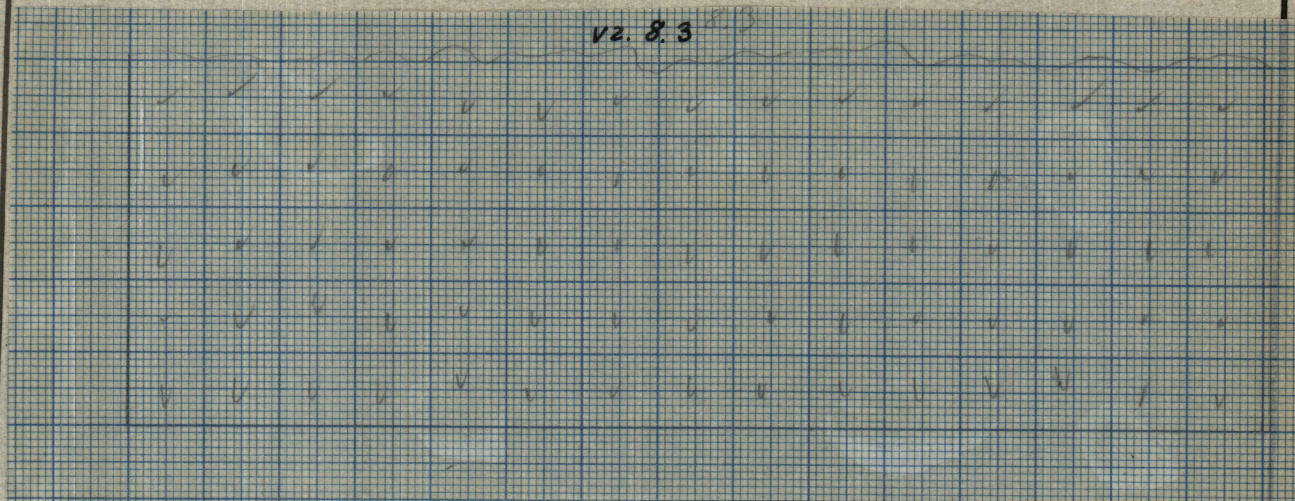


VŠST LIBEREC

Určení vhodné metody
mechanických zkoušek
skořepin

DP 137
63 STR. 52
20. ČERVENCE 1963
Vojtěch Rachota

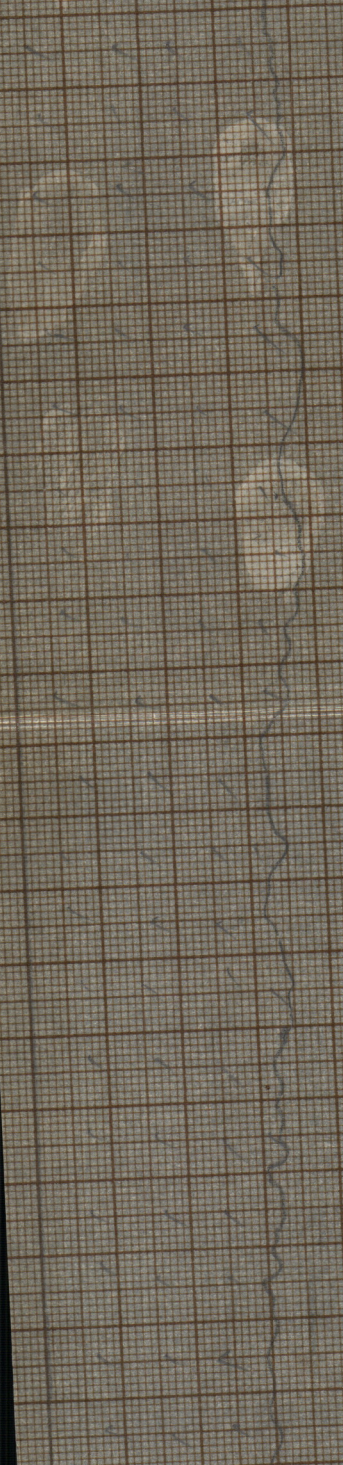
vz. 8.3



V2. 6. 10.

1

12.0.27.

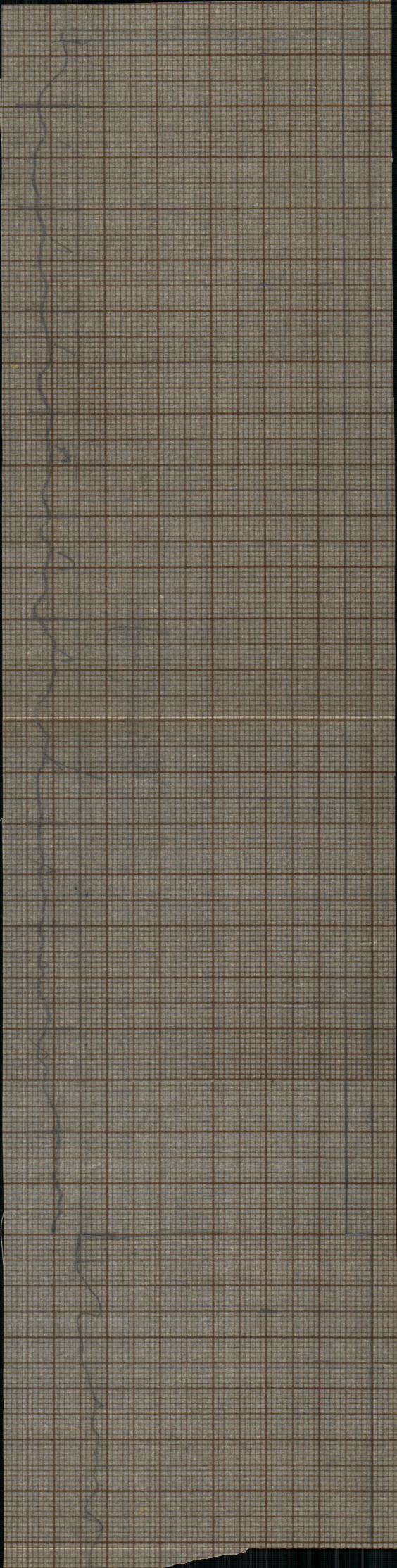


7.7.2.

12.7.10

12.7.10

12.8.4



VŠST LIBEREC

Určení vhodné metody
mechanických zkoušek
skořepin

DP 137 STR. 53

20. ČERVENCE 1963

Vojtěch Rachota

vz. 8.13.

vz. 8.14

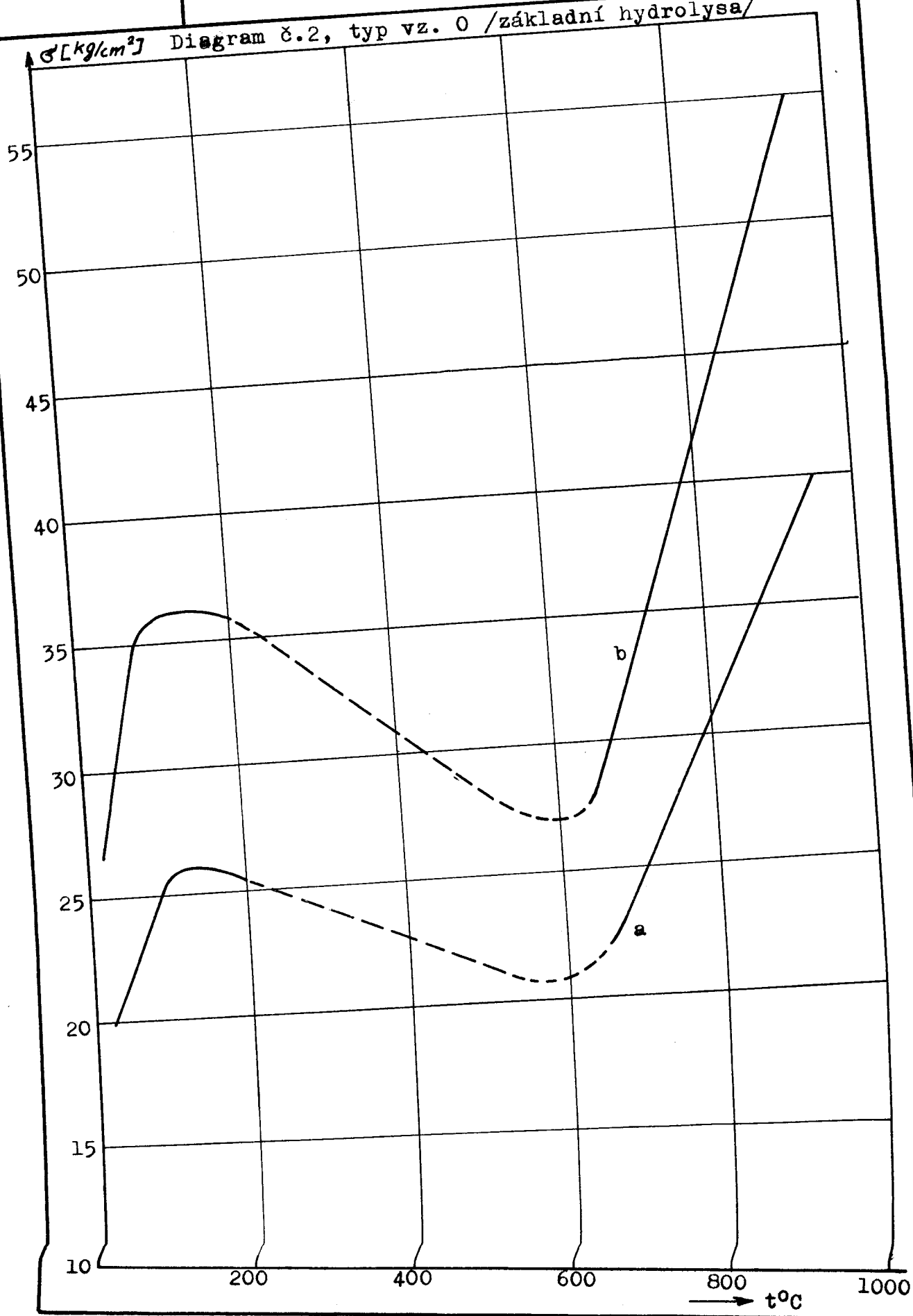
1.14

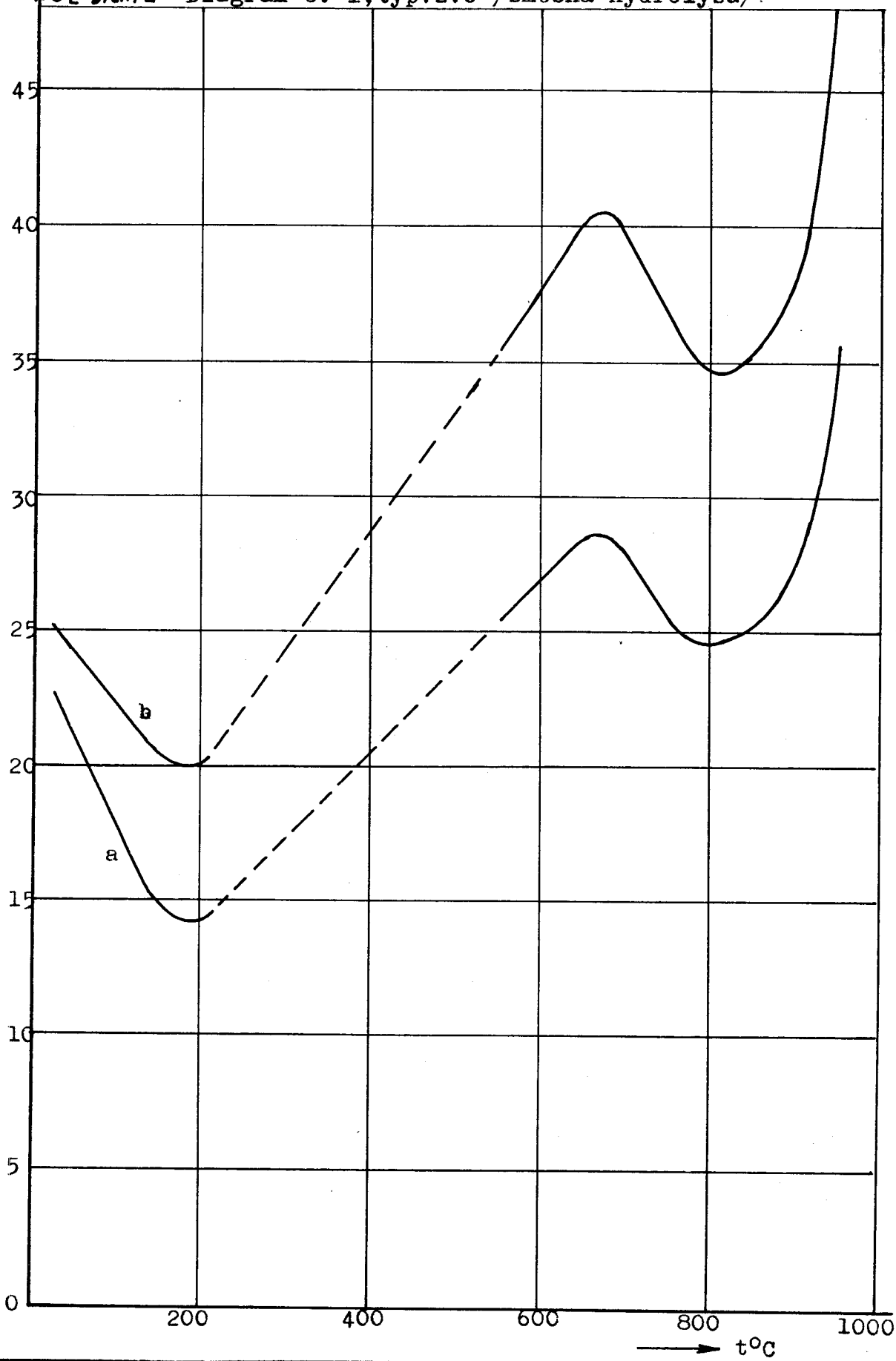
Tabuľka č. 1 - typ vz. 0 - základná hydrolyza - šířka 15

| VŠST LIBEREC | Určení vhodné metody mechanických zkoušek skořepin | DP 137 63 | | STR. 54 | | | | | | | | | | |
|--------------|--|-------------------|-----|-----------------|-------|-------|-------|-------|-------|------|------------------------|------|-------------------------|----|
| | | 20. ČERVENCE 1963 | | Vojtěch Rachota | | | | | | | | | | |
| | | t°C | b | h/1 | h/2 | h/3 | h | F | F/ko | P | G° | h/ko | G'/ko | vz |
| 20 | 16,3 | 4,3 | 4,1 | 4,5 | 4,3 | 70,09 | 59,15 | 352,4 | 17,75 | 3,63 | 24,6 | 9 | | |
| 20 | 16,5 | 3,5 | 3,5 | 3,4 | 3,46 | 57,75 | 48,75 | 266,0 | 20,21 | 2,92 | 28,4 | 10 | | |
| 100 | 16,5 | 3,1 | 3,1 | 3,1 | 3,1 | 51,15 | 43,17 | 270,0 | 25,5 | 2,62 | 35,8 | 6 | | |
| 200 | 15,1 | 3,8 | 3,9 | 4,0 | 3,9 | 58,89 | 48,68 | 389,0 | 25,2 | 3,29 | 35,7 | 5 | | |
| 650 | 16,5 | 3,4 | 3,5 | 3,6 | 3,5 | 57,75 | 48,75 | 269,0 | 20,0 | 2,96 | 27,9 | 4 | Při vyjmutí se roztrhle | |
| 800 | 16,7 | 3,7 | 3,7 | 4,0 | 3,8 | 63,46 | 53,57 | 484,2 | 30,2 | 3,21 | 42,7 | 3 | | |
| 900 | 15,9 | 3,9 | 4,0 | 4,0 | 3,96 | 63,60 | 53,74 | 650,7 | 39,8 | 3,35 | 55,5 | 2 | | |
| 930 | 15,7 | 3,4 | 3,5 | 3,6 | 3,5 | 54,95 | 46,39 | | | 1 | Přesklo při manipulaci | | | |
| 930 | 16,7 | 3,5 | 3,2 | 3,3 | 3,33 | 55,11 | 46,55 | 132,4 | 10,71 | 2,81 | 15,0 | 7 | | |
| 930 | 15,3 | 4,1 | 4,3 | 4,16 | 64,26 | 54,24 | 236,2 | 13,4 | 3,52 | 18,7 | 8 | | | |

Tabulka č. 2 - typ vz. 0 - směsná hydrolyza - šířka 15

| VŠST LIBEREC | Určení vhodné metody mechanických zkoušek skořepin | | | | | | | DP | 137 63 | STR. | 55 | | | | | | | | | | |
|--------------|--|-----|------|-------|-------|-------|-------|-------------------|-----------|------|-------|------|---|---|------|---|----------------|------|------|-----|-----------------|
| | | | | | | | | 20. ČERVENCE 1963 | | | | | | | | | | | | | |
| | | | | | | | | t°C | b | h/1 | h/2 | h/3 | h | F | F/ko | P | σ _o | h/ko | g/ko | vz. | P o z n á m k e |
| 20° | 16,0 | 3,1 | 3,0 | 3,0 | 3,03 | 48,0 | 40,56 | 214,0 | 21,92 | 2,56 | 30,6 | 0,5 | | | | | | | | | |
| 20° | 16,2 | 3,8 | 3,8 | 3,7 | 3,76 | 61,56 | 51,96 | 343,8 | 22,5 | 3,18 | 32,1 | 0,6 | | | | | | | | | |
| 20° | 16,5 | 2,6 | 2,7 | 2,6 | 2,63 | 42,9 | 36,29 | 190,1 | 25,1 | 2,22 | 35,82 | 0,7 | | | | | | | | | |
| 120 | 16,2 | 2,9 | 2,9 | 2,9 | 2,9 | 47,0 | 39,09 | 150,1 | 16,5 | 2,56 | 21,2 | 0,8 | | | | | | | | | |
| 200 | 16,8 | 4,5 | 4,5 | 3,8 | 4,26 | 72,24 | 61,00 | 291 | 14,3 | 3,6 | 20,1 | 0,9 | | | | | | | | | |
| 550 | 16,5 | 3,0 | 3,1 | 3,1 | 3,06 | 51,15 | 43,22 | 260,7 | 25,2 | 2,59 | 35,3 | 0,10 | | | | | | | | | |
| 650 | 17,0 | 2,9 | 3,0 | 3,0 | 2,96 | 51,0 | 43,04 | 285,7 | 28,6 | 2,5 | 40,3 | 0,11 | | | | | | | | | |
| 800 | 17,2 | 2,6 | 2,6 | 2,9 | 2,7 | 46,5 | 39,29 | 206,8 | 24,7 | 2,28 | 34,6 | 0,12 | | | | | | | | | |
| 900 | 16,7 | 3,1 | 3,0 | 2,9 | 3,0 | 50,1 | 42,33 | 272,9 | 27,3 | 2,53 | 38,0 | 0,13 | | | | | | | | | |
| 950 | 15,9 | 2,6 | 2,5 | 2,6 | 2,56 | 40,3 | 34,05 | 248,3 | 35,7 | 2,16 | 50,3 | 0,14 | | | | | | | | | |
| 930 | 15,7 | 2,6 | 2,7 | 2,7 | 2,66 | 42,4 | 35,8 | | | | | | | | | | | | | | |
| 930 | 15,5 | 2,6 | 2,8 | 2,8 | 2,73 | 41,8 | 35,4 | 69,6 | 8,8 | 2,28 | 13,0 | 0,2 | | | | | | | | | |
| 930 | 15,6 | 2,6 | 2,8 | 3,0 | 2,8 | 43,68 | 36,9 | 87,3 | 10,7 | 2,3 | 15,75 | 0,3 | | | | | | | | | |
| 930 | 15,6 | 4,0 | 3,86 | 60,84 | 51,37 | 194,5 | 12,53 | 3,28 | 17,4 | 0,4 | | | | | | | | | | | |

$\sigma \text{ [kg/cm}^2\text{]}$ Diagram č. 2, typ vz. 0 /základní hydrolysa/

$\sigma [kg/cm^2]$ Diagram č. 1, typ vz. 0 /směsná hydrolyza/.

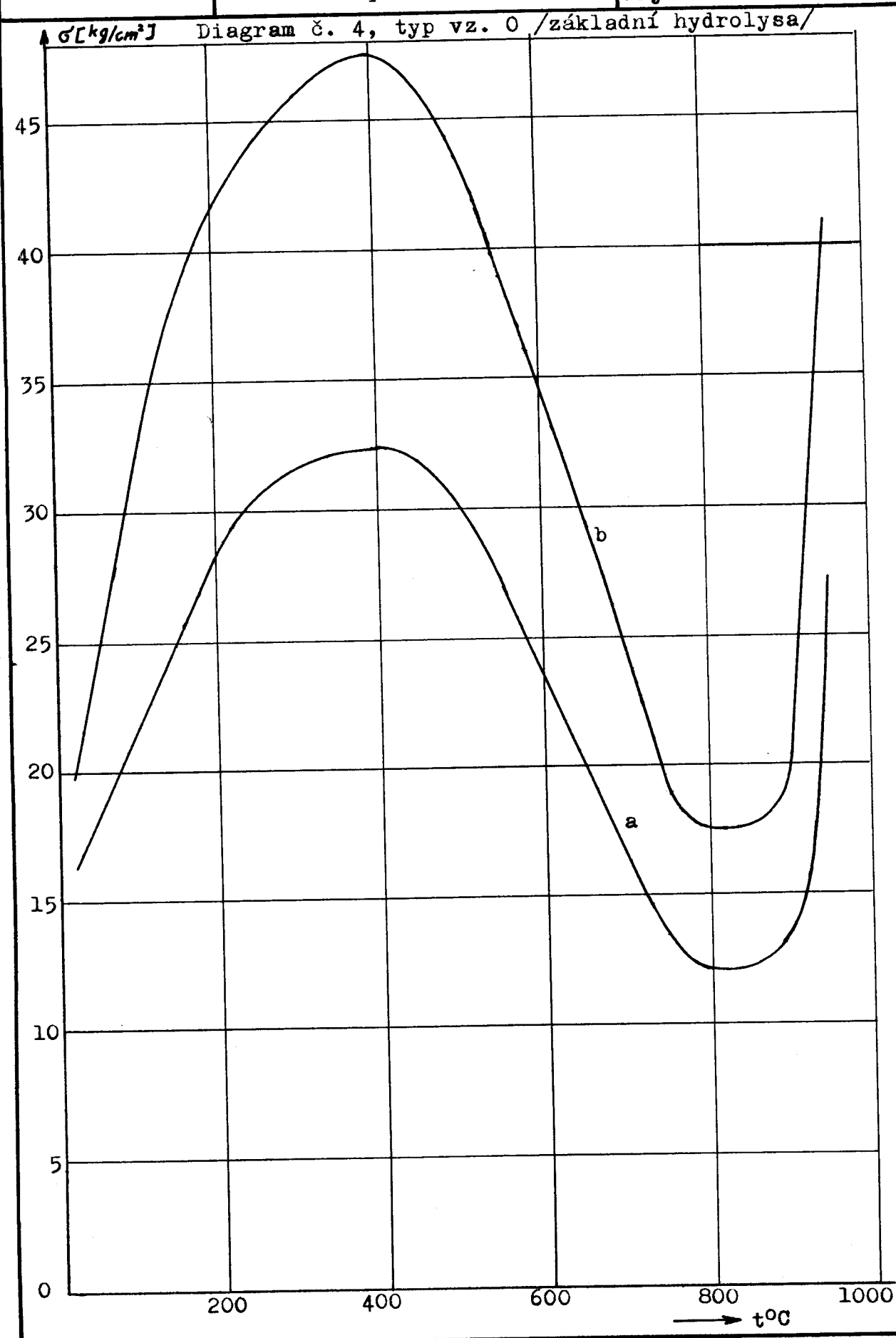
Tabeulka č. 3 - typ vz. 0 - základní hydrolyza - šířka 30

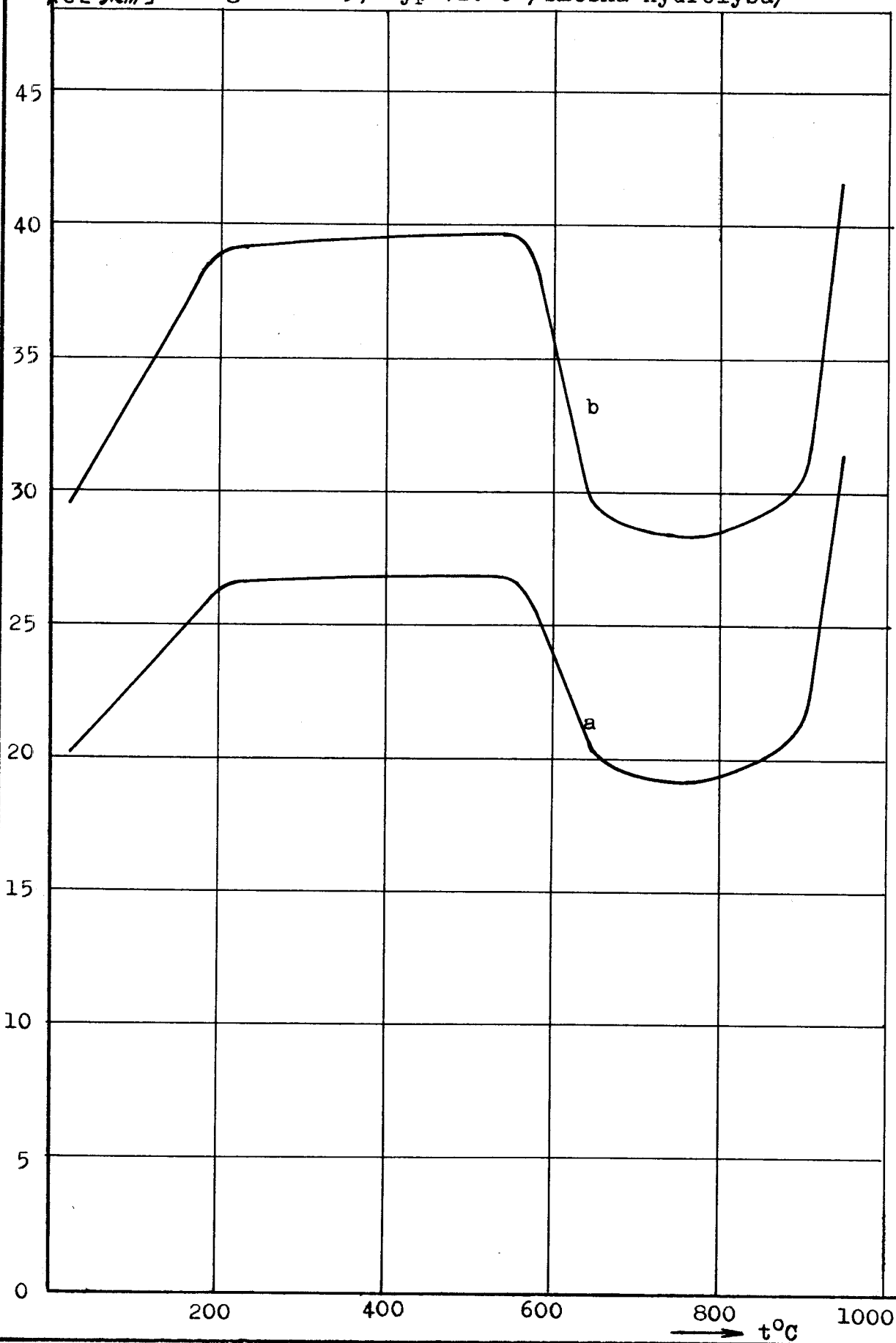
| VŠST LIBEREC | Určení vhodné metody mechanických zkoušek skořepin | DP 137 63 | | STR. 58 | |
|--------------|--|-------------------|-----|---------|--------|
| | | 20. ČERVENCE 1963 | | | |
| | | Vojtěch Rachota | | | |
| t°C | b | h/l | h/2 | h/3 | h |
| 20 | 30,6 | 3,4 | 3,3 | 3,3 | 3,33 |
| 20 | 30,4 | 4,0 | 3,9 | 4,0 | 4,03 |
| 20 | 30,8 | 4,0 | 3,9 | 3,8 | 3,90 |
| 20 | 30,8 | 3,4 | 3,5 | 3,7 | 3,53 |
| 100 | 30,1 | 4,6 | 4,6 | 4,8 | 4,6 |
| 200 | 30,8 | 4,0 | 4,0 | 4,0 | 4,0 |
| 400 | 30,7 | 3,6 | 3,6 | 3,6 | 3,56 |
| 550 | 30,9 | 3,9 | 3,9 | 4,0 | 3,93 |
| 650 | 30,7 | 5,3 | 5,1 | 5,1 | 5,16 |
| 800 | 30,9 | 4,4 | 4,6 | 4,7 | 4,56 |
| 900 | 30,5 | 3,6 | 3,9 | 4,0 | 3,83 |
| 950 | 30,7 | 4,4 | 4,6 | 4,6 | 4,53 |
| 930 | 30,3 | 4,1 | 4,3 | 4,3 | 4,23 |
| 930 | 30,7 | 3,5 | 3,6 | 3,53 | 107,45 |
| 930 | 30,5 | 3,6 | 3,6 | 3,60 | 109,80 |
| 930 | 30,9 | 3,8 | 4,1 | 3,83 | 117,42 |

Praskle při vypalování

Tabulka č. 4 - typ vz. C - směsná hydrolyza - šířka 30

| VŠST LIBEREC | Určení vhodné metody mechanických zkoušek skořepin | t°C | b | h/1 | h/2 | h/3 | h | F | F/ko | P | \bar{F}_o | h/ko | \bar{F}/ko | vz. | Poznámka | |
|--------------|--|--------|-------|-------|--------|--------|--------|-------|-------|-------|-------------|-------|---------------------------|-------|----------|---------------------------|
| | | DP 137 | DP 60 | DP 60 | DP 60 | DP 60 | DP 60 | DP 60 | DP 60 | DP 60 | DP 60 | DP 60 | DP 60 | DP 60 | DP 60 | |
| | | 20° | 20° | 20° | 20° | 20° | 20° | 20° | 20° | 20° | 20° | 20° | 20° | 20° | 20° | |
| 20° | 30,6 | 3,7 | 4,0 | 4,1 | 3,93 | 119,34 | 98,17 | | | | | | | | | 0.25 Praskla pod zet.tyč. |
| 20° | 30,4 | 3,2 | 3,6 | 3,7 | 3,5 | 106,40 | 84,14 | 502,5 | 20,22 | 2,89 | 29,8 | 0.26 | | | | |
| 20° | 30,4 | 4,2 | 3,8 | 3,4 | 4,13 | 124,64 | 96,88 | 580,5 | 16,85 | 3,4 | 24,8 | 0.27 | | | | |
| 20° | 30,6 | 3,2 | 3,2 | 3,2 | 3,2 | 97,92 | 80,02 | 491,8 | 23,6 | 2,64 | 34,6 | 0.28 | | | | |
| 120 | 30,3 | 3,7 | 3,8 | 3,5 | 3,66 | 112,11 | 92,40 | 644,0 | 23,62 | 3,02 | 34,9 | 0.29 | | | | |
| 200 | 30,9 | 3,2 | 3,7 | 3,2 | 3,36 | 105,06 | 86,62 | 615,0 | 26,38 | 2,77 | 38,9 | 0.30 | | | | |
| 400 | 30,1 | 3,3 | 3,4 | 3,3 | 3,33 | 99,33 | 81,67 | 594,0 | 26,62 | 2,74 | 39,4 | 0.31 | | | | |
| 550 | 30,9 | 3,4 | 3,3 | 3,4 | 3,36 | 105,06 | 86,62 | 628,2 | 26,82 | 2,77 | 39,6 | 0.32 | | | | |
| 650 | 30,8 | 4,2 | 3,9 | 3,9 | 4,0 | 123,2 | 101,47 | 658,4 | 20,00 | 3,3 | 29,4 | 0.33 | | | | |
| 800 | 30,2 | 3,9 | 3,7 | 3,2 | 3,6 | 108,72 | 89,10 | 506,4 | 19,39 | 2,97 | 28,5 | 0.34 | | | | |
| 900 | 30,2 | 3,2 | 3,2 | 3,4 | 3,26 | 99,66 | 81,67 | 391,3 | 18,52 | 2,69 | 26,8 | 0.35 | | | | |
| 900 | 30,5 | 3,3 | 3,2 | 3,4 | 3,3 | 100,65 | 82,50 | 530,7 | 24,2 | 2,78 | 33,8 | 0.39 | | | | |
| 50 | 30,6 | 3,5 | 3,6 | 3,7 | 3,6 | 110,16 | 90,70 | | 2,97 | | | | 0.36 Praskla při manipul. | | | |
| 950 | 30,4 | 2,9 | 3,8 | 2,9 | 3,2 | 97,28 | 80,02 | 677,2 | 32,5 | 2,64 | 41,8 | 0.38 | | | | |
| 930 | 30,4 | 3,7 | 3,6 | 3,5 | 3,6 | 109,44 | 89,92 | | | | | | 0.21 | | | |
| 930 | 30,4 | 3,9 | 3,4 | 3,7 | 3,66 | 112,48 | 92,4 | 295,7 | 9,85 | 3,02 | 15,95 | 0.22 | | | | |
| 930 | 30,3 | 3,4 | 3,6 | 3,4 | 3,46 | 106,05 | 86,58 | 266,5 | 10,95 | 2,86 | 16,05 | 0.23 | | | | |
| 930 | 30,3 | 3,4 | 3,6 | 3,5 | 106,05 | 87,45 | 166,0 | 6,7 | 2,89 | 9,83 | 0.24 | | | | | |



$\sigma [kg/cm^2]$ Diagram č. 3, typ vz. 0 /směsná hydrolysa/

Tabulka č. 5 typ vz. 1 - základní hydrolyza - šířka 15

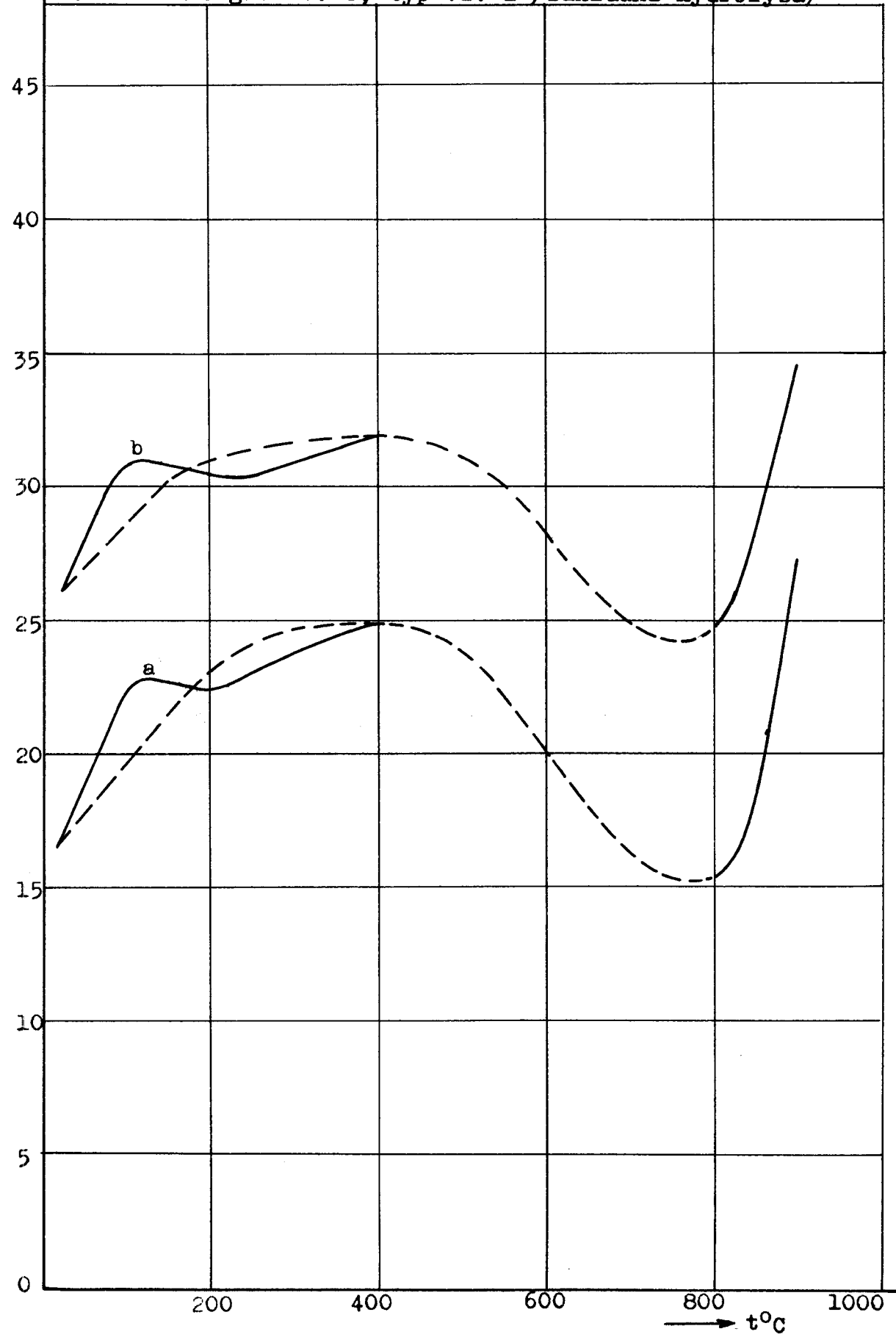
| t°C | b | h/1 | h/2 | h/3 | h | F | F/ko | P | σ₀ | h/ko | σ₀/he | vz | p | o | z | n | a | m | k |
|-----|------|-----|-----|-----|------|-------|-------|-------|-------|------|-------|------|---|---|---|---|---|---|---|
| 20 | 15,7 | 3,8 | 4,0 | 3,9 | 3,9 | 61,23 | 51,71 | 266,2 | 16,7 | 3,29 | 23,5 | 11 | | | | | | | |
| 20 | 15,9 | 3,6 | 3,8 | 3,6 | 3,6 | 58,83 | 48,68 | 229,7 | 16,15 | 3,09 | 22,7 | 12 | | | | | | | |
| 20 | 15,7 | 3,8 | 3,7 | 3,7 | 3,7 | 3,73 | | | | | | | | | | | | | |
| 100 | 15,5 | 3,3 | 3,2 | 3,2 | 3,2 | 46,90 | 41,91 | 237,4 | 22,4 | 2,73 | 30,8 | 6 | | | | | | | |
| 200 | 16,2 | 2,9 | 3,0 | 3,0 | 3,0 | 2,96 | 48,60 | 41,05 | 204,9 | 21,7 | 2,50 | 30,3 | 5 | | | | | | |
| 400 | 16,5 | 3,3 | 3,3 | 3,4 | 3,3 | 54,45 | 45,96 | 276,1 | 22,7 | 2,81 | 31,8 | 4 | | | | | | | |
| 800 | 16,0 | 4,1 | 4,3 | 4,3 | 4,26 | 68,80 | 57,13 | 294,8 | 15,3 | 3,36 | 24,5 | 3 | | | | | | | |
| 900 | 15,6 | 4,1 | 4,1 | 4,1 | 4,1 | 62,40 | 52,72 | 494,8 | 27,21 | 3,47 | 39,4 | 2 | | | | | | | |
| 950 | 15,8 | 3,8 | 4,1 | 4,0 | 3,96 | | | | | | | | | | | | | | |
| 930 | 15,8 | 3,0 | 3,1 | 3,2 | 3,1 | | | | | | | | | | | | | | |
| 930 | 15,5 | 3,5 | 3,7 | 3,5 | 3,56 | 55,80 | 47,15 | 145,1 | 11,1 | 2,99 | 15,7 | 8 | | | | | | | |
| 930 | 15,5 | 4,0 | 4,0 | 4,0 | 4,0 | 62,00 | 52,39 | 216,6 | 13,05 | 3,38 | 18,3 | 9 | | | | | | | |

Praskla při manipulaci
neudržela zatěž. tyčinku

Tabeulka č. 6. typ vz. 1 - směsná hydrolyze - šířka 15

| Určení vhodné metody mechanických zkoušek skořepin | | DP <u>137</u> <u>63</u> | | STR.63 | |
|--|---------|----------------------------|-----|--------|-------|
| | | 20. ČERVENCE 1963 | | | |
| Vojtěch | Rachota | | | | |
| t°C | b | h/1 | h/2 | h/3 | h |
| 20° | 15,9 | 3,1 | 3,0 | 3,0 | 3,03 |
| 20° | 15,5 | 3,2 | 3,0 | 3,2 | 3,13 |
| 20° | 15,4 | 3,3 | 3,6 | 3,3 | 3,4 |
| 20° | 15,5 | 4,2 | 4,1 | 4,0 | 4,1 |
| 20° | 15,4 | 3,8 | 3,9 | 3,6 | 3,76 |
| 400 | 15,2 | 3,2 | 3,6 | 3,2 | 3,33 |
| 400 | 15,2 | 3,8 | 4,0 | 3,8 | 3,86 |
| 550 | 15,5 | 3,0 | 2,9 | 3,0 | 3,96 |
| 550 | 15,5 | 3,1 | 3,2 | 3,3 | 3,20 |
| 650 | 15,2 | 3,1 | 3,0 | 2,9 | 3,00 |
| 800 | 15,7 | 3,2 | 3,4 | 3,2 | 3,26 |
| 900 | 15,7 | 3,5 | 3,4 | 3,4 | 3,43 |
| 950 | 15,3 | 3,2 | 3,2 | 3,20 | 48,96 |
| 930 | 15,5 | 3,6 | 3,8 | 3,8 | 3,73 |
| 930 | 16,0 | 3,8 | 3,7 | 3,6 | 3,70 |
| 930 | 15,4 | 3,0 | 3,4 | 3,3 | 49,28 |
| 930 | 15,9 | 3,9 | 3,7 | 3,5 | 58,83 |

VŠST LIBEREC

$\sigma [kg/cm^2]$ Diagram č. 6, typ vz. 1 /základní hydrolysa/

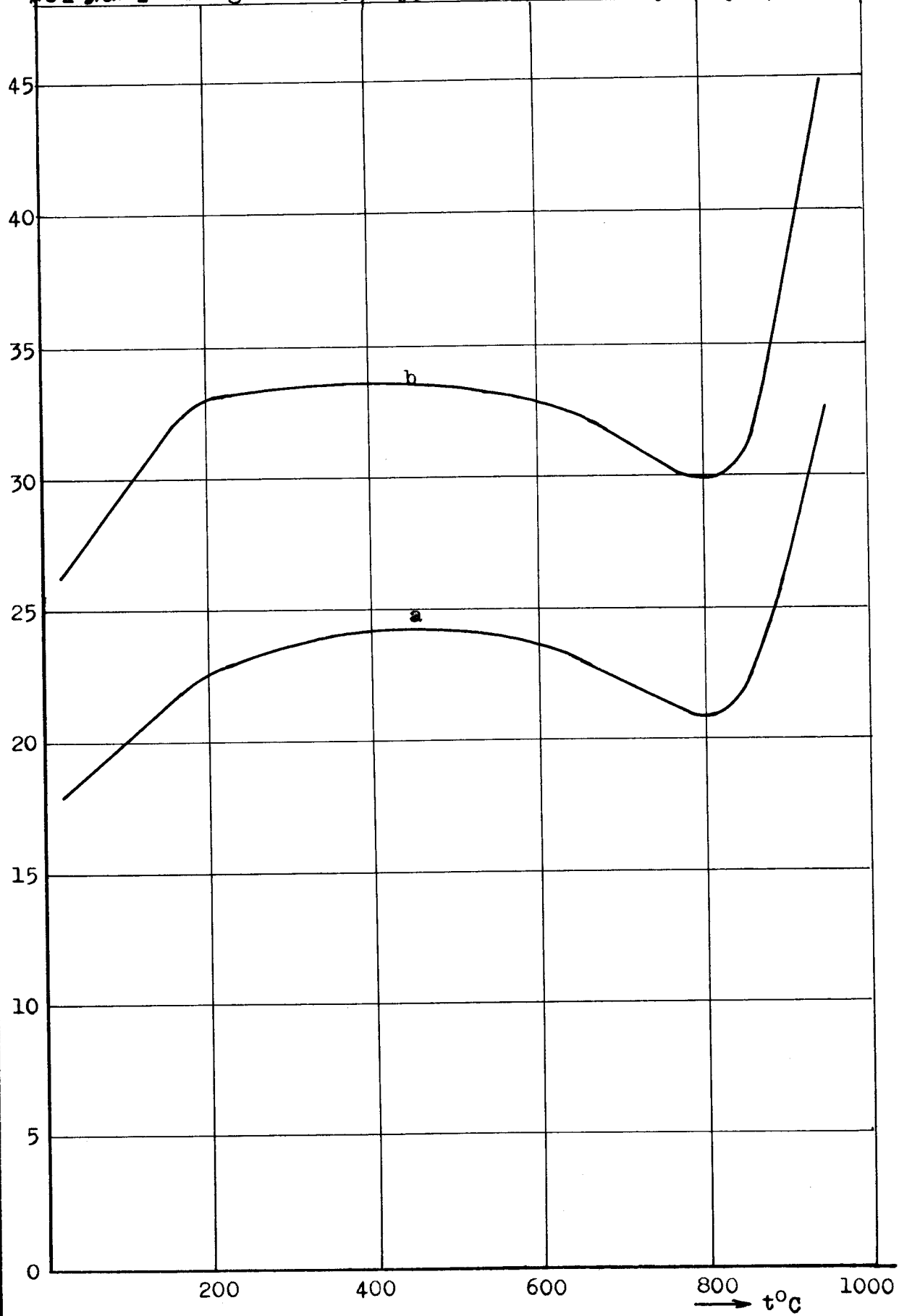
$\Delta G' [kg/cm^2]$ Diagram č. 5, typ vz. 1 /směsná hydrolysa/

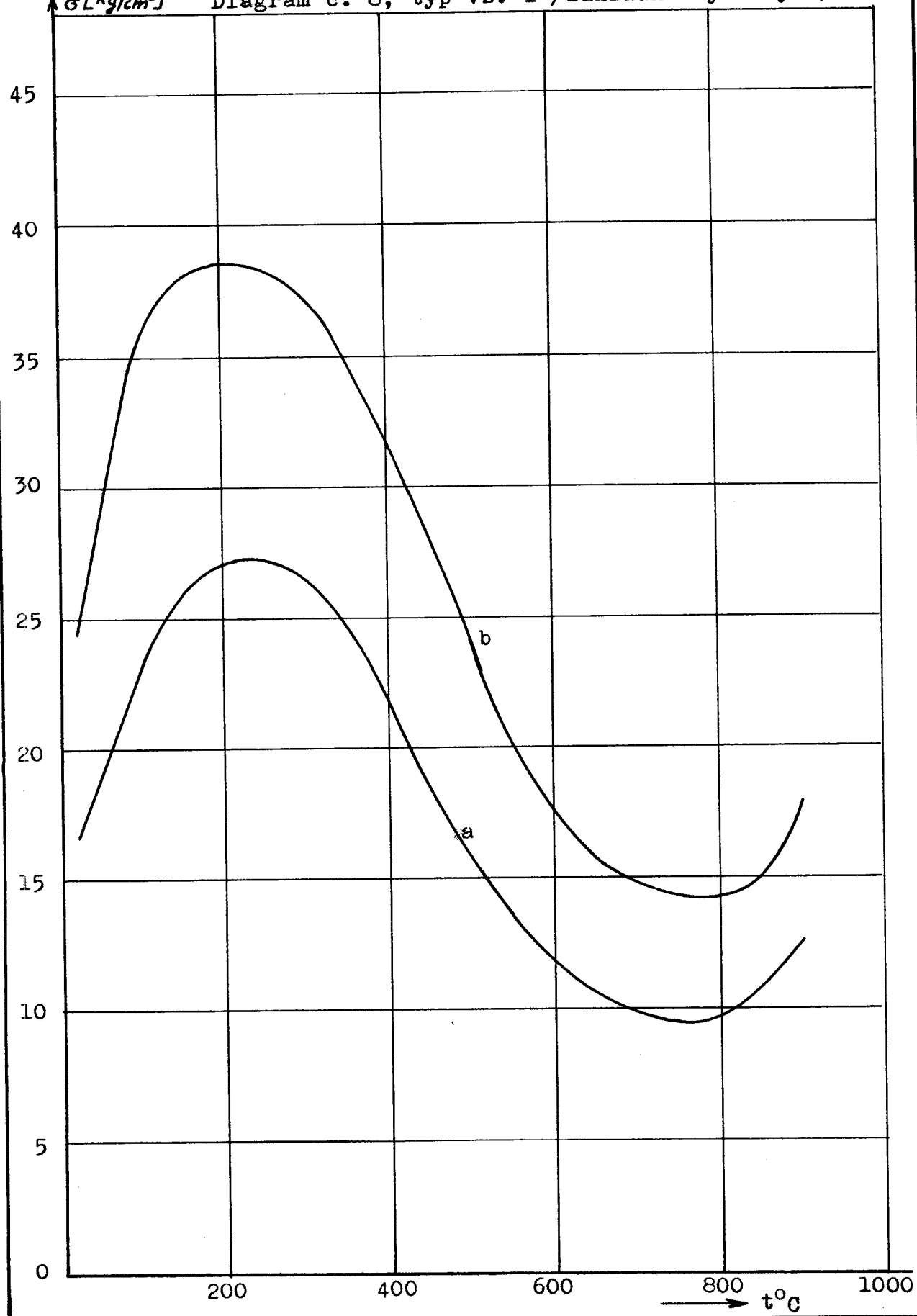
Tabelle č. 7 - typ vz. 1 - základní hydrolyza - šířka 30

| VŠST LIBEREC | Určení vhodné metody mechanických zkoušek skořepin | DP 137/63 STR. 66 | | | | | | | | | |
|--------------|--|-------------------|-----|-----|------|--------|--------|--------|-------|------|----------------------|
| | | 20. ČERVENCE 1963 | | | | | | | | | |
| | | Vojtěch Rachota | | | | | | | | | |
| t °C | b | h/1 | h/2 | h/3 | h | F | F/ko | P | σ' | h/Ko | σ'/ko vz Poznámky |
| 20 | 30,0 | 5,5 | 5,5 | 5,2 | 5,40 | 162,00 | 133,65 | 976,4 | 16,7 | 4,45 | 24,4 |
| 20 | 30,9 | 3,7 | 3,8 | 4,0 | 3,83 | 117,42 | | | | | 11 |
| 20 | 30,5 | 4,9 | 5,1 | 5,0 | 5,00 | 152,50 | 125,81 | 304,2 | 6,0 | 4,13 | 8,62 |
| 100 | 30,2 | 4,0 | 4,0 | 4,1 | 4,03 | 120,8 | 99,66 | 800,0 | 23,5 | 3,32 | 36,1 |
| 200 | 30,9 | 4,4 | 4,5 | 4,6 | 4,5 | 139,05 | 114,67 | 768,8 | 18,4 | 3,71 | 27,1 |
| 400 | 30,5 | 4,4 | 4,3 | 4,4 | 4,36 | 134,20 | 110,71 | 842,5 | 21,8 | 3,6 | 32,0 |
| 550 | 30,8 | 4,5 | 4,5 | 4,6 | 4,53 | 138,60 | 114,34 | 578,1 | 13,75 | 3,74 | 20,2 |
| 650 | 30,5 | 3,9 | 4,0 | 4,3 | 4,06 | 125,05 | 103,12 | 1474,5 | 44,0 | 3,34 | 65,0 |
| 800 | 30,3 | 4,0 | 4,0 | 4,1 | 4,03 | 121,20 | 99,99 | 321,5 | 9,8 | 3,32 | 14,35 |
| 900 | 30,3 | 4,2 | 4,2 | 4,2 | 4,20 | 127,26 | 104,94 | 437,2 | 12,28 | 3,47 | 17,9 |
| 950 | 30,4 | 4,7 | 4,8 | 4,8 | 4,76 | 145,92 | 120,36 | 147,0 | 3,2 | 3,93 | 4,7 |
| 930 | 30,7 | 4,1 | 4,1 | 4,1 | 4,1 | 125,87 | 103,78 | 318,5 | 9,24 | 3,38 | 13,6 |
| 930 | 30,4 | 4,0 | 4,1 | 3,9 | 4,0 | 121,60 | 100,32 | 347,5 | 10,7 | 3,3 | 15,8 |
| 930 | 30,6 | 4,6 | 4,5 | 4,7 | 4,6 | 140,76 | 116,07 | 389,3 | 9,04 | 3,43 | 16,2 |
| 930 | 30,8 | 4,0 | 4,0 | 4,0 | 4,0 | 123,2 | 101,64 | 277,3 | 8,4 | 3,3 | 12,4 |
| | | | | | | | | | | | 1 první obal preskly |

Tabulka č. 8. - typ vz. 1 - směsná hydrolyza - šířka 30

| VŠST LIBEREC | | Určení vhodné metody mechanických zkoušek | | DP 137/63 STR. 67 | | 20. ČERVENCE 1963 | | Vojtěch Rachota | | | | | |
|--------------|------|--|-----|-------------------|-------|-------------------|--------|-----------------|-------|------|------|------|----------------------|
| t°C | b | h/1 | h/2 | h/3 | h | F | F/ko | P | σ₀ | h/ko | δ/ko | vz. | P o z n á m k e |
| 20 | 30,0 | 4,7 | 4,6 | 4,5 | 4,60 | 138,00 | 113,85 | | | | | 1.21 | Praskle pod zet.tyč. |
| 20 | 30,3 | 3,2 | 3,0 | 2,9 | 3,03 | 90,90 | 74,25 | | | | | 1.22 | Praskle před měřením |
| 20 | 30,0 | 3,6 | 3,4 | 3,2 | 3,4 | 102,00 | 84,15 | 209,8 | 9,05 | 2,81 | 13,3 | 1.23 | |
| 29,5 | 3,2 | 3,3 | 3,1 | 3,0 | 94,40 | 75,95 | | | | | | 1.25 | Preskla při vkládání |
| 200 | 29,6 | 3,3 | 3,2 | 3,1 | 3,20 | 94,72 | 75,95 | 493,0 | 22,20 | 2,64 | 35,8 | 1.26 | Ověření hodnoty |
| 29,6 | 2,9 | 3,1 | 3,1 | 3,03 | 88,80 | 72,60 | | | | | | 1.27 | Preskla v peci -zet. |
| 200 | 29,9 | 3,1 | 3,0 | 3,1 | 3,06 | 92,69 | 75,90 | 783,7 | 41,8 | 2,52 | 61,7 | 1.28 | |
| 200 | 30,2 | 4,5 | 4,6 | 4,7 | 4,60 | 138,92 | 113,85 | - | - | - | - | 1.29 | Preskla při vkládání |
| 400 | 30,0 | 4,2 | 4,0 | 4,2 | 4,13 | 123,0 | 101,47 | 975,5 | 29,00 | 3,4 | 42,0 | 1.30 | |
| 550 | 30,2 | 4,7 | 4,7 | 4,6 | 4,66 | 141,94 | 116,32 | 738,4 | 15,00 | 3,84 | 24,8 | 1.31 | |
| 650 | 30,1 | 3,0 | 3,1 | 3,0 | 3,03 | 90,3 | 74,25 | 266,2 | 14,75 | 2,5 | 21,2 | 1.32 | |
| 800 | 29,9 | 3,7 | 3,7 | 3,8 | 3,73 | 110,63 | 90,75 | 590,2 | 21,3 | 3,08 | 31,2 | 1.34 | |
| 900 | 29,9 | 3,9 | 3,6 | 3,8 | 3,76 | 113,62 | 93,42 | 753,3 | 23,7 | 3,1 | 38,2 | 1.36 | |
| 950 | 30,0 | 3,4 | 3,4 | 3,3 | 3,36 | 102,00 | 84,15 | 430,8 | 19,65 | 2,78 | 27,9 | 1.24 | |
| 930 | 30,4 | 3,8 | 3,9 | 4,2 | 3,63 | 109,44 | 89,92 | | | | | 1.37 | |
| 930 | 30,2 | 4,0 | 3,9 | 3,96 | 120,8 | 99,00 | 145,0 | 4,62 | 3,27 | 6,75 | 1.38 | | |
| 930 | 30,7 | 3,1 | 3,0 | 2,9 | 3,00 | 92,1 | 75,90 | 94,9 | 5,14 | 2,47 | 7,6 | 1.39 | |

Diagram č. 8, typ vz. 1 /základní hydrolysa/



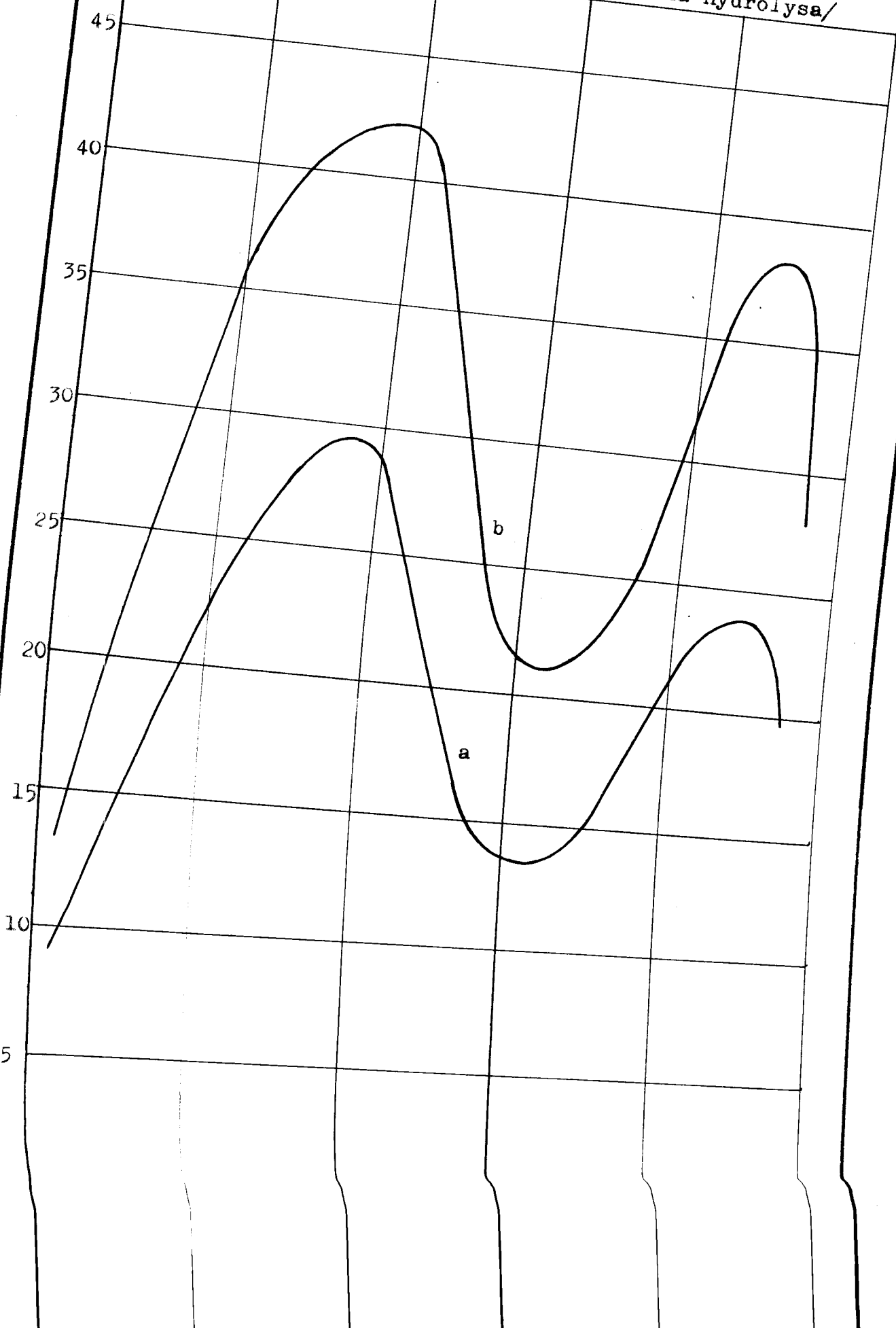
VŠST LIBEREC

Určení vhodné metody
mechanických zkoušek
skořepin

DP 137
63 STR. 69
20. ČERVENCE 1963
Vojtěch Rachota

$\Delta G [kg/cm^2]$

Diagram č. 7, typ vz. 1 /směsná hydrolyza/

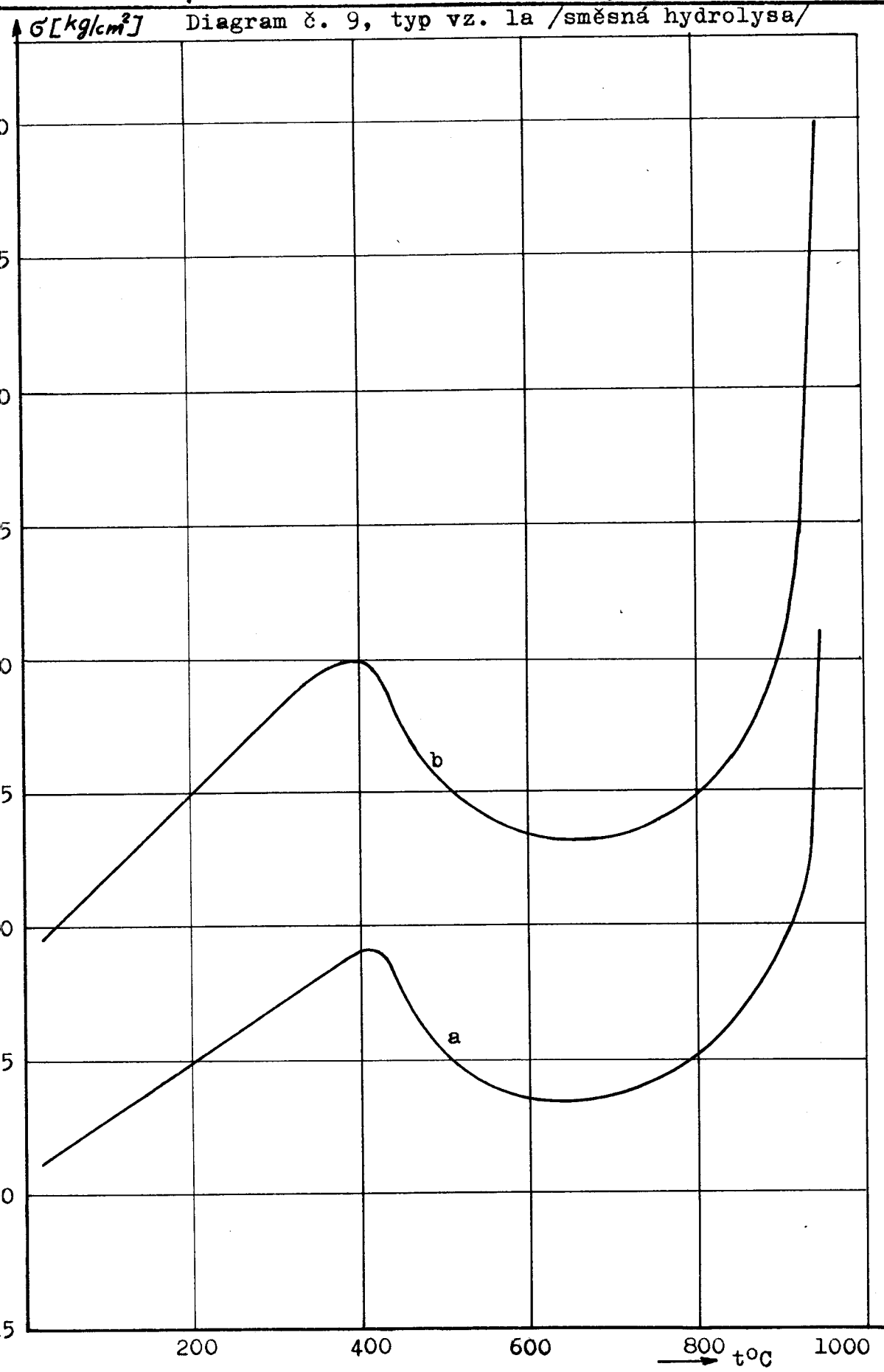


Tabulka č. 9. typ vz. 1a - základní hydrolyza - šířka 15

| VŠST LIBEREC | Určení vhodné metody mechanických zkoušek skořepin | DP 137/63 STR. 70 | | | | | | | | | | | | | |
|--------------|--|-------------------|-----|-----|------|-------|-------|-------|------|------|------|----|------|-------|-------------------------------|
| | | 20. ČERVENCE 1963 | t°C | b | h/1 | h/2 | h/3 | h | F | F/ko | P | σo | h/ko | σo/ko | vz |
| 20 | 15,1 | 4,4 | 4,3 | 4,3 | 4,33 | 64,93 | | | | | | | | | 6 Praskla při manipulaci |
| 20 | 15,5 | 3,7 | 3,9 | 4,0 | 3,86 | 60,45 | | | | | | | | | 7 Praskla při manipulaci |
| 800 | 15,9 | 3,5 | 3,5 | 3,6 | 3,53 | 55,65 | 46,98 | 389,0 | 29,4 | 2,98 | 41,4 | 3 | | | |
| 900 | 15,6 | 4,1 | 4,2 | 4,2 | 4,16 | 65,52 | 55,34 | 344,5 | 19,2 | 3,52 | 26,7 | 2 | | | |
| 950 | 15,7 | 3,5 | 3,4 | 3,5 | 3,46 | 54,95 | 46,39 | 292,8 | 25,7 | 2,92 | 32,8 | 1 | | | |
| 930 | 15,6 | 3,9 | 3,8 | 3,7 | 3,8 | 59,28 | | | | | | | | | 4 Praskla při zatížení tyčin. |
| 930 | 15,7 | 3,8 | 3,7 | 3,6 | 3,7 | 58,09 | 49,01 | 141,1 | 9,88 | 3,13 | 13,8 | 5 | | | |

Tabulka č. 10. - typ vz. 1a - směsna hydrolyze - šířka 15

| VŠST LIBEREC | Určení vhodné metody mechanických zkoušek skořepin | DP 137/63 STR. 71 | | | | | | | | | |
|--------------|--|-------------------|-----|-----|------|-------|-------|-------|--------|------|---------------------------------|
| | | 20. ČERVENCE 1963 | | | | | | | | | |
| | | Vojtěch Rachota | | | | | | | | | |
| t°C | b | h/l | h/2 | h/3 | h | F | F/ko | P | σ₀ | h/ko | ε/ko |
| 20 | 15,4 | 3,2 | 3,4 | 3,3 | 3,3 | 50,82 | 42,25 | | | | 4 |
| 20 | 15,2 | 4,0 | 4,0 | 3,9 | 3,9 | 60,80 | 50,70 | 280,2 | 17,75 | 3,34 | 24,8 |
| 20 | 15,0 | 4,6 | 4,5 | 4,4 | 4,4 | 4,50 | 67,50 | 56,61 | 46,9,0 | 23,0 | 3,8 |
| 120 | 15,2 | 4,1 | 4,0 | 3,8 | 3,8 | 3,96 | 60,80 | 50,70 | 365,0 | 23,0 | 3,34 |
| 200 | 15,1 | 3,8 | 3,6 | 3,7 | 3,7 | 55,87 | 46,47 | 350,0 | 25,9 | 3,13 | 31,4 |
| 400 | 15,6 | 3,4 | 3,4 | 3,4 | 3,4 | 53,04 | 44,78 | 350,0 | 29,1 | 2,87 | 40,0 |
| 550 | 15,6 | 3,9 | 4,0 | 3,6 | 3,83 | 59,28 | 50,02 | 353,5 | 23,8 | 3,24 | 32,4 |
| 650 | 15,4 | 3,6 | 3,6 | 3,5 | 3,56 | 55,44 | 46,81 | 325,4 | 24,9 | 3,01 | 34,9 |
| 800 | 15,0 | 3,3 | 3,4 | 3,5 | 3,4 | 51,00 | 43,09 | 296,0 | 25,5 | 2,87 | 36,0 |
| 900 | 15,7 | 3,9 | 3,7 | 3,6 | 3,73 | 58,09 | 48,93 | 394,0 | 27,5 | 3,15 | 37,9 |
| | 15,3 | 3,4 | 3,4 | 3,4 | 3,40 | 52,02 | 43,94 | | | | 13 |
| 950 | 15,1 | 4,0 | 3,9 | 4,0 | 3,96 | 60,40 | 51,03 | 658,3 | 40,8 | 3,34 | 58,3 |
| 930 | 15,3 | 4,0 | 4,2 | 3,9 | 4,03 | 61,20 | 51,54 | | | | 15 |
| 930 | 15,7 | 3,5 | 3,6 | 3,8 | 3,63 | 56,52 | 47,32 | 155,4 | 11,25 | 3,07 | 15,75 |
| 930 | 15,4 | 3,4 | 3,4 | 3,5 | 3,43 | 52,36 | 43,94 | 63,9 | 5,16 | 2,9 | 7,37 |
| | | | | | | | | | | | 20 mm oč středu - skrytá závada |



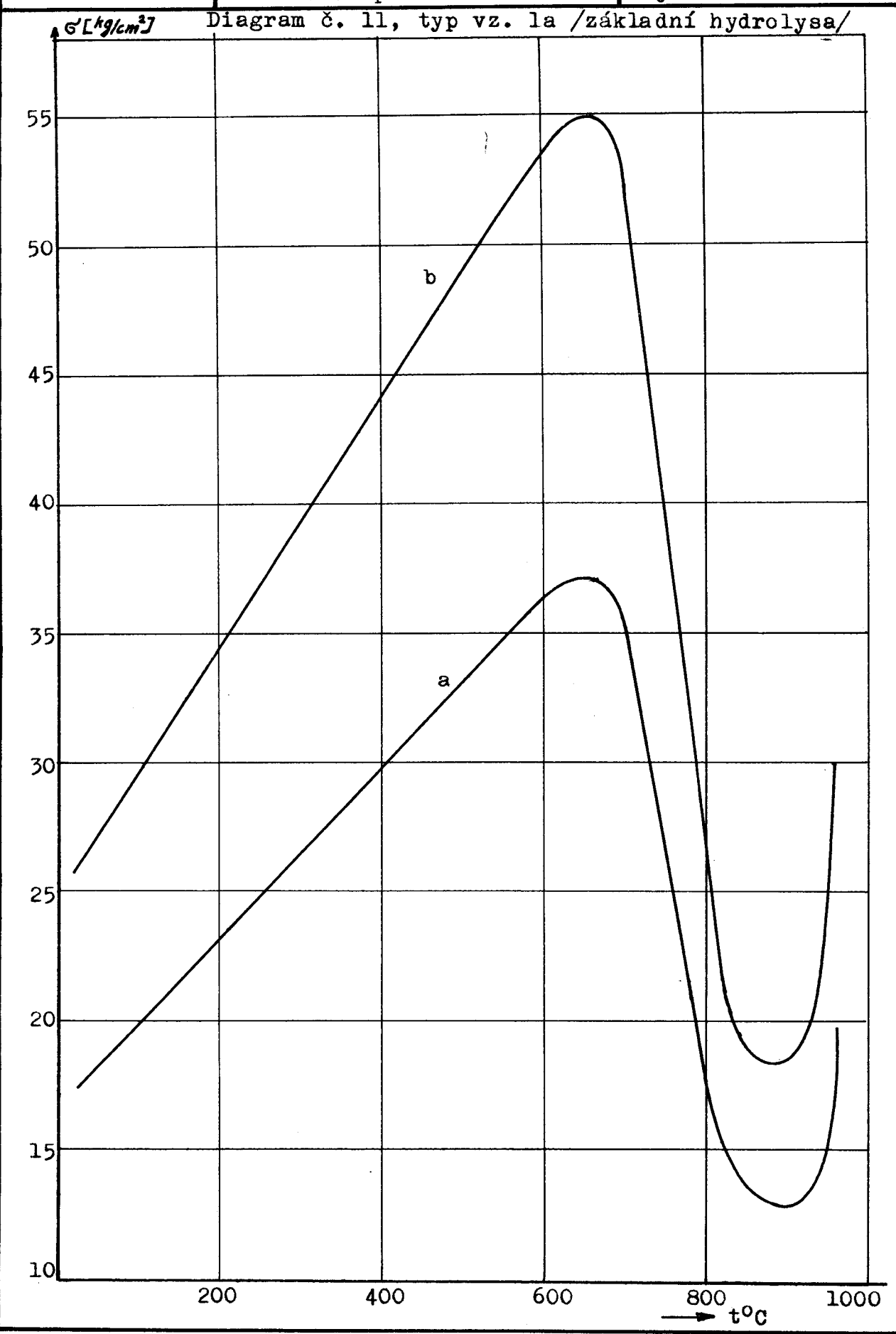
Tabulka č. 11. – typ vz. 19 – základní hydrolyza – šířka 30

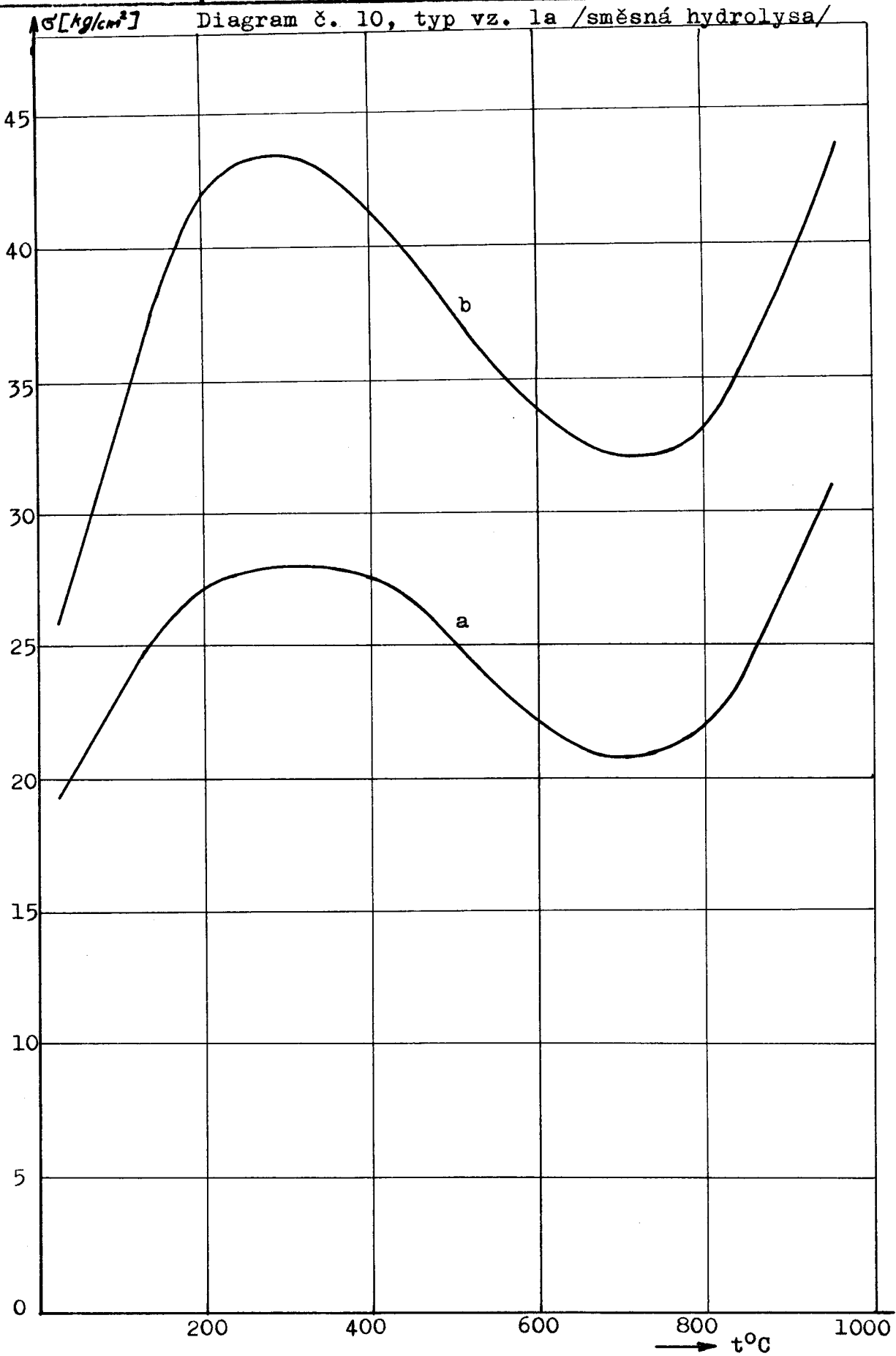
| $t^{\circ}\text{C}$ | b | $h/1$ | $h/2$ | $h/3$ | h | F | F/ko | P | σ_s | h/ko | σ_s/ko | vz | P o z n á m k a |
|---------------------|------|-------|-------|-------|--------|--------|---------------|--------|------------|---------------|----------------------|----|------------------------|
| 20 | 30,4 | 5,4 | 5,5 | 5,6 | 5,5 | 167,20 | 137,79 | 1216,4 | 19,85 | 4,54 | 29,2 | 11 | |
| 20 | 30,0 | 4,3 | 4,4 | 4,3 | 4,33 | 129,00 | 106,42 | 573,2 | 15,3 | 3,57 | 22,4 | 12 | |
| 100 | 30,3 | 3,8 | 3,9 | 4,0 | 3,9 | 121,20 | | | | | | | |
| | 30,0 | 3,9 | 4,0 | 4,9 | 3,96 | 120,0 | | | | | | | |
| 400 | 31,0 | 5,6 | 5,6 | 5,6 | 5,6 | 173,60 | 143,22 | 1948,8 | 30,1 | 4,62 | 44,1 | 7 | 28 mm od středu |
| 550 | 30,2 | 4,4 | 4,4 | 4,3 | 4,33 | 130,29 | 107,41 | 413,6 | 10,9 | 3,57 | 16,1 | 6 | |
| 650 | 30,3 | 4,0 | 4,1 | 4,3 | 4,13 | 124,23 | 102,46 | 1281,2 | 37,2 | 3,40 | 55,0 | 5 | |
| 800 | 30,5 | 5,8 | 5,8 | 5,8 | 5,8 | 176,90 | 145,94 | 1214,5 | 17,7 | 4,78 | 26,2 | 4 | |
| 900 | 30,3 | 4,1 | 4,1 | 4,1 | 4,1 | 124,23 | 102,46 | 426,6 | 12,5 | 3,38 | 18,4 | 3 | |
| 950 | 30,9 | 5,4 | 5,5 | 5,5 | 5,46 | 169,95 | 140,16 | 1297,8 | 21,8 | 4,5 | 31,0 | 2 | |
| 30,0 | 5,2 | 5,2 | 5,0 | 5,13 | 153,0 | | | | | | | | |
| 30,1 | 4,9 | 5,0 | 5,1 | 5,0 | 150,5 | 124,16 | 576,5 | 11,45 | 4,12 | 16,9 | 10 | | |
| 30,0 | 4,7 | 4,7 | 4,7 | 4,7 | 141,00 | 116,32 | 594,3 | 13,4 | 3,88 | 19,7 | 11 | | |
| | | | | | | | | | | | | | 1 Prasklé při vkládání |

Tabelle č. 12. - typ vz. 1a - směsna hydrolyza - šířka 30

| VŠST LIBEREC | Určení vhodné metody mechanických zkoušek skořepin | | | | | | | DP | 137 63 | STR. | 74 | | | | | | | | | | |
|--------------|--|-----|-----|------|--------|--------|-------|-------------------|-----------|------|------|-----|----|---|------|---|----|-------|-------|--------------|--|
| | | | | | | | | 20. ČERVENCE 1963 | | | | | | | | | | | | | |
| | | | | | | | | t°C | b | h/1 | h/2 | h/3 | h | F | F/ko | P | σ₀ | σ'/ko | σ₀/ko | vz. Poznámky | |
| 20 | 29,6 | 3,4 | 3,4 | 3,2 | 3,33 | 97,68 | 80,52 | 378,8 | 20,6 | 2,74 | 25,5 | 25 | | | | | | | | | |
| 20 | 29,8 | 3,5 | 3,2 | 3,1 | 3,26 | 98,34 | 81,09 | 380,8 | 18,1 | 2,69 | 26,4 | 26 | | | | | | | | | |
| 120 | 30,0 | 3,4 | 3,4 | 3,5 | 3,43 | 102,00 | 84,15 | 581,7 | 24,7 | 2,83 | 36,3 | 29 | | | | | | | | | |
| 200 | 29,7 | 3,4 | 3,3 | 3,1 | 3,26 | 98,01 | 80,85 | 574,0 | 27,3 | 2,56 | 43,2 | 28 | | | | | | | | | |
| 400 | 29,6 | 3,3 | 3,2 | 3,2 | 3,23 | 94,72 | 78,11 | 564,7 | 27,5 | 2,64 | 41,0 | 27 | | | | | | | | | |
| 550 | 30,0 | 3,3 | 3,6 | 3,6 | 3,5 | 105,0 | 86,62 | 593,5 | 24,3 | 2,97 | 33,6 | 30 | | | | | | | | | |
| 650 | 29,8 | 3,1 | 3,1 | 3,0 | 3,06 | 92,38 | 76,14 | 399,0 | 21,5 | 2,47 | 32,9 | 31 | | | | | | | | | |
| 800 | 29,8 | 3,4 | 3,5 | 3,3 | 3,40 | 101,32 | 82,57 | | | | | | 32 | | | | | | | | |
| 900 | 29,7 | 2,9 | 3,0 | 3,0 | 3,96 | 118,80 | 98,01 | 318,8 | 13,15 | 2,47 | 26,3 | 34 | | | | | | | | | |
| 29,9 | 3,7 | 3,4 | 3,4 | 3,50 | 104,65 | 86,29 | | | | | | | | | | | | | | | |
| 950 | 29,8 | 3,2 | 3,2 | 3,20 | 95,36 | 78,62 | 146,7 | 6,02 | 2,64 | 10,5 | 36 | | | | | | | | | | |
| 950 | 29,4 | 3,2 | 3,3 | 3,23 | 94,08 | 77,55 | 595,6 | 31,5 | 2,64 | 43,6 | 37 | | | | | | | | | | |
| 930 | 30,3 | 3,4 | 3,7 | 3,60 | 109,08 | 89,92 | 298,3 | 11,4 | 2,97 | 16,7 | 22 | | | | | | | | | | |
| 930 | 30,1 | 3,1 | 3,2 | 3,23 | 96,32 | 79,44 | 123,3 | 6,0 | 2,66 | 8,7 | 23 | | | | | | | | | | |

Praskla při vkládání





| VŠST LIBEREC | Určení vhodné metody mechanických zkoušek skořepin | DP 137/63 STR. 77 | | | | | | | | | | | |
|--|--|-------------------|---------|-----|------|--------|--------|--------|------|------|-------|----|-----------------|
| | | 20. ČERVENCE 1963 | | | | | | | | | | | |
| | | Vojtěch | Rachota | | | | | | | | | | |
| Tabulka č. 13. typ vz. 6 - základní hydrolyza - šířka 30 | | | | | | | | | | | | | |
| t°C | b | h/1 | h/2 | h/3 | h | F | F/ko | P | σ₀ | h/ko | σ₀/ko | vz | P o z n á m k a |
| 20 | 30,4 | 5,6 | 5,8 | 5,9 | 5,76 | 176,32 | 145,44 | 2718,4 | 12,1 | 4,75 | 17,8 | 4 | |
| 20 | 31,0 | 4,8 | 4,9 | 5,0 | 4,9 | 151,90 | 125,31 | 3198,8 | 18,8 | 4,04 | 28,3 | 5 | |
| 20 | 31,0 | 5,0 | 4,9 | 5,0 | 4,96 | 155,00 | 127,87 | 560,0 | 3,29 | 4,09 | 3,86 | 6 | |
| 930 | 30,5 | 5,4 | 5,2 | 5,0 | 5,2 | 158,60 | | | | | | | 1 |
| 930 | 30,3 | 4,4 | 4,5 | 4,4 | 4,43 | 133,32 | 109,97 | 1635,0 | 12,5 | 3,65 | 18,4 | 2 | |
| 930 | 30,3 | 4,6 | 4,6 | 4,6 | 4,6 | 139,38 | 114,92 | 1284,1 | 9,05 | 3,8 | 13,2 | 3 | |

Tabulka č. 14 - typ vz. 6 - směsná hydrolyze - šířka 30

| VŠST LIBEREC | Určení vhodné metody mechanických zkoušek skořepin | DP $\frac{137}{63}$ | | STR. 78 | |
|-----------------|--|---------------------|-----|---------|--------|
| | | 20. ČERVENCE 1963 | | | |
| | | Vojtěch Rachota | | | |
| t _{OC} | b | h/1 | h/2 | h/3 | h |
| 20 | 30,1 | 3,5 | 3,5 | 3,7 | 3,56 |
| 20 | 30,3 | 3,3 | 3,5 | 3,8 | 3,53 |
| 20 | 30,4 | 3,1 | 3,1 | 3,2 | 3,13 |
| 20 | 30,1 | 3,4 | 3,4 | 3,6 | 3,46 |
| | 29,8 | 3,9 | 3,9 | 4,0 | 3,93 |
| 20 | 29,9 | 4,5 | 4,6 | 4,8 | 4,63 |
| 930 | 30,1 | 4,1 | 4,0 | 4,2 | 4,10 |
| 930 | 30,5 | 3,7 | 3,7 | 3,8 | 3,73 |
| 930 | 30,8 | 3,8 | 3,8 | 3,6 | 3,73 |
| 930 | 30,8 | 3,9 | 4,1 | 4,1 | 4,03 |
| | | | | | 123,41 |
| | | | | | 116,22 |
| | | | | | 262,0 |
| | | | | | 110,19 |
| | | | | | 1017,4 |
| | | | | | 11,08 |
| | | | | | 93,06 |
| | | | | | 1200,6 |
| | | | | | 111,78 |
| | | | | | 101,64 |
| | | | | | 1354,3 |
| | | | | | 12,2 |
| | | | | | 3,32 |
| | | | | | 17,9 |
| | | | | | 4 |
| | | | | | 9 |
| | | | | | 5 |
| | | | | | 10 |
| | | | | | 1 |
| | | | | | 2 |
| | | | | | 15,6 |
| | | | | | 3,08 |
| | | | | | 18,5 |
| | | | | | 3 |
| | | | | | 2 |
| | | | | | 24 |
| | | | | | 25 |
| | | | | | 21 |
| | | | | | 22 |
| | | | | | 23 |

Tabulka č. - typ vz. 2 - směsná hydrolyze - šířka 30

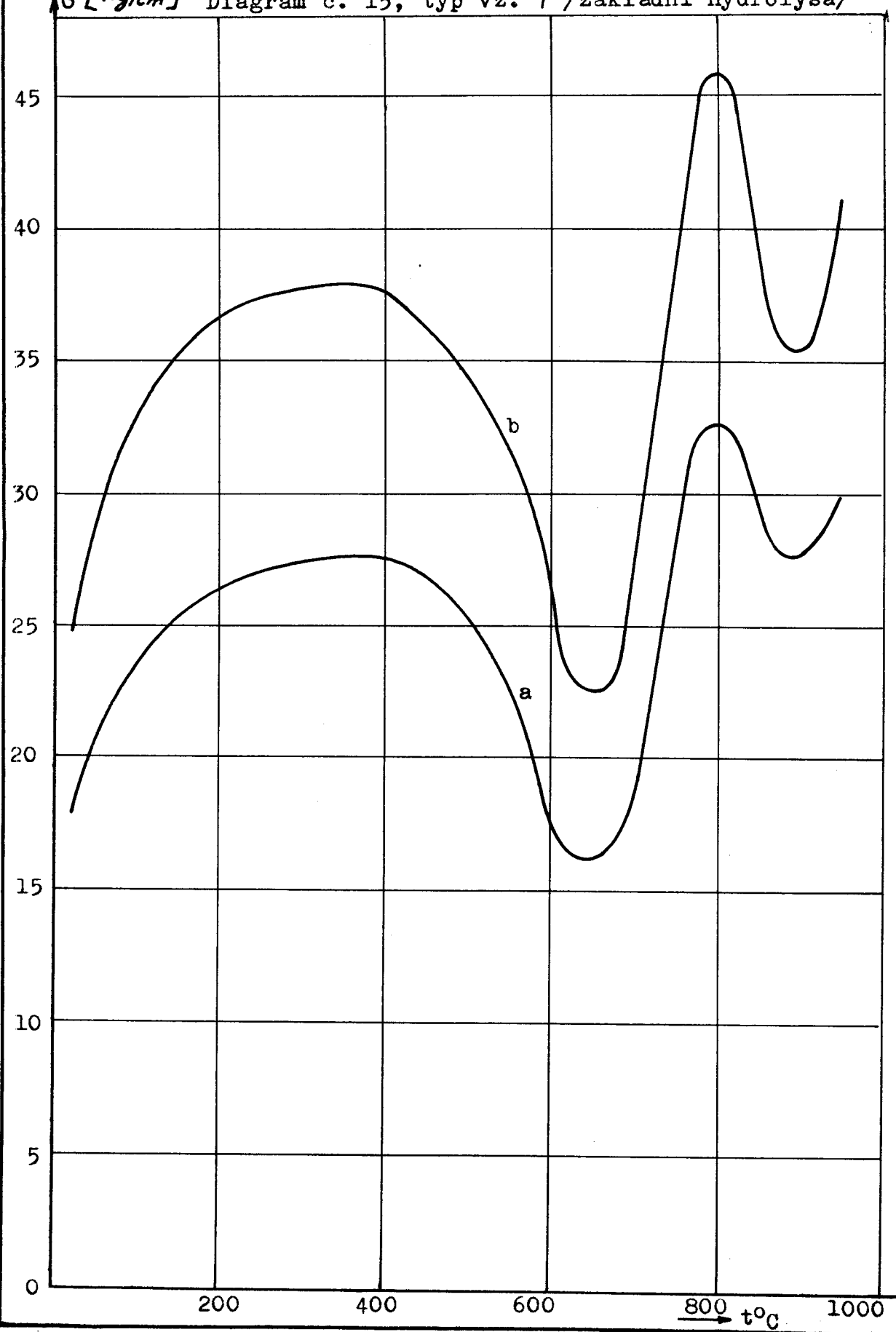
Tabulka č. 15 typ vz. 7 - základní hydrolyza - šířka 25

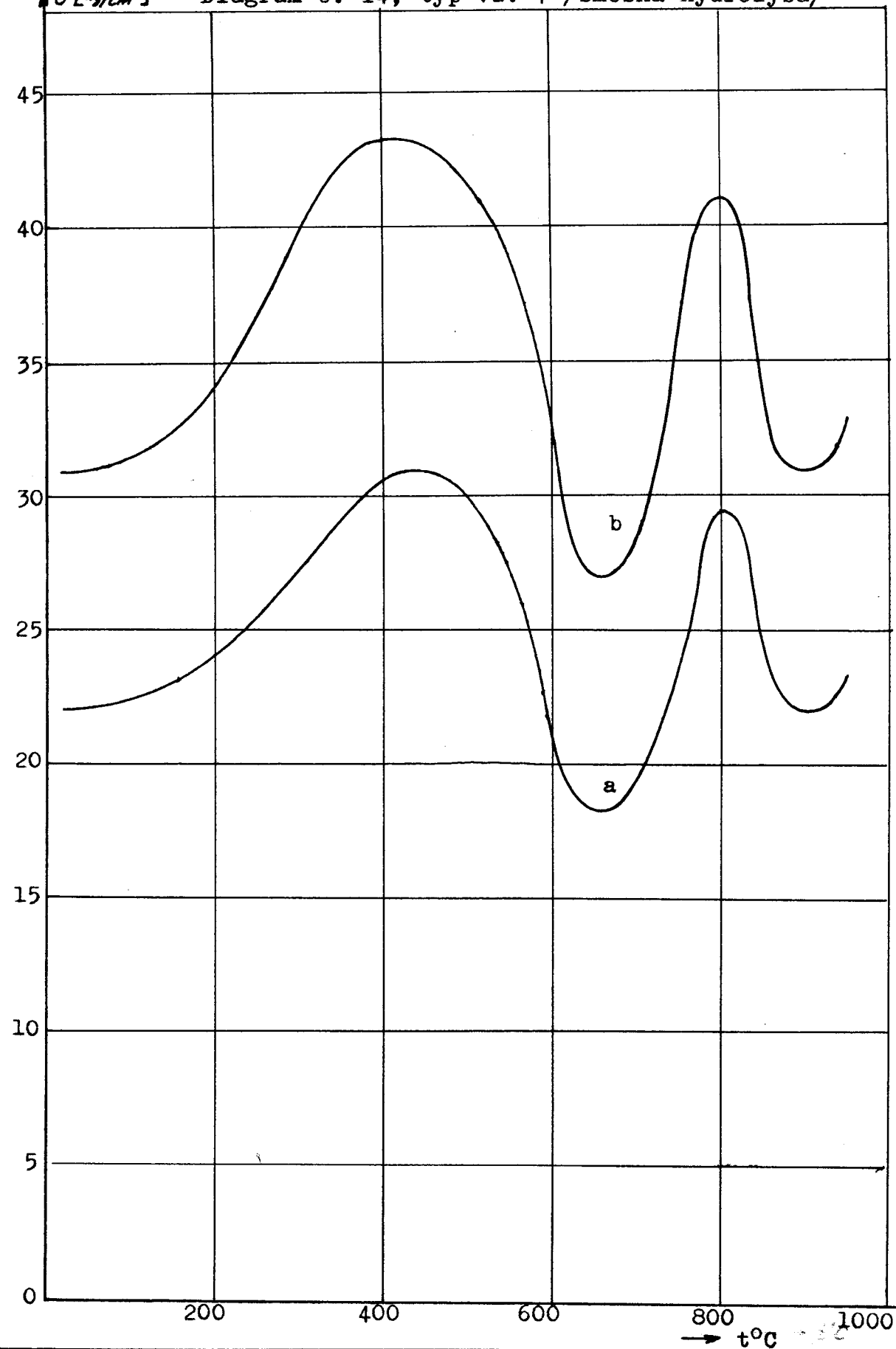
| VŠST LIBEREC | Určení vhodné metody mechanických zkoušek skořepin | | | | | | | DP ¹³⁷ ₆₃ | STR. 79 | | | | | |
|--------------|--|-----|------|--------|--------|--------|--------|---------------------------------|---------|------|------|-------|----------------------|----------------------|
| | t°C | b | h/l | h/2 | h/3 | h | F | F/ko | P | σ₀ | h/ko | σ₀/ko | vz | P o z n á m k e |
| 20 | 24,8 | 5,6 | 5,7 | 5,8 | 5,7 | 141,36 | 120,10 | 863,2 | 16,1 | 4,84 | 22,2 | 13 | | |
| 20 | 24,8 | 5,8 | 5,8 | 5,9 | 5,83 | 143,84 | 122,23 | 1000,0 | 17,8 | 4,95 | 24,7 | 14 | | |
| 20 | 24,6 | 5,0 | 5,0 | 5,0 | 5,0 | 123,00 | 104,55 | 811,5 | 19,8 | 4,25 | 27,4 | 15 | | |
| 100 | 24,9 | 5,0 | 5,0 | 5,2 | 5,06 | 126,99 | 107,86 | 1016,0 | 23,9 | 4,3 | 33,1 | 12 | | |
| 200 | 24,8 | 5,8 | 5,9 | 6,1 | 5,93 | 121,52 | 103,27 | 1522,3 | 26,2 | 5,02 | 36,6 | 7 | | |
| 400 | 24,3 | 5,3 | 5,4 | 5,3 | 5,33 | 128,79 | 109,39 | 1253,8 | 27,25 | 4,54 | 37,5 | 11 | | |
| 550 | 24,7 | 5,8 | 5,7 | 5,6 | 5,7 | 140,79 | 119,59 | 1221,5 | 22,8 | 4,84 | 31,7 | 10 | | |
| 24,9 | 5,4 | 5,5 | 5,6 | 5,5 | 136,95 | | | | | | | | 9 | Praskle při měření |
| 24,5 | 4,9 | 4,9 | 4,9 | 4,9 | 120,05 | | | | | | | | 8 | Praskle při měření |
| 24,4 | 4,8 | 4,9 | 5,0 | 4,9 | 119,56 | | | | | | | | 6 | |
| 25,0 | 5,1 | 5,2 | 5,13 | 127,50 | | | | | | | | | 5 | Praskle při vkládání |
| 650 | 24,5 | 6,2 | 6,2 | 6,4 | 4,26 | 105,35 | 89,50 | 483,3 | 16,39 | 3,63 | 22,5 | 4 | Praskle při ohřívání | |
| 800 | 24,4 | 4,8 | 4,8 | 4,8 | 4,8 | 117,12 | 99,53 | 1235,1 | 32,6 | 4,07 | 45,8 | 3 | | |
| 900 | 24,8 | 5,6 | 5,5 | 5,6 | 5,56 | 138,88 | 117,98 | 1297,8 | 27,2 | 4,73 | 35,1 | 2 | | |
| 950 | 24,7 | 4,9 | 4,9 | 4,9 | 4,9 | 121,03 | 102,85 | 1189,6 | 30,0 | 4,17 | 41,5 | 1 | | |
| 930 | 24,3 | 4,9 | 4,9 | 4,9 | 4,9 | 119,07 | 101,15 | 352,0 | 9,05 | 4,16 | 15,5 | 16 | | |
| 930 | 25,3 | 5,0 | 5,0 | 5,0 | 5,0 | 126,5 | 107,52 | 462,4 | 10,9 | 4,25 | 15,2 | 17 | | |
| 930 | 24,9 | 5,5 | 5,4 | 5,5 | 5,46 | 136,95 | 116,36 | 509,7 | 9,25 | 4,64 | 14,2 | 18 | | |
| 930 | 24,3 | 5,2 | 5,2 | 5,3 | 5,23 | 126,36 | 107,35 | 440,3 | 9,95 | 4,45 | 13,7 | 19 | | |

Tabulka č.16. typ vz. 7 - směšná hydrolyza - šířka 25

| VŠST LIBEREC | Určení vhodné metody mechanických zkoušek skořepin | DP $\frac{1137}{63}$ | | STR. 80 | |
|--------------|--|----------------------|-----|---------|------|
| | | 20. ČERVENCE 1963 | | | |
| | | Vojtěch Rachota | | | |
| t°C | b | h/1 | h/2 | h/3 | h |
| 20 | 24,4 | 5,8 | 5,7 | 5,8 | 5,76 |
| 20 | 24,4 | 6,0 | 6,1 | 6,2 | 6,10 |
| 20 | 24,5 | 5,8 | 5,8 | 5,6 | 5,73 |
| 20 | 24,4 | 5,8 | 5,9 | 5,9 | 5,86 |
| 120 | 24,4 | 5,9 | 6,2 | 6,2 | 6,1 |
| 200 | 24,3 | 5,8 | 5,8 | 5,8 | 5,8 |
| 400 | 24,3 | 5,8 | 5,9 | 5,8 | 5,83 |
| 550 | 24,4 | 5,8 | 5,7 | 5,9 | 5,80 |
| 650 | 24,4 | 6,0 | 6,0 | 6,1 | 6,03 |
| 800 | 24,3 | 5,4 | 5,6 | 5,7 | 5,60 |
| 900 | 24,5 | 5,7 | 5,8 | 5,9 | 5,80 |
| 950 | 24,3 | 5,9 | 5,9 | 6,0 | 5,93 |
| 930 | 24,4 | 5,4 | 5,6 | 5,7 | 5,56 |
| 930 | 24,7 | 5,9 | 6,1 | 6,0 | 6,0 |
| 930 | 24,5 | 5,8 | 6,0 | 5,7 | 5,83 |
| 930 | 24,3 | 5,4 | 5,6 | 5,6 | 5,63 |

| F | F/ko | P | G° | h/ko | G°/ko v z | P o z n á m k e |
|--------|--------|--------|-------|------|-----------|---------------------|
| 141,52 | 120,2 | | | | | 5 |
| 148,84 | 126,4 | 1382,7 | 25,7 | 5,2 | 36,4 | 6 |
| 139,65 | 119,59 | 1165,4 | 21,9 | 5,04 | 30,45 | 7 |
| 143,96 | 122,3 | 1214,4 | 22,1 | 5,0 | 31,5 | 8 |
| 148,84 | 126,4 | 1364,9 | 22,59 | 5,2 | 31,8 | 9 Praskla uprostřed |
| 140,94 | 119,7 | 1309,5 | 24,1 | 4,9 | 34,0 | 10 |
| 140,94 | 117,19 | 1688,0 | 30,6 | 4,92 | 43,1 | 11 |
| 141,52 | 120,23 | 1492,4 | 27,3 | 4,9 | 38,5 | 12 |
| 146,4 | 124,4 | 1070,3 | 18,12 | 3,1 | 27,0 | 13 |
| 136,08 | 115,60 | 1494,5 | 29,4 | 4,7 | 41,5 | 14 |
| 142,10 | 120,7 | 1262,2 | 22,0 | 4,9 | 31,01 | 15 |
| 143,37 | 121,8 | 1322,6 | 23,32 | 5,0 | 32,8 | 16 |
| 130,64 | 111,0 | | | 4,56 | | 7.1 |
| 148,2 | 125,9 | 963,9 | 16,3 | 5,08 | 22,6 | 2 |
| 142,10 | 120,7 | 656,5 | 11,9 | 4,9 | 16,7 | 3 |
| 136,08 | 115,6 | 680,5 | 13,25 | 4,75 | 18,62 | 4 |

$\sigma' [kg/cm^2]$ Diagram č. 15, typ vz. 7 /základní hydrolysa/

$\sigma' [kg/cm^2]$ Diagram č. 14, typ vz. 7 /směsná hydrolysa/

Tabulka č. 17 - typ vz. 8 - základní hydrolyze - šířka 15

| VŠST LIBEREC | Určení vhodné metody mechanických zkoušek skořepin | DP <u>137</u> <u>63</u> STR.83 | | | | | | | | | | | |
|--------------|--|-----------------------------------|-----|------|-------|--------|-------|--------|------|------|----------------|----|-----------------|
| | | 20. ČERVENCE 1963 | | | | | | | | | | | |
| | | Vojtěch Rachota | | | | | | | | | | | |
| t °C | b | h/l | h/2 | h/3 | h | F | F/ko | P | σ° | h/ko | σ./ko | vz | P o z n á m k e |
| 20 | 15,3 | 6,4 | 6,4 | 6,5 | 6,43 | 97,92 | 85,46 | 1170,6 | 27,7 | 5,62 | 36,4 | 3 | |
| 20 | 15,3 | 6,4 | 6,8 | 6,2 | 6,6 | 100,98 | 88,08 | 1007,6 | 22,5 | 5,77 | 29,8 | 4 | |
| 100 | 15,5 | 6,6 | 6,7 | 6,2 | 6,5 | 100,75 | 87,91 | 1251,7 | 28,6 | 5,69 | 37,5 | 5 | |
| 200 | 15,4 | 6,6 | 6,6 | 6,6 | 6,6 | 101,64 | 88,69 | 1530,6 | 36,2 | 5,77 | 44,8 | 6 | |
| 800 | 15,5 | 5,9 | 6,0 | 6,0 | 5,96 | 93,0 | 81,18 | 1106,0 | 30,2 | 5,22 | 39,4 | 7 | |
| 900 | 15,0 | 6,0 | 6,0 | 6,0 | 6,0 | 90,0 | 78,57 | 1313,1 | 36,3 | 5,25 | 47,6 | 8 | |
| 930 | 15,3 | 6,2 | 6,2 | 6,3 | 6,23 | 94,86 | 82,76 | 80,6 | 2,4 | 1 | Skrytá trhline | | |
| 930 | 15,5 | 5,9 | 6,0 | 5,93 | 91,45 | 79,79 | 554,5 | 15,2 | 5,19 | 19,4 | 2 | | |

Tabeulka č. 18. – typ vz. 8 – směsná hydrolyza – šířka 15

| VŠST LIBEREC | Určení mechanických zkoušek skořepin | DP $\frac{137}{63}$ STR. 84 | | | | | | | | | |
|--------------|--------------------------------------|-----------------------------|-----|------|-------|-------|-------|--------|-------|------|-------|
| | | 20. ČERVENCE 1963 | | | | | | | | | |
| t°C | b | h/1 | h/2 | h/3 | h | F | F/ko | P | σ₀ | h/ko | σ₀/ko |
| 20 | 15,3 | 6,2 | 6,2 | 6,1 | 6,16 | 94,86 | 82,12 | 331,3 | 8,55 | 5,43 | 11,0 |
| 20 | 15,2 | 5,1 | 5,1 | 5,0 | 5,60 | 85,12 | 74,29 | 488,7 | 15,3 | 4,87 | 20,7 |
| 20 | 15,3 | 6,5 | 6,5 | 6,4 | 6,43 | 97,92 | 85,46 | 545,2 | 12,9 | 5,70 | 16,4 |
| 15,2 | 5,9 | 5,9 | 5,9 | 5,90 | 89,68 | | | | | | 8,9 |
| 120 | 15,2 | 6,0 | 6,0 | 6,1 | 6,03 | 92,72 | 80,92 | 877,5 | 23,8 | 5,30 | 30,8 |
| 200 | 15,3 | 6,0 | 6,4 | 6,2 | 6,30 | 96,39 | 84,06 | 523,5 | 12,62 | 5,57 | 16,5 |
| 400 | 15,3 | 5,9 | 5,9 | 5,8 | 5,86 | 90,27 | 78,74 | 1048,4 | 29,8 | 5,13 | 38,9 |
| 550 | 15,1 | 5,8 | 5,9 | 5,9 | 5,90 | 89,09 | 79,45 | 790,7 | 22,6 | 5,17 | 29,4 |
| 650 | 15,1 | 6,0 | 6,1 | 6,2 | 6,10 | 92,11 | 84,89 | 569,7 | 15,25 | 5,37 | 19,1 |
| 650 | 15,2 | 5,0 | 5,2 | 5,0 | 5,06 | 77,52 | 67,55 | 657,2 | 25,3 | 4,33 | 34,6 |
| 800 | 15,3 | 5,9 | 6,0 | 5,8 | 5,90 | 90,27 | 78,74 | 970,5 | 27,4 | 5,17 | 36,1 |
| 900 | 14,5 | 5,7 | 5,8 | 5,5 | 5,66 | 82,65 | 74,10 | 337,5 | 10,9 | 4,93 | 14,35 |
| 950 | 15,1 | 5,8 | 6,0 | 5,9 | 5,90 | 89,09 | 77,69 | 383,2 | 10,92 | 5,17 | 14,25 |
| 930 | 15,3 | 5,7 | 5,8 | 5,9 | 5,8 | 88,74 | 77,30 | 266,5 | 7,74 | 5,05 | 10,2 |
| 930 | 15,2 | 5,7 | 6,0 | 5,8 | 5,83 | 88,16 | 71,74 | 243,2 | 7,05 | 5,10 | 9,25 |
| 930 | 15,3 | 6,2 | 6,2 | 6,20 | 94,86 | 82,50 | 290,4 | 7,4 | 5,47 | 9,5 | 8,4 |

Praskle při zekl. do peci
9 mm od středu

VŠST LIBEREC

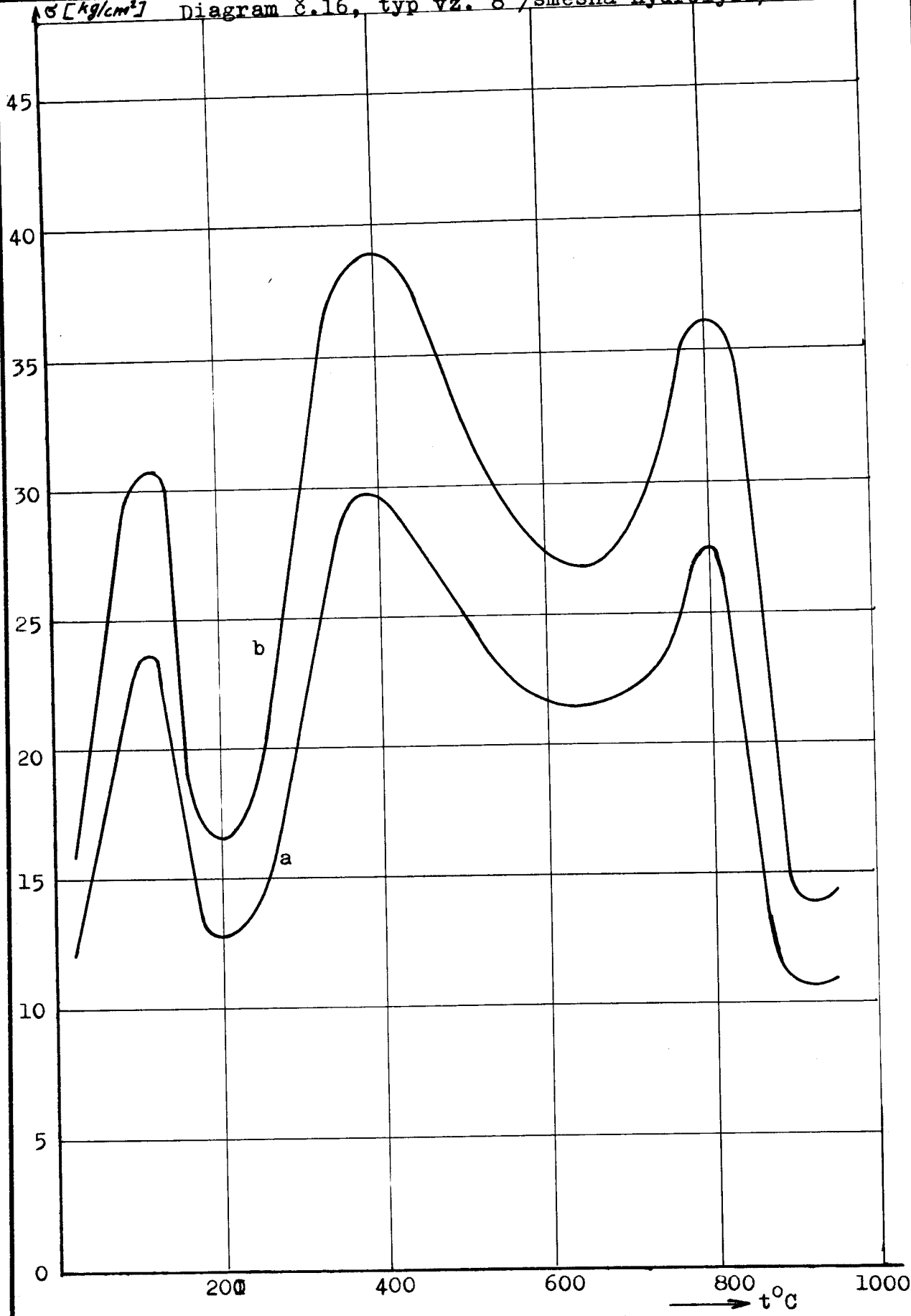
Určení vhodné metody
mechanických zkoušek
skořepin

DP 137-63 STR.85

20. ČERVENCE 1963

Vojtěch Rachota

$\sigma [kg/cm^2]$ Diagram č.16, typ vz. 8 /směsná hydrolysa/



Tabulka č. 19. typ vz. 8 - základní hydrolyze - šířka 30

| VŠST LIBEREC | Určení vhodné metody mechanických zkoušek skořepin | | | | | | | | | | DP 127/63 STR. 86 20. ČERVENCE 1963 Vojtěch Rachota | | | |
|--------------|--|-----|-----|-----|--------|--------|--------|--------|-------|----------------|---|--------------------|----|-----------------|
| | t°C | b | h/1 | h/2 | h/3 | h | F | F/ko | P | G ₀ | h/ko | G ₀ /ko | vz | P o z n á m k e |
| | | | | | | | | | | | | | | |
| 20 | 30,2 | 6,3 | 6,4 | 6,4 | 6,36 | 193,28 | 168,66 | 1768,2 | 21,7 | 5,56 | 28,4 | 10 | | |
| 20 | 30,0 | 6,2 | 6,1 | 6,2 | 6,16 | 186,0 | 162,37 | 1796,7 | 23,7 | 5,28 | 32,3 | 11 | | |
| 20 | 30,5 | 6,4 | 6,5 | 6,3 | 6,4 | 195,30 | 170,40 | 1916,9 | 22,9 | 5,6 | 30,0 | 12 | | |
| 120 | 30,0 | 6,4 | 6,5 | 6,4 | 6,43 | 192,00 | 167,61 | 2233,1 | 27,0 | 5,62 | 35,4 | 8 | | |
| 200 | 30,1 | 6,4 | 6,4 | 6,4 | 6,4 | 192,64 | 168,13 | 2274,5 | 35,2 | 5,6 | 46,2 | 7 | | |
| 400 | 30,2 | 6,6 | 6,5 | 6,6 | 6,56 | 199,32 | 173,98 | 2889,8 | 33,4 | 5,75 | 43,5 | 6 | | |
| 550 | 30,2 | 6,1 | 6,0 | 5,9 | 6,0 | 181,20 | 158,18 | 1813,0 | 24,9 | 5,25 | 32,7 | 5 | | |
| 650 | 30,1 | 6,2 | 6,2 | 6,2 | 186,62 | 162,90 | | | | | | | 9 | |
| | 30,3 | 7,0 | 6,8 | 7,2 | 7,0 | 212,1 | | | | | | | 4 | |
| 800 | 30,4 | 6,9 | 7,0 | 6,9 | 6,93 | 209,76 | 183,06 | 2843,0 | 29,2 | 6,05 | 38,3 | 3 | | |
| 900 | 30,1 | 6,5 | 6,5 | 6,5 | 6,5 | 195,65 | 170,75 | 1597,5 | 18,9 | 5,69 | 24,6 | 2 | | |
| 950 | 30,0 | 6,6 | 6,5 | 6,6 | 6,56 | 198,00 | 172,85 | 2079,2 | 24,1 | 5,80 | 30,9 | 1 | | |
| 930 | 30,4 | 6,3 | 6,4 | 6,2 | 6,3 | 190,52 | 167,17 | 1199,5 | 14,9 | 5,51 | 19,5 | 13 | | |
| 930 | 30,8 | 5,8 | 5,9 | 5,8 | 5,83 | 172,64 | 150,67 | 948,1 | 13,6 | 5,09 | 17,8 | 14 | | |
| 930 | 30,0 | 6,2 | 6,4 | 6,2 | 6,26 | 189,00 | 164,99 | 928,5 | 11,85 | 5,48 | 15,4 | 15 | | |
| 930 | 30,1 | 6,3 | 6,3 | 6,3 | 189,63 | 165,52 | | | | | | | 16 | |

Zpráva týč.
Preskla při ohřívání

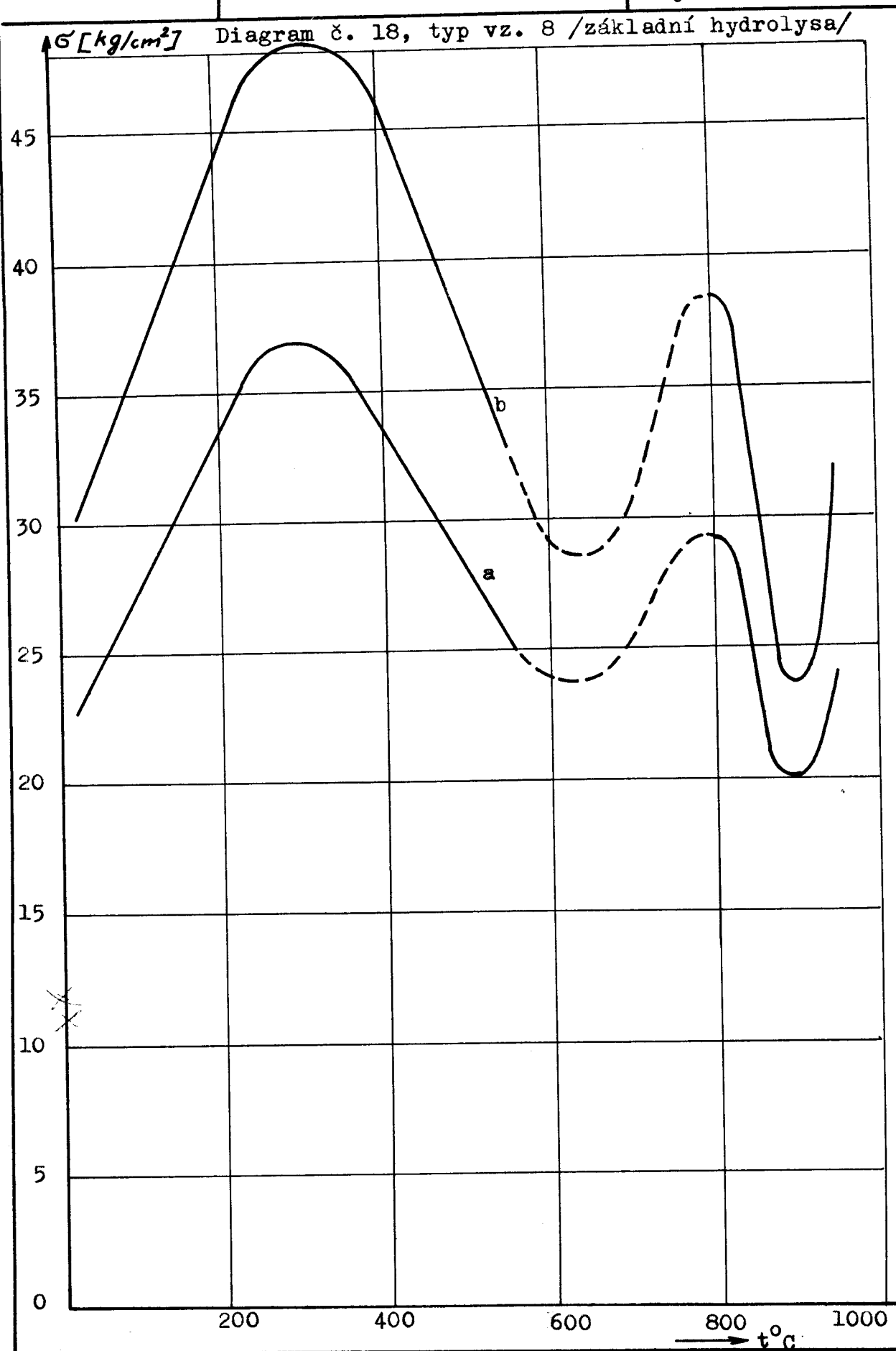
Tebulka č. 20. - typ vz.8 - směsná hydrolyza - šířka 30

| VŠST LIBEREC | Určení vhodné metody mechanických zkoušek skořepin | DP 137 63 | | STR. | | 87 | | | | | | | | |
|--------------|--|-------------------|-----|------|------|-----------------|--------|--------|-------|------|------|------|---------------------|-----|
| | | 20. ČERVENCE 1963 | | | | Vojtěch Rachota | | | | | | | | |
| | | t°C | b | h/1 | h/2 | h/3 | h | F | F/ko | P | σ' | h/ko | G'/ko | vz. |
| 20 | 30,1 | 5,8 | 5,8 | 5,9 | 5,83 | 174,58 | 152,33 | 1276,0 | 18,7 | 4,95 | 25,9 | 8,5 | | |
| 20 | 30,2 | 5,4 | 5,6 | 5,6 | 5,53 | 166,10 | 145,00 | 1381,2 | 22,5 | 4,70 | 31,1 | 8,7 | | |
| 20 | 30,2 | 6,9 | 6,7 | 6,7 | 6,76 | 205,36 | 179,22 | 1476,5 | 15,7 | 5,75 | 22,2 | 8,8 | | |
| 160 | 30,0 | 5,4 | 5,4 | 5,6 | 5,46 | 165,00 | 144,0 | 1374,2 | 23,1 | 4,64 | 32,0 | 8,9 | | |
| 200 | 30,1 | 6,0 | 6,0 | 6,0 | 6,00 | 180,6 | 158,66 | 1637,2 | 22,8 | 5,10 | 31,3 | 810 | | |
| 400 | 30,0 | 5,8 | 6,0 | 6,2 | 6,00 | 180,0 | 157,40 | 2022,0 | 28,1 | 5,10 | 38,5 | 8.11 | Není zcela vyplněno | |
| 550 | 30,0 | 5,2 | 5,2 | 5,2 | 5,20 | 156,0 | 136,18 | 1239,0 | 22,9 | 4,42 | 31,7 | 8.12 | | |
| 650 | 30,0 | 5,5 | 5,5 | 5,5 | 5,50 | 165,0 | 143,04 | 1469,5 | 24,2 | 4,67 | 33,6 | 8.13 | | |
| 800 | 30,2 | 6,1 | 6,2 | 6,1 | 6,13 | 184,22 | 160,80 | 2479,5 | 32,7 | 5,21 | 47,0 | 8.14 | | |
| 900 | 30,3 | 5,8 | 5,8 | 5,4 | 5,66 | 172,27 | 150,76 | 2151,5 | 29,2 | 4,82 | 45,6 | 8.15 | | |
| 950 | 30,0 | 5,5 | 5,5 | 5,5 | 5,50 | 165,0 | 143,04 | 2272,3 | 37,4 | 4,67 | 52,0 | 8.16 | | |
| 930 | 30,2 | 6,0 | 5,8 | 5,9 | 5,90 | 178,18 | 154,48 | 546,5 | 7,8 | 5,01 | 10,8 | 8.1 | | |
| 930 | 30,4 | 5,5 | 5,5 | 5,3 | 5,43 | 164,16 | 142,45 | 935,5 | 15,65 | 4,61 | 22,7 | 8.3 | | |
| 930 | 30,0 | 5,8 | 5,7 | 5,8 | 5,76 | 174,0 | 151,90 | 862,2 | 12,7 | 4,90 | 17,9 | 8.4 | | |
| | | | | | | | | | | | | | | |

VŠST LIBEREC

Určení vhodné metody
mechanických zkoušek
skořepin

DP 63 137 STR. 88
20. ČERVENCE 1963
Vojtěch Rachota



VŠST LIBEREC

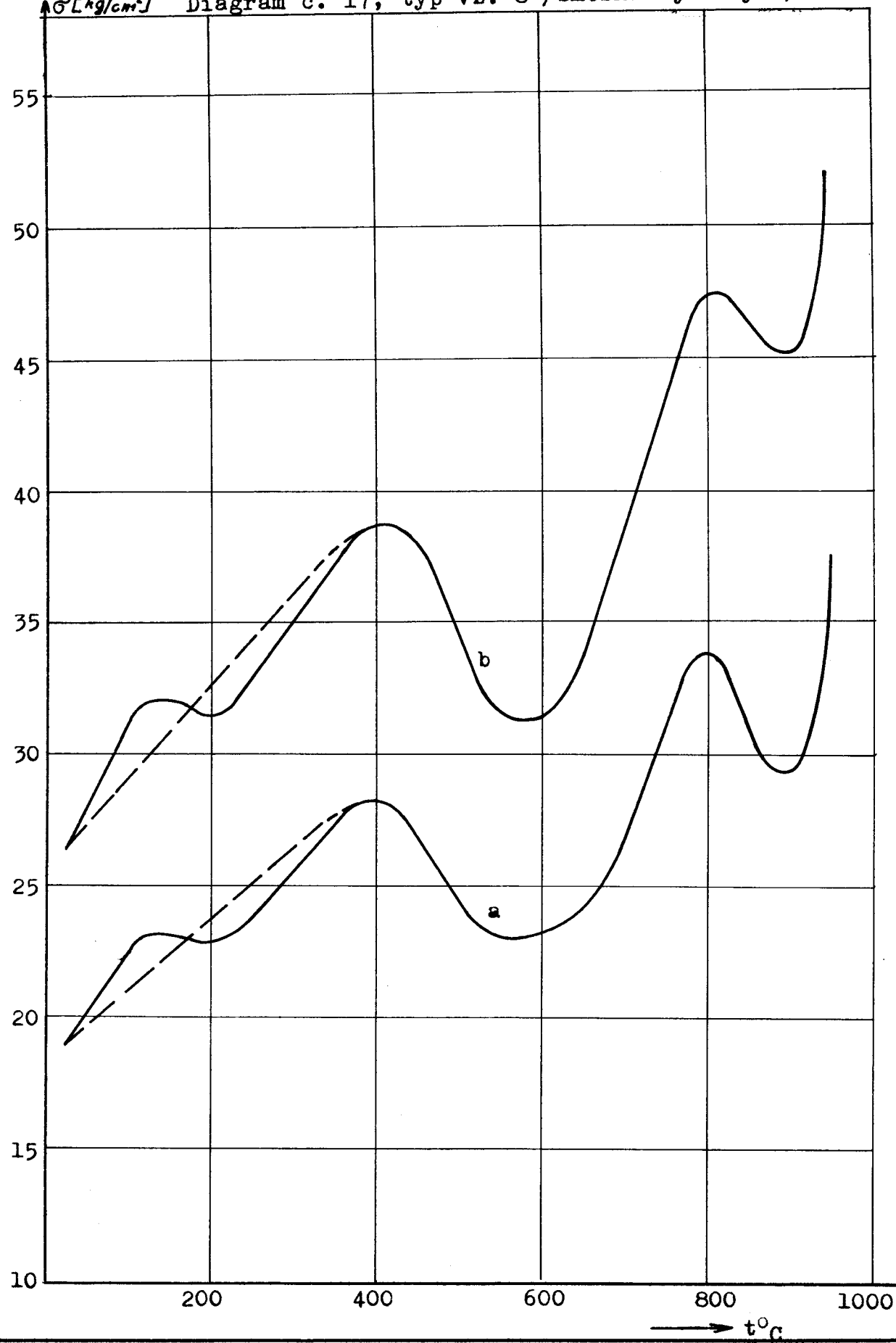
Určení vhodné metody
mechanických zkoušek
skořepin

DP -173- 63 STR. 89

20. ČERVENCE 1963

Vojtěch Rachota

Diagram č. 17, typ vz. 8 /směsna hydrolysa/



Tabulka č. 21. - typ vz. 8 - základní hydrolyza - šířka 45

| VŠST LIBEREC | Určení vhodné metody mechanických zkoušek skořepin | DP ¹³⁷ ₆₃ | | STR. 90 | | | | | | |
|--------------|--|---------------------------------|-----|-----------------|------|--------|--------|-------|----|------------------------------|
| | | 20. ČERVENCE 1963 | | Vojtěch Rachota | | | | | | |
| | | t°C | b | h/l | h/2 | h/3 | h | F | P | G° |
| 20 | 45,5 | 6,7 | 6,8 | 6,7 | 6,73 | 304,85 | 2243,3 | 16,5 | 10 | |
| 20 | 45,1 | 6,1 | 6,3 | 6,4 | 6,26 | 284,13 | 1427,0 | 12,15 | 11 | |
| 20 | 45,2 | 6,5 | 6,3 | 6,4 | 6,4 | 289,28 | 2854,5 | 23,2 | 12 | |
| 120 | 45,1 | 6,4 | 6,5 | 6,6 | 6,5 | 293,15 | 2925,5 | 23,1 | 8 | |
| 200 | 45,0 | 6,7 | 6,8 | 6,8 | 6,76 | 306,0 | 3532,5 | 25,8 | 7 | |
| 400 | 45,5 | 6,0 | 6,3 | 6,2 | 6,16 | 282,10 | 3528,5 | 31,0 | 9 | |
| 400 | 45,3 | 6,2 | 6,2 | 6,2 | 6,2 | 280,86 | | | | 6 Praskla při zeklácení |
| 550 | 45,6 | 5,6 | 5,6 | 5,7 | 5,63 | 255,36 | 2956,5 | 31,0 | 5 | |
| 650 | 45,1 | 6,5 | 6,6 | 6,6 | 6,56 | 297,56 | 2612,5 | 20,0 | 4 | |
| 800 | 45,2 | 6,8 | 6,7 | 6,9 | 6,8 | 307,36 | 596,7 | 4,29 | 3 | |
| 900 | 45,5 | 5,8 | 5,8 | 5,9 | 5,83 | 263,90 | 3029,3 | 29,2 | 2 | |
| 950 | 45,6 | 5,9 | 6,0 | 5,9 | 5,93 | 269,04 | 1250,3 | 11,8 | 1 | |
| 930 | 45,5 | 6,2 | 6,0 | 6,2 | 6,13 | 277,55 | | | | 13 Praskla podélh při vypal. |
| 930 | 45,4 | 6,2 | 6,2 | 6,2 | 6,2 | 281,48 | | | | 14 Praskla při vypalování |
| 930 | 45,4 | 6,3 | 6,2 | 6,2 | 6,26 | 285,02 | 1207,2 | 10,4 | 15 | |
| 930 | 45,7 | 5,9 | 5,9 | 5,9 | 5,9 | 268,63 | 1123,7 | 10,6 | 16 | |

Tabulka č. 22. - typ. vz. 8 - směsná hydrolyza - šířka 45

| | | DP 137 63 | | STR. 91 | | | | | |
|------|------|-------------------|-----|---------|--------|--------|--------|----------------------|------|
| | | 20. ČERVENCE 1963 | | | | | | | |
| | | Vojtěch Rachota | | | | | | | |
| t°C | b | h/l | h/2 | h/3 | h | | | | |
| 20 | 45,0 | 5,9 | 5,9 | 5,5 | 5,76 | 261,0 | 8.5 | Praskle při vyžívání | |
| 20 | 45,0 | 5,7 | 5,7 | 5,7 | 5,7 | 256,5 | 8.6 | | |
| 20 | 45,1 | 5,9 | 5,8 | 5,7 | 5,80 | 261,58 | 8.7 | | |
| 20 | 45,3 | 5,6 | 5,5 | 5,4 | 5,50 | 249,15 | 8.8 | | |
| 160 | 45,2 | 5,8 | 5,9 | 5,5 | 5,73 | 257,64 | 8.9 | | |
| 210 | 45,2 | 5,6 | 5,4 | 5,3 | 5,4 | 244,08 | 1543,2 | 17,55 | 8.10 |
| 400 | 45,2 | 6,4 | 6,5 | 6,4 | 6,4 | 289,28 | 1241,2 | 10,09 | 8.11 |
| 550 | 45,0 | 6,4 | 6,6 | 6,6 | 6,46 | 292,50 | 3097,0 | 25,1 | 8.12 |
| 650 | 45,1 | 7,2 | 7,3 | 7,1 | 7,20 | 324,72 | 2542,7 | 16,25 | 8.13 |
| 800 | 45,0 | 5,2 | 5,2 | 5,2 | 5,20 | 234,0 | 3085,5 | 41,2 | 8.14 |
| 900 | 45,2 | 6,0 | 6,1 | 6,0 | 6,03 | 271,2 | 975,7 | 8,9 | 8.15 |
| 45,1 | 6,3 | 6,4 | 6,2 | 6,30 | 284,13 | | | | 8.16 |
| 950 | 45,2 | 6,3 | 6,4 | 6,6 | 6,43 | 289,28 | 622,3 | 4,99 | |
| 930 | 45,2 | 5,9 | 6,1 | 6,2 | 6,06 | 275,72 | | | 8.1 |
| 930 | 45,5 | 5,3 | 5,3 | 5,4 | 5,33 | 241,15 | 964,0 | 11,02 | 8.2 |
| 930 | 45,2 | 5,8 | 6,0 | 6,2 | 6,10 | 271,2 | 1044,7 | 9,54 | 8.3 |

Určení vhodné metody
mechanických zkoušek
skořepin

VŠST LIBEREC

Praskla při manipulaci

Praskla při vkládání

Okujené zatěž. tyčinky

Praskla při vyžívání
11 mm od středu

Praskla při manipulaci

VŠST LIBEREC

Určení vhodné metody

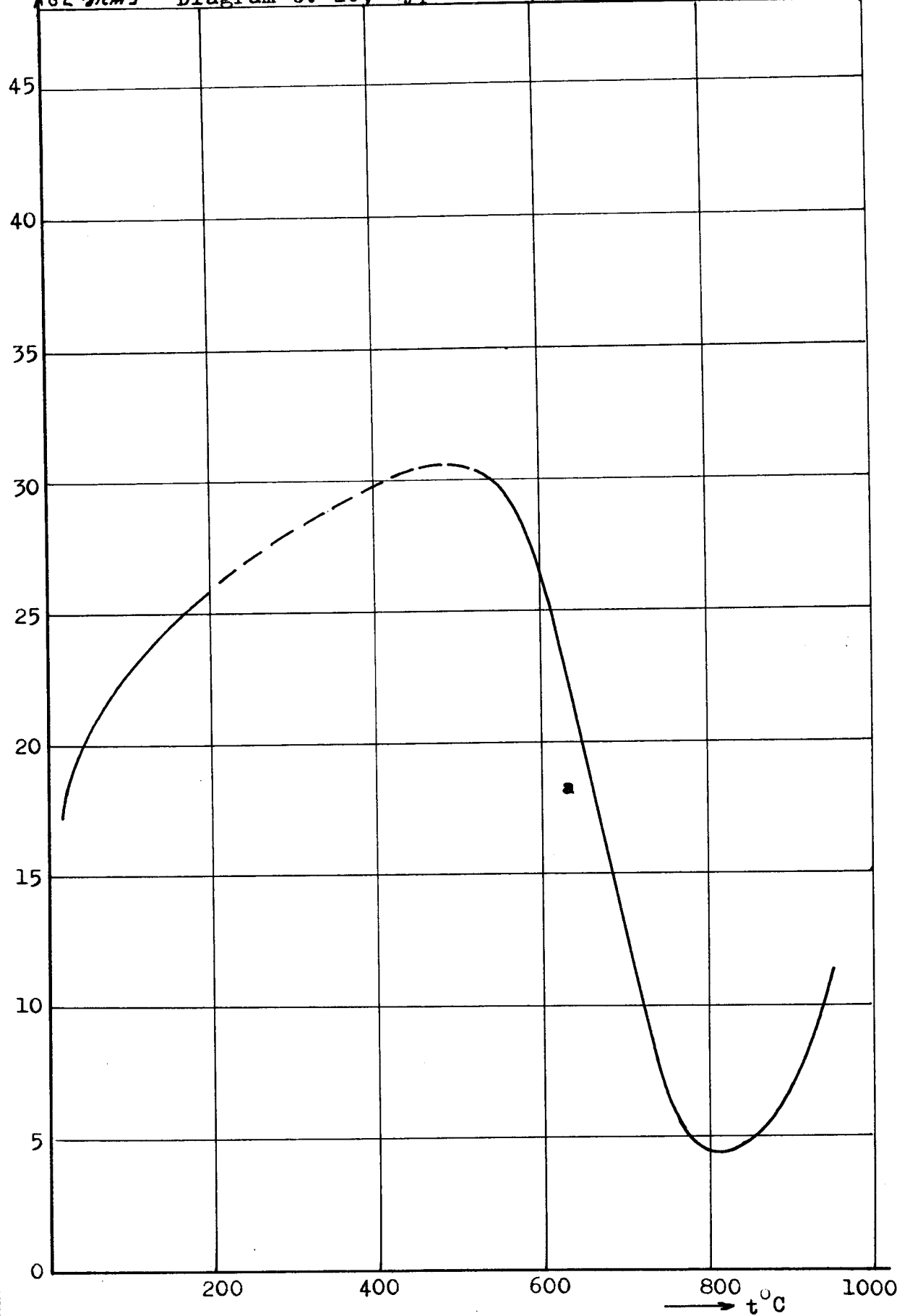
mechanických zkoušek skořepin

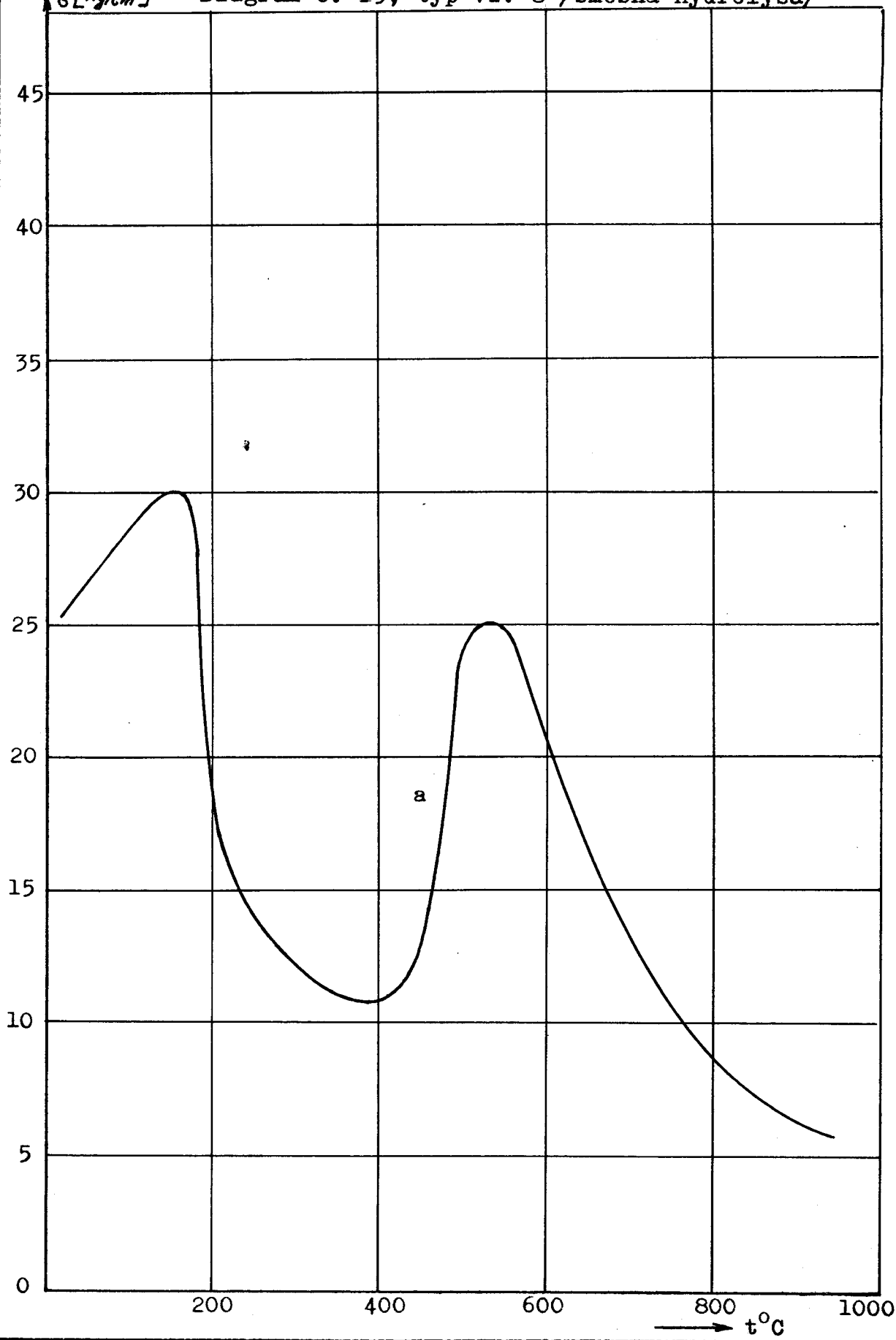
DP 137
53 STR, 92

20. ČERVENCE 1963

Vojtěch Rachota

Diagram č. 20, typ vz. 8 /základní hydrolyza/



$\sigma [kg/cm^2]$ Diagram č. 19, typ vz. 8 /směsná hydrolysa/

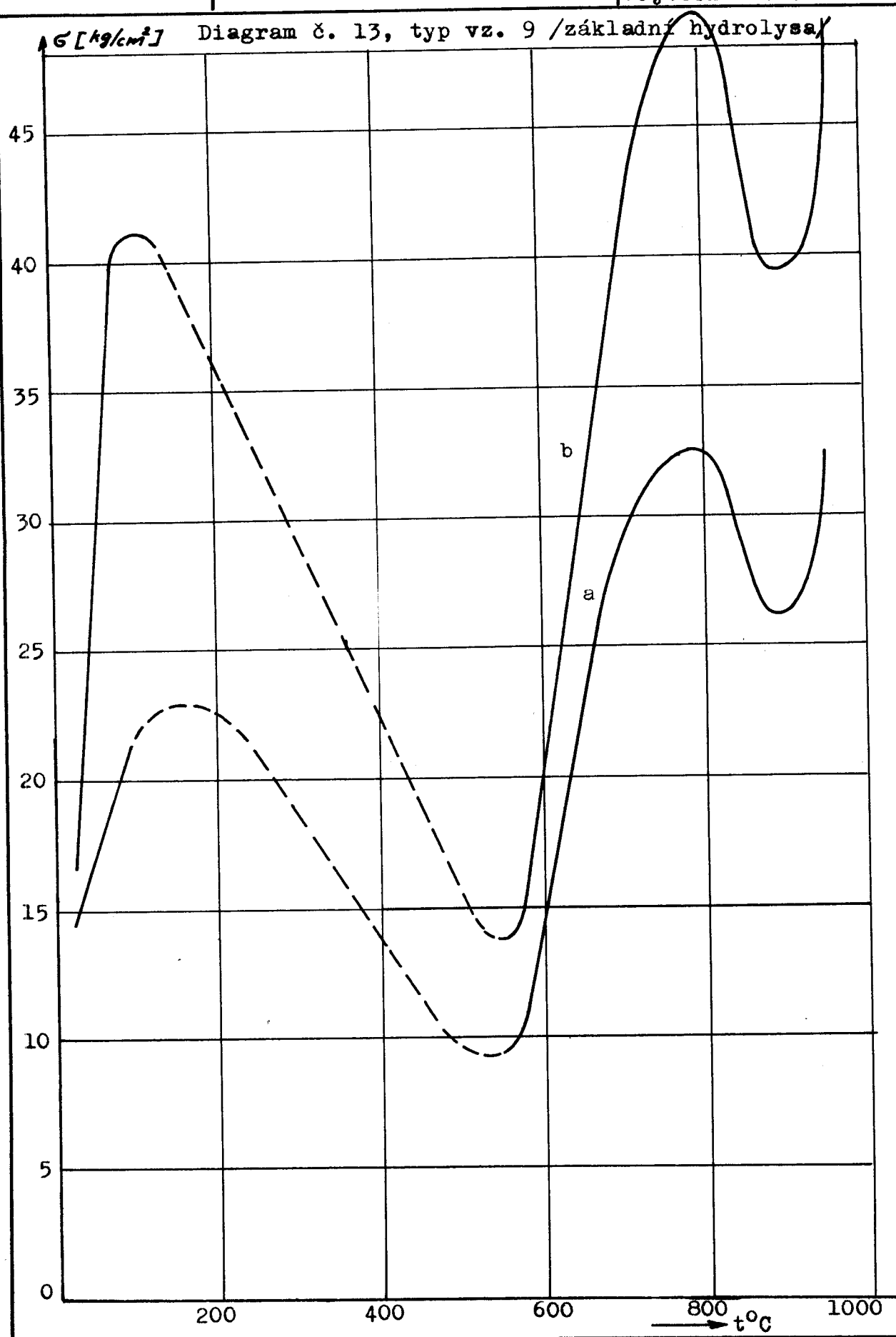
Tabulka č. 23. typ vz. 9 - základní hydrolyza - šířka 25

| VŠST LIBEREC | Určení vhodné metody mechanických zkoušek skořepin | | DP ¹⁵⁷ ₆₃ | | STR. 94 | | | | | | | | | |
|--------------|--|-----|---------------------------------|------|-----------------|--------|--------|--------|-------|------|----|------------------------|------|----|
| | | | 20. ČERVENCE 1963 | | Vojtěch Rachota | | | | | | | | | |
| | | | t°C | b | h/1 | h/2 | H/3 | h | F | F/ko | P | σ' | h/ko | vz |
| 20 | 26,3 | 3,3 | 3,4 | 3,6 | 3,43 | 89,42 | 72,77 | 287,3 | 10,48 | 2,79 | 5 | | | |
| 20 | 26,9 | 4,1 | 4,0 | 4,2 | 4,1 | 110,29 | 89,70 | 779,4 | 19,3 | 3,34 | 6 | | | |
| 20 | 26,4 | 5,0 | 5,1 | 5,0 | 5,03 | 132,0 | 107,44 | 575,8 | 9,7 | 4,1 | 7 | | | |
| 26,5 | 3,9 | 4,2 | 4,0 | 4,03 | 106,0 | | | | | | 8 | | | |
| 200 | 26,4 | 4,7 | 4,4 | 4,5 | 4,53 | 118,80 | 95,70 | 958,8 | 19,9 | 3,69 | 9 | | | |
| 26,6 | 4,6 | 4,7 | 4,6 | 4,63 | 122,36 | | | | | | 10 | Presklo při men.v peci | | |
| 550 | 26,4 | 4,5 | 4,6 | 4,4 | 4,5 | 118,80 | 95,70 | 440,8 | 9,25 | 3,67 | 11 | | | |
| 650 | 25,3 | 4,5 | 4,3 | 4,5 | 4,43 | 111,32 | 90,59 | 1067,3 | 24,1 | 3,61 | 12 | Vypuklý průřez | | |
| 800 | 26,0 | 4,0 | 4,0 | 3,8 | 3,93 | 101,40 | 82,53 | 1163,5 | 32,6 | 3,2 | 13 | | | |
| 900 | 26,7 | 4,5 | 4,6 | 4,7 | 4,6 | 122,82 | 99,95 | 1303,8 | 26,0 | 3,75 | 14 | | | |
| 950 | 25,7 | 3,9 | 4,0 | 4,1 | 4,0 | 102,8 | 83,67 | 1188,1 | 32,3 | 3,26 | 15 | | | |
| 100 | 25,3 | 4,5 | 4,3 | 4,5 | 4,43 | 111,32 | 90,59 | 1200,0 | 27,0 | 3,61 | 16 | | | |
| 400 | 26,6 | 4,5 | 4,6 | 4,7 | 4,60 | 122,36 | 99,55 | 1157,5 | 22,4 | 3,75 | 17 | | | |
| 930 | 26,8 | 4,4 | 4,3 | 4,2 | 4,3 | 95,24 | 77,49 | 507,1 | 11,5 | 3,5 | 1 | | | |
| 930 | 26,0 | 4,3 | 4,2 | 4,2 | 4,23 | 109,20 | 88,88 | | | | 2 | Prasklo při vypel. | | |
| 930 | 25,9 | 4,7 | 4,7 | 4,70 | 121,73 | 99,06 | 518,3 | 10,6 | 3,83 | 3 | | | | |
| 930 | 26,8 | 4,3 | 4,1 | 4,5 | 4,3 | 115,24 | 93,77 | 528,3 | 12,0 | 3,5 | 4 | | | |

Tabulka č. 24. typ vz. 9 - směsná hydrolyza - šířka 25

DP 127 STR. 95
63
20. ČERVENCE 1963
Vojtěch Rachota

| $t^{\circ}\text{C}$ | b | h/l | h/2 | h/3 | h | F | F/ko | P | σ' | h/ko | σ'_{ko} | vz | P o z n á m k a |
|---------------------|------|-----|-----|-----|------|--------|--------|--------|-----------|------|-----------------------|----|-----------------|
| 20 | 25,4 | 3,8 | 3,7 | 3,8 | 3,76 | 96,52 | 78,60 | 644,3 | 26,98 | 3,06 | 30,3 | 4 | |
| 20 | 25,6 | 3,9 | 3,8 | 3,9 | 3,86 | 99,84 | 80,23 | 219,3 | 8,61 | 3,15 | 19,61 | 5 | |
| 20 | 25,6 | 4,7 | 4,7 | 4,8 | 4,73 | 122,88 | 99,95 | 420,0 | 11,05 | 3,87 | 12,3 | 17 | |
| 100 | 26,0 | 4,6 | 4,6 | 4,5 | 4,56 | 108,56 | 92,10 | 996,1 | 27,6 | 3,80 | 29,9 | 15 | |
| 200 | 25,9 | 4,4 | 4,6 | 4,6 | 4,53 | 116,55 | 94,83 | 725,6 | 18,9 | 3,69 | 20,4 | 14 | |
| 400 | 25,8 | 4,8 | 4,8 | 4,7 | 4,76 | 128,64 | 104,68 | 319,3 | 8,2 | 3,88 | 9,25 | 13 | |
| 550 | 25,7 | 4,9 | 4,8 | 4,9 | 4,86 | 125,93 | 102,48 | 868,5 | 21,4 | 3,96 | 25,2 | 12 | |
| 650 | 26,2 | 3,7 | 3,8 | 3,8 | 3,76 | 99,56 | 80,99 | 906,1 | 38,6 | 3,06 | 41,5 | 11 | |
| 800 | 26,0 | 4,1 | 3,9 | 4,0 | 4,0 | 104,00 | 84,65 | 648,8 | 23,3 | 3,26 | 26,4 | 10 | |
| 900 | 25,6 | 4,0 | 4,0 | 4,0 | 4,0 | 102,40 | 83,35 | 738,5 | 23,9 | 3,26 | 27,0 | 8 | |
| 950 | 25,8 | 4,4 | 4,5 | 4,2 | 4,4 | 113,52 | 90,65 | 1061,2 | 31,9 | 3,58 | 36,1 | 7 | |
| 930 | 25,7 | 4,1 | 4,5 | 4,2 | 4,26 | 109,48 | | | | | | | |
| 930 | 26,0 | 4,0 | 3,7 | 3,6 | 3,76 | 97,76 | 78,52 | 227,9 | 9,3 | 3,06 | 10,5 | 2 | |
| 930 | 24,5 | 4,6 | 4,7 | 4,9 | 4,73 | 115,88 | 89,45 | 427,3 | 12,15 | 3,86 | 13,15 | 3 | |



VŠST LIBEREC

Určení vhodné metody
mechanických zkoušek
s k o ř e p i n

DP 137-
63 STR. 97
20. ČERVENCE 1963
Vojtěch Rachota

$\sigma [kg/cm^2]$

Diagram č. 12, typ vz. 9 /směsná hydrolysa/

45

40

35

30

25

20

15

10

5

0

200 400 600 800 1000 $t^{\circ}C$

b

a

| | | |
|--------------|--|--|
| VŠST LIBEREC | Určení vhodné metody mechanických zkoušek skořepin | DP 137 63 STR. 98 20. ČERVENCE 1963 Vojtěch Rachota |
|--------------|--|--|

Z uvedených diagramů je patrno, že pro určitý typ vzorků je charakter průběhu křivek pevnosti v ohybu v závislosti na teplotě podobný pro oba technologické postupy obalování./Směsná a základní hydrolyza./

Z tohoto důvodu jsou na některých diagramech křivky doplněny čárkovaně, protože nebylo možno tyto hodnoty naměřit pro nedostatek vzorků. Naproti tomu, jestliže některé hodnoty vycházely daleko mimo předpokládaný průběh křivky, byla tato hodnota znova prověřena.

U všech diagramů hodnoty pevnosti v ohybu keramických skořepin u směsné hydrolyzy jsou vyšší než u základní hydrolyzy. Obrácený úkaz se projevil jedině u typu vzorku č. 8 - šířka 30 mm.

Dále je na diagramech patrný vzrůst pevnosti se zvyšující se teplotou. Maximální hodnoty pevnosti jsou podle typů vzorků při různých teplotách a jsou poněkud posunuty u směsné hydrolyzy k nižším teplotám oproti základní hydrolyze.

Postup výroby destiček se stíranými okraji dával předpoklad pro zvětšení pevnosti, jelikož vrstvy keramické skořepiny se vytvářely i na bocích forem. Z naměřených hodnot se však ukázalo, že tento předpoklad nebyl splněn a vliv uložení vrstev ve zkušební destičce se neprojevil.

Při teplotě 573°C přechází křemen v křemen. Tato přeměna je doprovázen zvětšením objemu

| | | |
|--------------|--|--|
| VŠST LIBEREC | Určení vhodné metody mechanických zkoušek skořepin | DP 137 STR. 99 63 20. ČERVENCE 1963 Vojtěch Rachota |
|--------------|--|--|

/0,86 - 1,3 %/, při tom dochází ke štěpení zrn, což může způsobit trhlinku v keramické skořepině a tím i pokles pevnosti.

Při teplotě 870°C dochází k další přeměně a to ku změně křemene v tridimit. /3/

Na tyto znany, které mají vliv na pevnost keramických skořepin reagují typy vzorků různě.

Z provedených zkoušek se ukazuje, že na citlivost změn pevnosti zkoušeného materiálu, při zkouškách, má vliv šířka destičky. U destiček typu vz. 0, 1, la, šířky 15 - 30 mm vycházejí křivky poměrně ploché a přechody jsou pozvolné. Poněkud citlivější jsou destičky typu vz. 7, 8. Jako nejcitlivější pro zkoušení keramických skořepin ohybem z provedených zkoušek se jeví typ vz. č. 9.

2.4. Měření průhybu.

Při zkouškách skořepinových destiček v ohybu byl pozorován dosti značný průhyb. Proto jsem zjišťoval velikost průhybu a deformační schopnost. K měření byl nejprve navržen přípravek s indikátorovými hodinkami /obr. č. 24/, kterými by se měřil při postupném zatěžování průhyb destičky. Indikátorové hodinky však proto měření byly nevhodné, protože sílá pružiny s průhybem nebyla v přímkové závislosti.

Místo měření průhybu indikátorovými hodinkami bylo použito zavěšeného výlečku ve středu

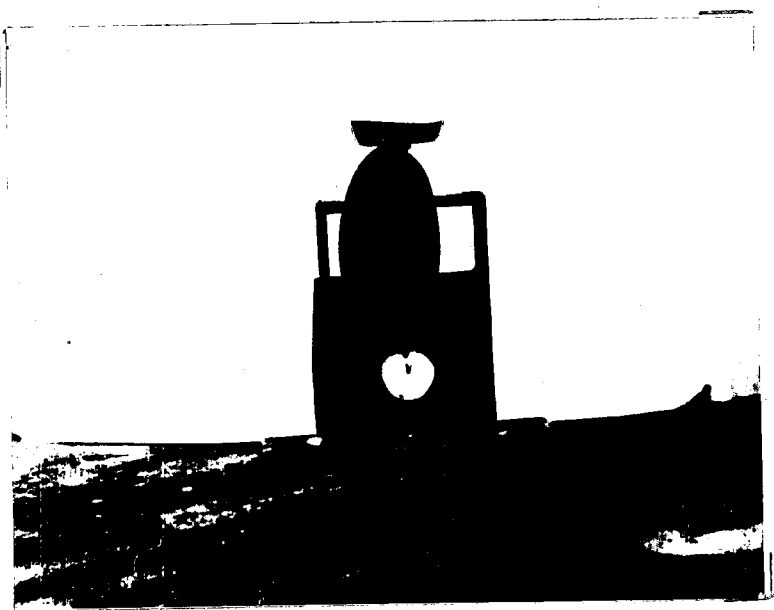
| | | |
|--------------|--|---|
| VŠST LIBEREC | Určení vhodné metody mechanických zkoušek skořepin | DP 137 STR. 100 ₆₃ 20. ČERVENCE 1963 |
|--------------|--|---|

destičky na měděném drátku 0,15 mm, a biologického mikroskopu sklopeného o 90° /místo okuláru byla namontována hlavice Hanemannova mikrotvrdoměru - celkové zvětšení $90 \times$ /. Mikroskop je zaměřen na spodní hranu zavěšeného válečku. Aby se odstranilo kývání válečku byl umístěn s dostatečnou vůlí do skleněné trubličky. Stupnice na hlavici byla cejchována. /0,1 mm odpovídá 66 dílkům na bubínku./

Přípravek a mikroskop byly ustaveny pro zajištění vzájemné polohy na tušírovací desce. Toto zařízení je zobrazeno na obr. č. 25.

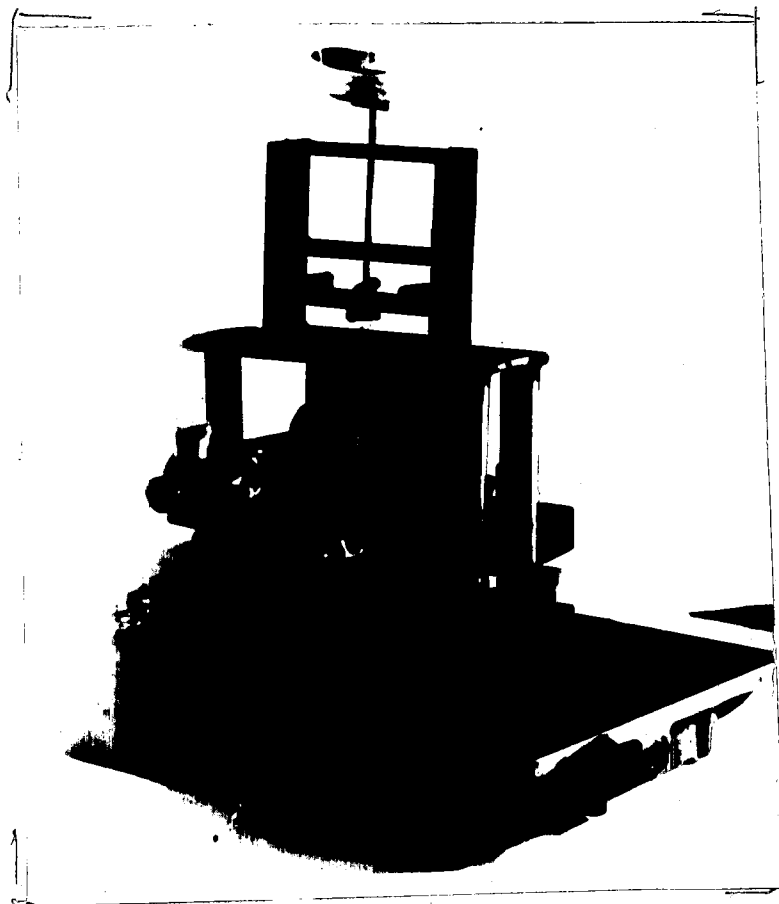
Provedené měření:

- . a/ zatěžovací a odlehčovací diagram /průběh deformací - tabulka č. 25, diagram č.20/
- b/ zatěžovací diagram /tabulka č. 26, 27, diagram č. 21, 22, /23 /



Obr. č. 24

Obr. č. 25



Tabulka č. 25.

| vzor č. 2.24 nevypálený | | vzor č. 2.22 vypálený | | vzor č. 9.17 nevypálený | |
|----------------------------|-------|--------------------------|-------|----------------------------|-------|
| g | dílek | g | dílek | g | dílek |
| 10 | 11,5 | 10 | 18 | 10 | 5 |
| 20 | 16,5 | 20 | 49 | 20 | 8 |
| 30 | 20 | 30 | 62 | 30 | 10 |
| 40 | 24,5 | 40 | 75 | 40 | 12 |
| 50 | 28,5 | 50 | 86 | 50 | 15 |
| 60 | 30 | 60 | 93 | 60 | 18 |
| 70 | 34 | 70 | 113 | 70 | 21 |
| 80 | 38 | 80 | 126 | 80 | 25 |
| 90 | 40 | 90 | 138 | 90 | 29 |
| 100 | 43,5 | 100 | 168 | 100 | 31 |
| 120 | 47 | 120 | 194 | 120 | 37 |
| 140 | 54 | 140 | 240 | 140 | 44 |
| 160 | 62 | 160 | 313 | 160 | 54 |
| 180 | 65,5 | 180 | 369 | 180 | 60 |
| 200 | 74 | 200 | 430 | 200 | 65 |
| 220 | 81 | 220 | 460 | 220 | 72 |
| 240 | 89,5 | 240 | 503 | 240 | 87 |
| 260 | 93 | 260 | 576 | 260 | 94 |
| 280 | 99 | 280 | 609 | 280 | 115 |
| 300 | 107 | praskla po 20 sec | | 300 | 125 |
| 320 | 114 | | | 350 | 147 |
| 340 | 120,5 | | | 380 | 172 |
| 360 | 128,5 | | | 400 | 196 |
| 460 | 163 | | | 420 | 225 |
| 480 | 179 | | | | |
| 500 | 193 | | | | |
| 550 | 213,5 | | | | |
| 560 | 229 | | | | |
| 580 | 245 | | | | |
| 625 | 279 | | | | |
| praskla po 20 sec. | | | | | |

Tabulka č. 26.

| vzor č. 6.6 nevypálený | | vzor č. 0.17 nevypálený | | vzor č. 6.1 vypálený | | vzor č. 0.15 vyálený | |
|---------------------------|-------|----------------------------|---------|-------------------------|-------|-------------------------|---------|
| g | dílek | g | dílek | g | dílek | g | dílek |
| 10 | 13 | 10 | 10 | 10 | 6 | 10 | 47 |
| 20 | 13 | 20 | 12,5 | 20 | 28 | 20 | 58 |
| 30 | 13 | 30 | 16 | 30 | 30 | 30 | 79 |
| 40 | 24 | 40 | 21,5 | 40 | 37 | 40 | 89 |
| 50 | 29 | 50 | 24 | 50 | 42 | 50 | 104 |
| 100 | 52 | 150 | 61,5 | 60 | 54 | 100 | 204,5 |
| 120 | 54,5 | 170 | 69 | 70 | 58,5 | 120 | 245 |
| 140 | 57 | 190 | 74 | 80 | 70,5 | 140 | 291 |
| 240 | 91 | 200 | 81 | 90 | 78,5 | 160 | 346 |
| 340 | 115 | 300 | 118 | 100 | 95 | 180 | 383 |
| 360 | 129,5 | 350 | 137 | 120 | 106 | 200 | 408 |
| 380 | 142 | 360 | 146 | 140 | 117 | 210 | 418 |
| 400 | 148 | 380 | 151 | 160 | 132,5 | 240 | praskla |
| 420 | 153 | 400 | 162,5 | 180 | 144 | | |
| 440 | 156,5 | 420 | 171 | 200 | 172 | | |
| 460 | 162,5 | 440 | 180,5 | 220 | 188 | | |
| 480 | 169,5 | 460 | 189 | 240 | 202 | | |
| 500 | 179 | 480 | 201 | 260 | 224 | | |
| 520 | 189 | 500 | 213 | 280 | 253 | | |
| 540 | 198,5 | 520 | 229 | 300 | 271,5 | | |
| 560 | 215 | 540 | 246 | 320 | 294,5 | | |
| zlom za 15sec | | 550 | praskla | 340 | 326 | | |
| | | | | 360 | 352 | | |
| | | | | 410 | 391,5 | | |
| | | | | 420 | 410 | | |
| | | | | 440 | 433,5 | | |
| | | | | 460 | 459 | | |
| | | | | 510 | 516 | | |
| | | | | zlom za 15 sec. | | | |

Zhodnocení měření průhybu:

Měření bylo prováděno jen na destičkách na pasu okraje stírané, protože destičky s okrajem vyformovanými nebylo možno řádně ustavit na pevné podpory tak, aby ležely po celé ploše. V uvedených diagramech je tento vliv uložení znázorněn čárkovaně. Toto by bylo možno odstranit výkyvnými podporami. Z časových důvodů, jsem toto již nemohl provést.

Vzájemná odlišnost pevnosti a pružnosti keramických destiček vytavených ve vodě a sejmutých bez vosku je patrná na diagramu č. 22.

Průběhy závislosti průhybu na zatížení jsou podobné jako u litiny. Proto při informačním zjištění modulu pružnosti jsem používal pro smluvní mez $\sigma = 0,02$.

Modul pružnosti:/ 9/

vz. typu 6.1

$$E = \frac{P l^3}{48 I_y} / \text{kg/cm}^2 /$$

P zatěžující síla v kg
 l vzdálenost podpor v cm
 I moment setrvačnosti v cm^4
 y průhyb v cm

$$h = \frac{F/k_o}{b} = \frac{1,30}{3,05} = 0,4289 / \text{cm} /$$

$h = 0,4289 \text{ cm}$

$$I = W_o \cdot e - / \text{cm}^4 /$$

W_o průřezový modul v ohybu v cm^3

e vzdálenost krajního vlákna v cm

$$W_o = \frac{1}{6} \cdot b \cdot h^2 / \text{cm}^3 /$$

$$W_o = \frac{1}{6} \cdot 3,05 \cdot 0,1823 = 0,09268 \text{ cm}^3$$

$$I = W_o \cdot e = 0,09268 \cdot 0,2144 = 0,01987 \text{ cm}^4$$

$$E = \frac{P \cdot l^3}{48 \cdot I \cdot y} / \text{kg/cm}^2 /$$

/ P a y zjištěno z diagramu při 0,02 /

$$y/\text{mm}/ = \frac{\text{dilek}}{660} = \frac{146}{660} = 0,221 \text{ mm}$$

$$E = \frac{0,4 \cdot 10^3}{48 \cdot 0,01987 \cdot 0,0221} = 1,8591 \cdot 10^4 \text{ kg/cm}^2$$

vz. č. 6.6

$$h = \frac{F/k_o}{b} = \frac{1,27}{3,1} = 0,4124 \text{ cm}$$

$$W_o = \frac{1}{6} \cdot b \cdot h^2 = \frac{1}{6} \cdot 3,1 \cdot 0,16974 = 0,0877 \text{ cm}^3$$

$$I = W_o \cdot e = 0,0877 \cdot 0,2062 = 0,01808 \text{ cm}^4$$

$$y/\text{mm}/ = \frac{198}{660} = 0,301 \text{ mm}$$

$$E = \frac{P \cdot l^3}{48 \cdot I \cdot y} = \frac{0,238 \cdot 10^3}{48 \cdot 0,01808 \cdot 0,0301} = \\ = 8,7253 \cdot 10^3 \text{ kg/cm}^2$$

Zhodnocení modulu pružnosti

Modul u vypálené skořepiny je o řád menší než u nevypálené a skořepina má při mnohem menším zatížení větší.

| | | |
|--------------|--|--|
| VŠST LIBEREC | Určení vhodné metody mechanických zkoušek skořepin | DP 137/63 STR. 110 20. ČERVENCE 1963 Vojtěch Rachota |
|--------------|--|--|

Závěr.

Úkolem této diplomní práce bylo po porovnání keramických destiček vyhodnotit takový typ vzorku destičky, která by dobře vystihovala kvalitu keramického materiálu a nebyla provozně nákladná.

Zkoušky byly prováděny na 9ti typech vzorků, při teplotách 20, 100, 200, 400, 550, 650, 800, 900, 950, 930°C. Pro každou temperaturu byla provedena zkouška na jedná destičce, kromě teploty 20°C, 930°C /vypálená skořepina/. Při těchto teplotách / 20°C byly lámány 3 - 4 destičky /.

Z provedených zkoušek vyplývá, že na citlivost změny pevnosti skořepinového materiálu mají vliv jak šířka destičky, tak i vzdálenost podpor. Vhodná šířka destičky je mezi 15 - 30 mm. Šířka 15 mm je již nevhodná pro měření i pro výrobu. Destičky již vykazují velmi malou pevnost. Toto se projevuje praskáním destiček při vlastní výrobě a je obtížné vyrobit potřebný počet destiček. U těchto šířek 15 mm je i provedení zkoušky obtížné, protože destičky praskají pod zatěžovací tyčinkou.

Z výrobních důvodů je vhodné volit destičky o délce 60 - 80 mm, protože destičky o větší

délce při znímání z modelů praskají.

Pro zkoušku keramických skořepin ohybem z jednotlivých typů vzorků, na kterých byly zkoušky prováděny, se jeví jako nevhodnější typ vzorku č. 78

V další části práce jsem se pokusil o informativní zjištění modulu pružnosti. Tento jsem pro nedostatek času určoval jen u dvou destiček. U vypálené skořepiny je velikost modulu pružnosti přibližně poloviční oproti skořepině vypálené. Při tomto měření se také projevil vliv vosku na pružnost destičky viz diagram č.23.

Jsem si vědom, že veškeré grafy v této práci byly sestrojeny z minimálního počtu měření a jsou protá dosti nepřesné. Pro správné získání závislosti pružnosti keramických skořepin by bylo nutné provést mnohem větší počet měření v kratších intervalech teplot.

Doufám, že navržený typ vzorku pro mechanické zkoušky skořepin ohybem přispěje k řešení úkolu v přesném lití metodou vytavitevního modelu a ostatní výsledky bude možno užít pro další pokračování výzkumu v tomto oboru.

| | | |
|--------------|--|---|
| VŠST LIBEREC | Určení vhodné metody mechanických zkoušek skořepin | DP <u>137</u> <u>63</u> STR. 113 20. ČERVENCE 1963 Vojtěch Rachota |
|--------------|--|---|

Seznam použité literatury:

- 1/ dr.Doškář : Přesné lití do keramických forem - SNTL Praha 1961
- 2/ Brabec : Příručka pro slévače
SNTL Praha 1959
- 3/ Petržala : Slévárenské formovací látky
SNTL Praha 1955
- 4/ Ozerov: Litjo vyplavljajemym modeljan
Mašgis 1961
- 5/ Škleník -Ozerov:Litjo vyplavljajemym modeljan
Mašgis 1961
- 6/ Shepherd a j.: Ethylsilicata and Colloidal
Silica as bonding Agents
for Ceramic Shell a Molds-
Foundry Trade Journai
2.11.1961, str.549/560 -
překlad UTEIN 155,776.
- 7/ Doškář,Krumpolc:Novodobé způsoby lití.
- 8/ Kolektiv pracov.Zkušeností s technologií
ZRR -Uh.Brod: přesného lití.
- 9/ akad.Píšek : Nauka o materiálu II. díl
1 svazek.
ČSAV Praha 1959
- 10/ J.Doškář -
O. Kaštánek: Přesné lití
SNTL 1961

VŠST LIBEREC

Určení vhodné metody
mechanických zkoušek
skořepin

DP - 137/63 STR. 113

20. ČERVENCE 1963

Vojtěch Ráčota

Seznam příloh.

Výkresy měřícího zařízení pro zkoušky pevnosti:

1 - DP - ST 137/63

2 - DP - ST 137/63

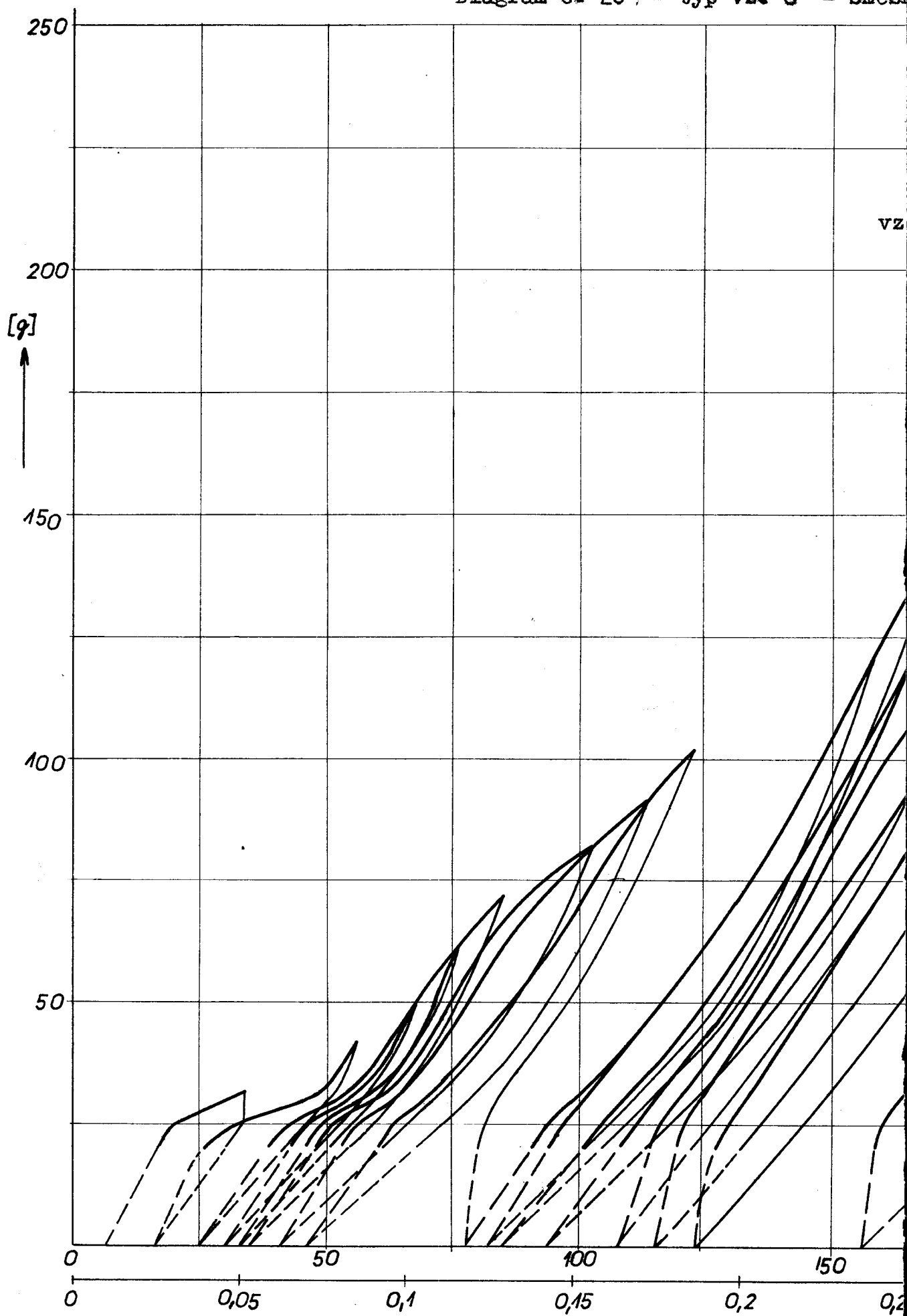
Výkresy forem :

3 - DP - ST 137/63

4 - DP - ST 137/63

5 - DP - ST 137/63

Diagram č. 20. - typ vz. 6 - směsi



zá hydrolyza

č. 6.10 nevypálený

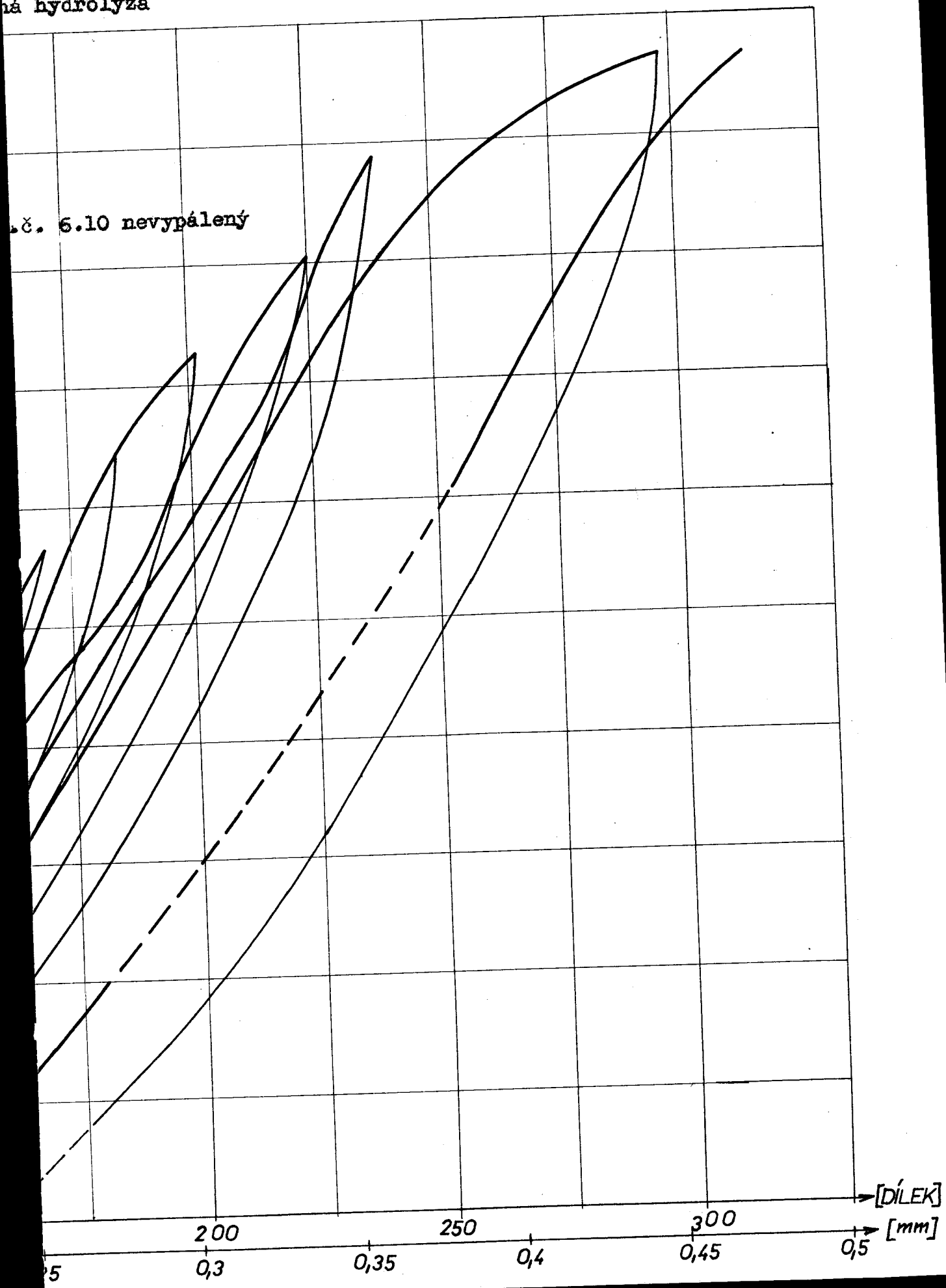
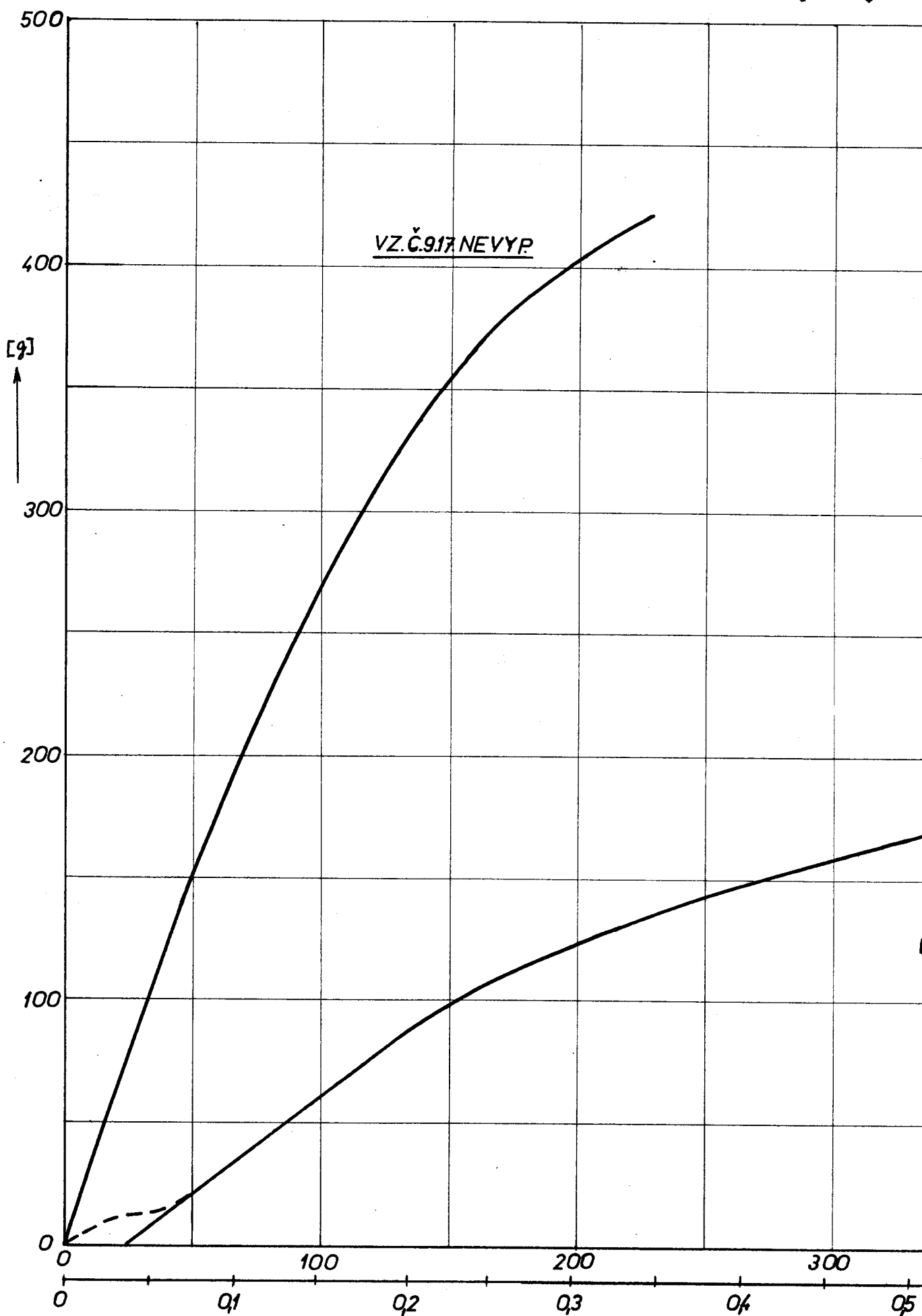
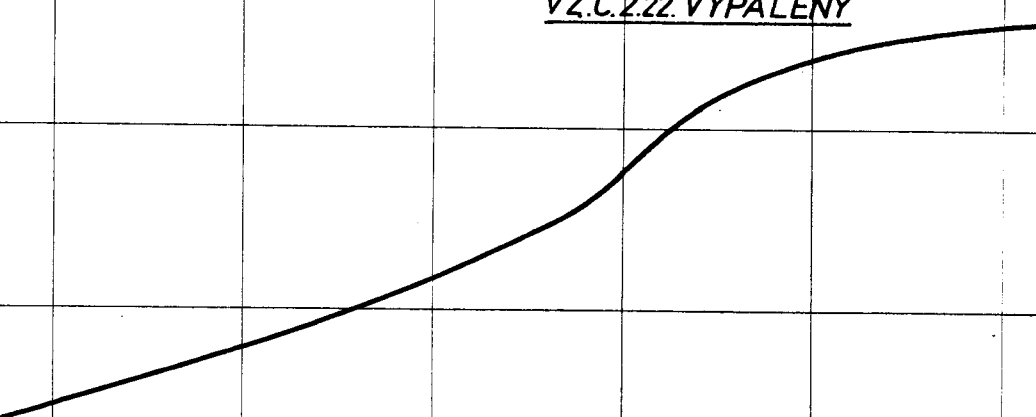


Diagram č. 21 - směsaná hydrolyza

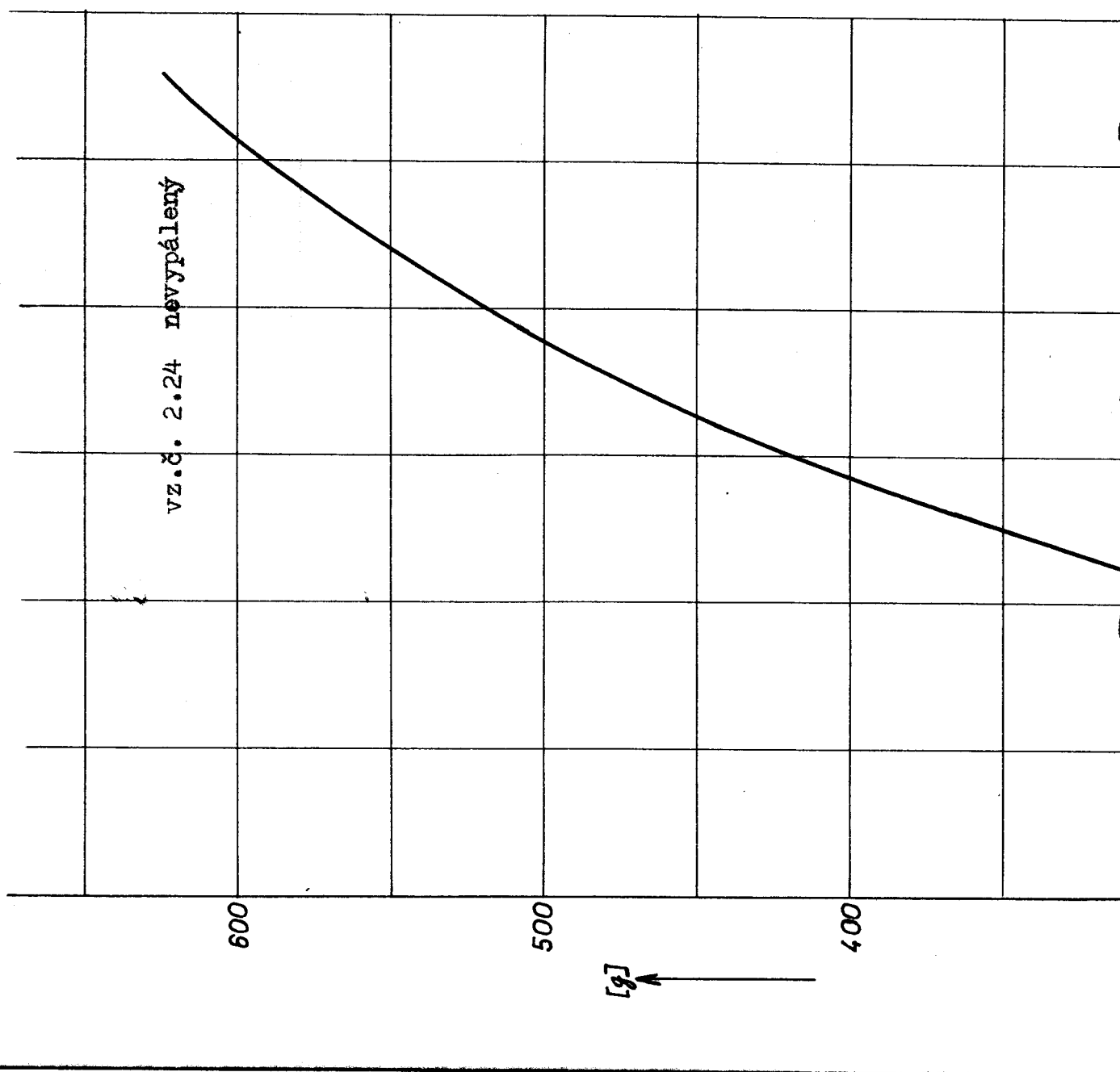


VZ.Č.2.22 VYPÁLENÝ



400 500 600 700 800 900 1000 → [DÍLEK]
0,6 0,7 0 0,8 0,9 → [mm]

Diagram č. 22 - směsná



DP 137 STR.
63
20. CERVENCE 1963
Vojtech Rachota

hydrоляza

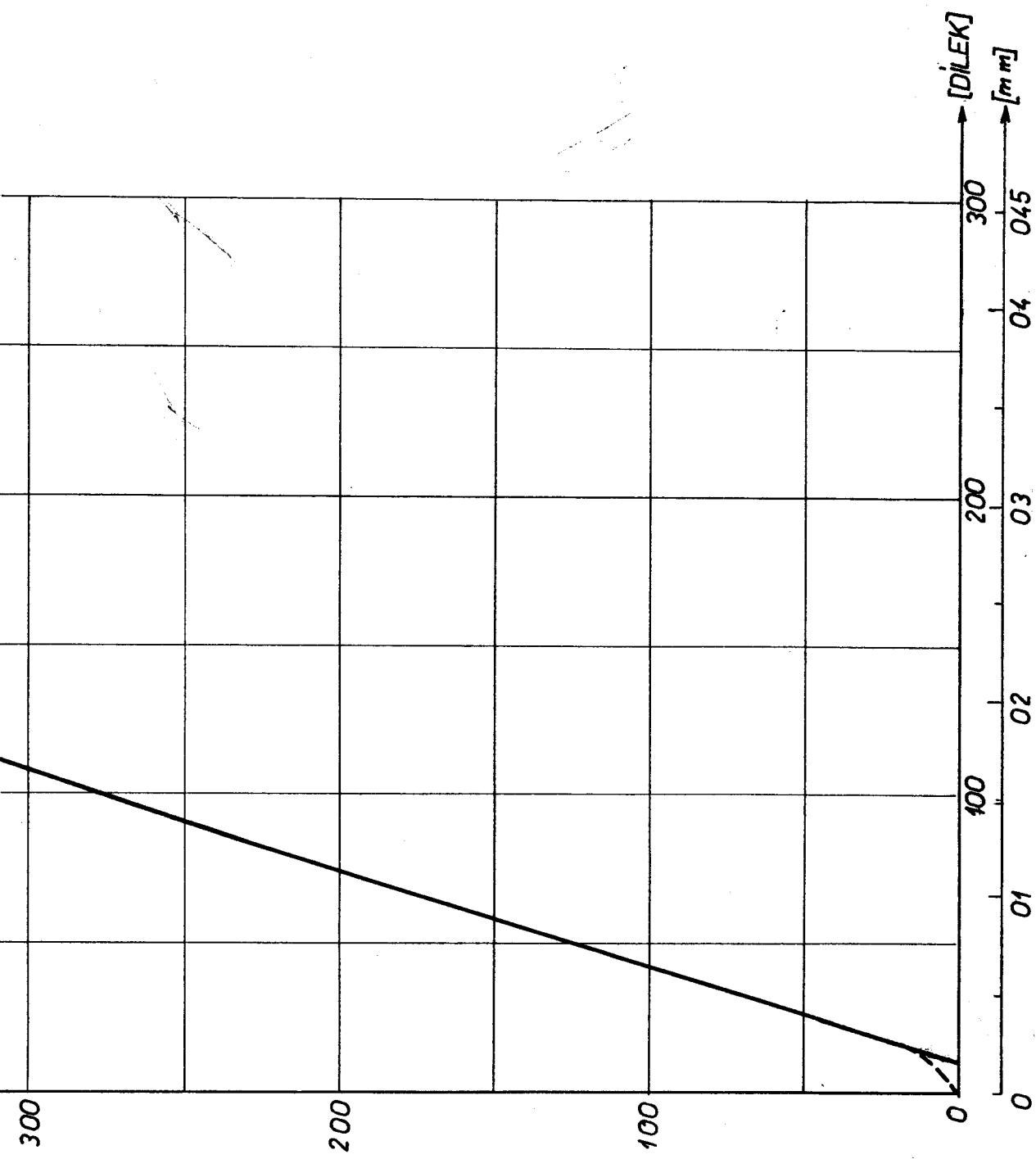
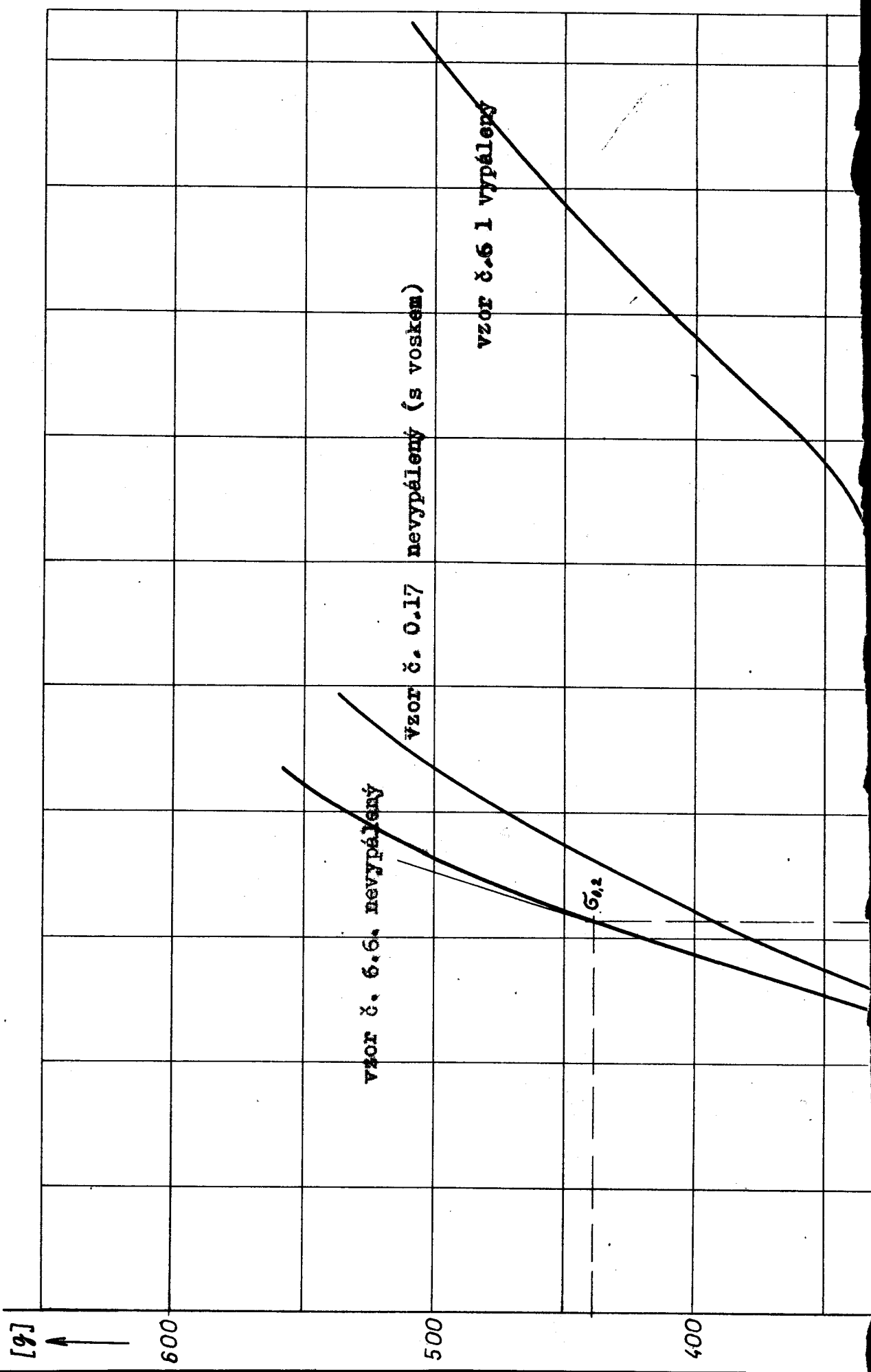
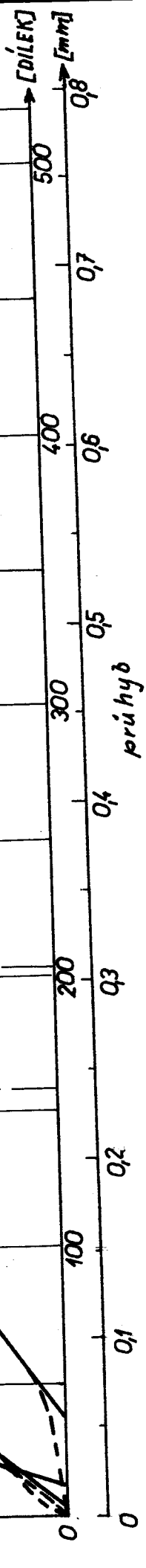


Diagram č. 23 - základní hydrolyza



DP 127/62 STR.



300

200

100

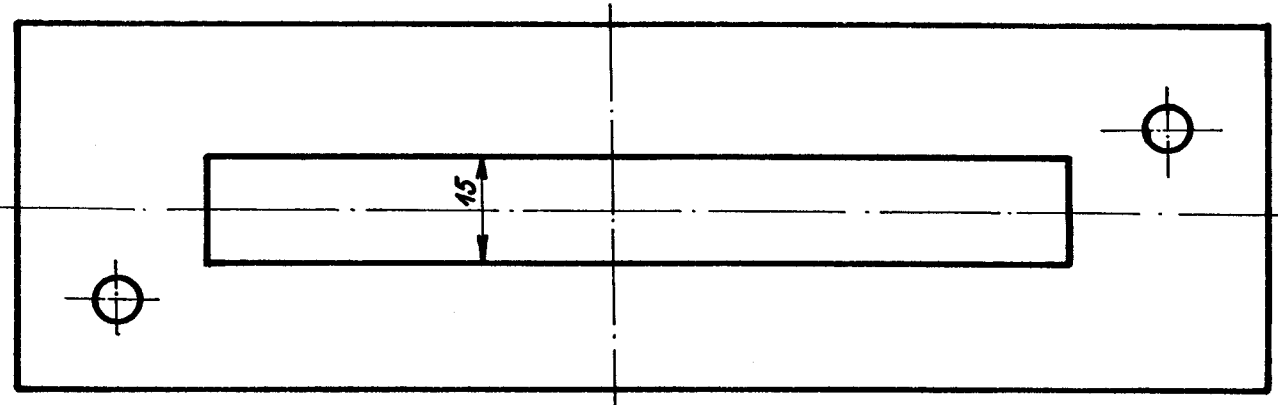
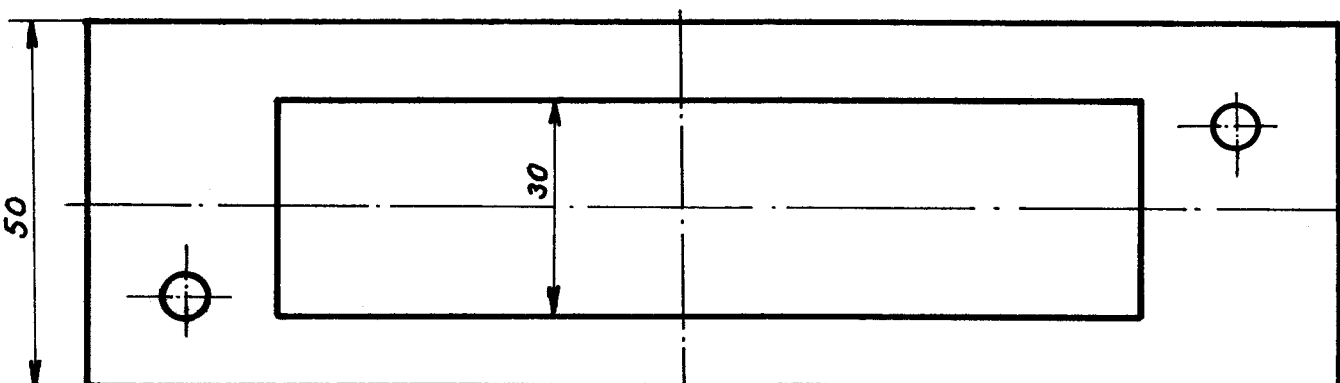
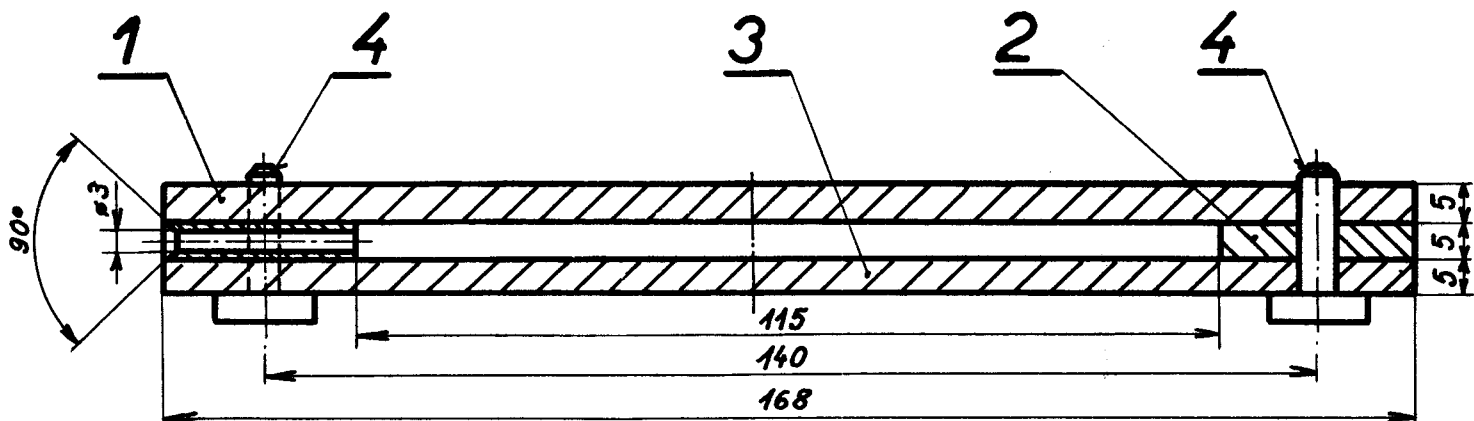
0

d i l k y

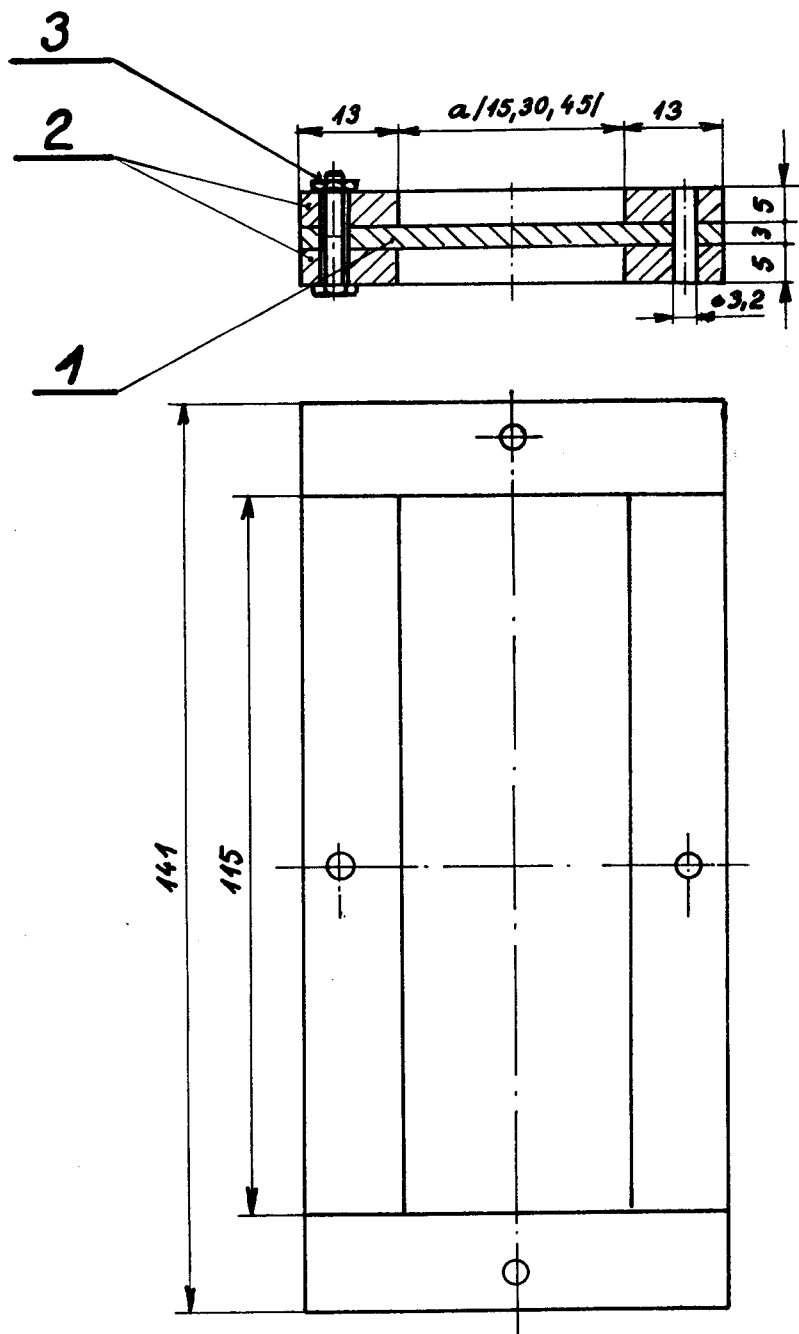
| <i>g</i> | 0 | 25 | 32 | 42 | 52 | 62 | 72 | 82 | 92 | 102 | 122 |
|----------|-----|-----|-----|-----|-----|-----|-----|-----|-----|-----|-----|
| 25 | 6 | 19 | | | | | | | | | |
| 32 | 6 | 19 | 34 | | | | | | | | |
| | 16 | 34 | 34 | | | | | | | | |
| 42 | 16 | 32 | 50 | 56 | | | | | | | |
| | 25 | 46 | 53 | 56 | | | | | | | |
| 52 | 25 | 43 | 56 | 62 | 69 | | | | | | |
| | 30 | 53 | 59 | 65 | 69 | | | | | | |
| 62 | 30 | 46 | 59 | 64 | 69 | 77 | | | | | |
| | 33 | 54 | 63 | 69 | 74 | 77 | | | | | |
| 72 | 33 | 49 | 58 | 65 | 73 | 77 | 85 | | | | |
| | 35 | 59 | 67 | 72 | 77 | 82 | 85 | | | | |
| 82 | 35 | 51 | 64 | 70 | 76 | 82 | 90 | 103 | | | |
| | 41 | 60 | 75 | 83 | 89 | 94 | 101 | 103 | | | |
| 92 | 41 | 55 | 68 | 73 | 80 | 86 | 93 | 102 | 114 | | |
| | 46 | 72 | 81 | 89 | 94 | 101 | 107 | 110 | 114 | | |
| 102 | 46 | 64 | 72 | 80 | 87 | 98 | 102 | 107 | 114 | 123 | |
| | 78 | 82 | 80 | 92 | 99 | 105 | 110 | 115 | 119 | 123 | |
| 122 | 78 | 94 | 103 | 110 | | 125 | | 137 | | 151 | 159 |
| 122 | 82 | 105 | 116 | 124 | | 136 | | 144 | | 153 | 159 |
| 142 | 82 | 97 | 105 | 111 | | 124 | | 137 | | 148 | 159 |
| 142 | 85 | 108 | 116 | 125 | | 139 | | 151 | | 156 | 163 |
| 162 | 85 | 105 | 113 | 119 | | 132 | | 144 | | 155 | 166 |
| | 94 | 114 | 125 | 134 | | 147 | | 160 | | 168 | 178 |
| 182 | 94 | 110 | 118 | 123 | | 136 | | 150 | | 157 | 170 |
| | 108 | 120 | 131 | 141 | | 153 | | 165 | | 177 | 186 |
| 202 | 108 | 114 | 123 | 128 | | 139 | | 152 | | 162 | 177 |
| | 115 | 133 | 145 | 150 | | 164 | | 176 | | 186 | 198 |
| 222 | 115 | 115 | 127 | 131 | 137 | | | | | 171 | 184 |
| | 123 | 139 | 148 | 158 | 166 | | | | | 199 | 208 |
| 242 | 123 | 128 | 136 | | 147 | | | | | | |
| | 156 | 178 | 188 | | 207 | | | | | | |
| | 156 | 160 | 167 | | 181 | | | | | | |

| | | |
|-------------------|------------------|------|
| DP | <u>137</u> 63 | STR. |
| 20. ČERVENCE 1963 | | |
| Vojtěch Rachota | | |

| 142 | 152 | 162 | 182 | 202 | 222 | 242 | 262 |
|-----|-----|-----|-----|-----|-----|-----|-------------------|
| | | | | | | | |
| 170 | | | | | | | |
| 170 | | | | | | | |
| 182 | 185 | | | | | | |
| 182 | 185 | | | | | | |
| 178 | 187 | 202 | | | | | |
| 195 | 199 | 202 | | | | | |
| 192 | 201 | 210 | 225 | | | | |
| 207 | 215 | 221 | 225 | | | | |
| 195 | 212 | 221 | 228 | 239 | | | |
| 218 | 226 | 233 | 236 | 239 | | | |
| | 210 | | | 240 | 260 | 298 | |
| | 267 | | | 290 | 296 | 298 | |
| | 253 | | | 281 | | 315 | při 262 - praskla |



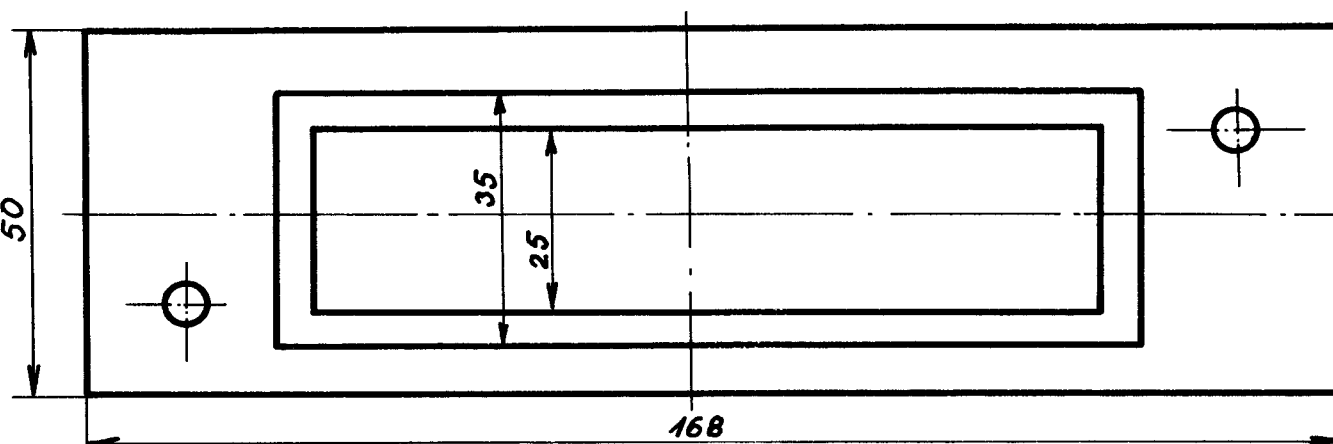
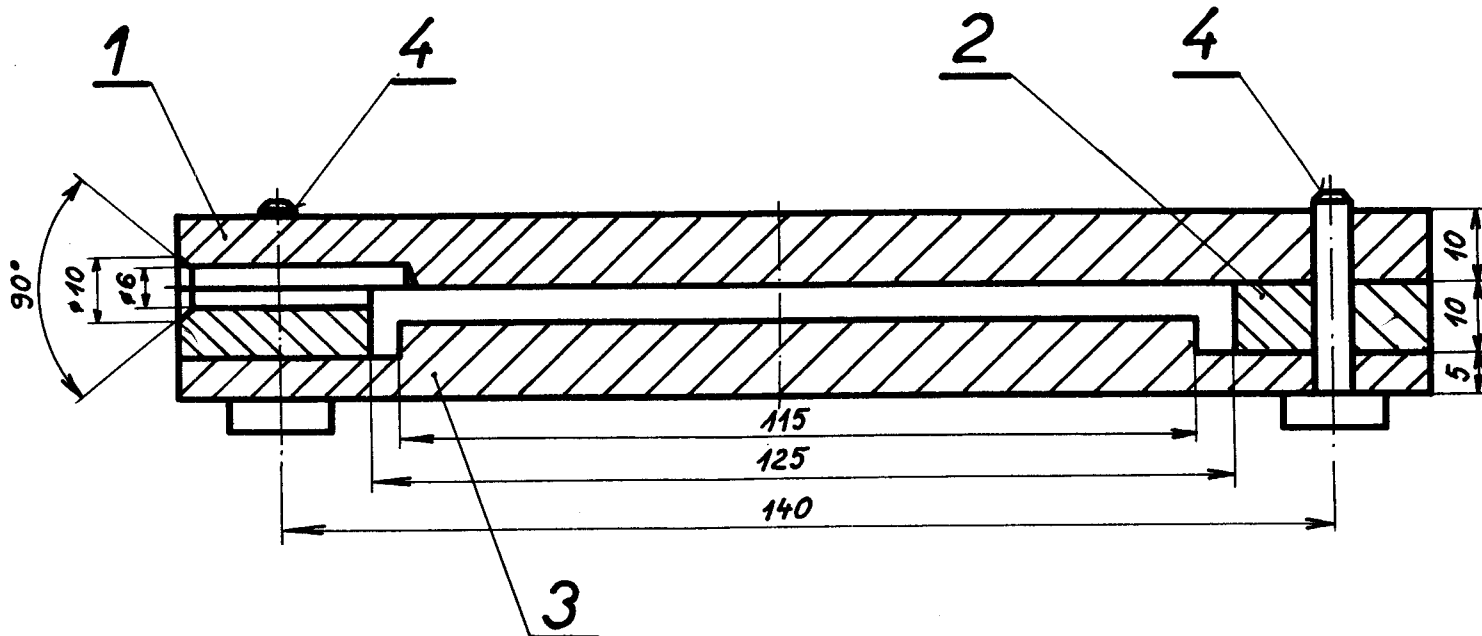
| | | | | | | | | | |
|-----------------|----------------|-------------------|----------------|----------------|------------|-------------|----------|---------------|------|
| 2 | ČEP 6x30 | | | ČSN 11500 | | | | | 4 |
| 1 | DNO 168x50x10 | | | ČSN 11500 | | | | | 3 |
| 1 | RÁMEČK | | | ČSN 11500 | | | | | 2 |
| 1 | VÍKO | | | ČSN 11500 | | | | | 1 |
| Počet ks: | Název — Rozměr | Polotovar | Mater. konečný | Mater. výchozí | Tr. odp. | Č. váha | Hr. váha | Číslo výkresu | Pos. |
| Poznámka | | | | | | | | | |
| Měřítko | Kreslil | <i>Rachata T.</i> | | Č. snímku | Z | E | M | Index zámeny | X |
| 1:1 | Překousel | | | | | | | | X |
| | Norm. ref. | | | | | | | | X |
| | Výr. projedn. | | | Schvalil | Č. transp. | | | Dopis | X |
| | | | | Dne | | | | | X |
| | | Type | Skupina | Starý výkres | | Nový výkres | | | |
| VŠST LIBEREC | | Název | FORMA | | | | | | |
| Počet listů | | | | | | | | | |
| 3-DP-ST 137/63 | | | | | | | | | |



| | | | | | | | | | | |
|---|----------|--|--|--|-----|--|--|--|--|---|
| 3 | ŠROUB M3 | | | | | | | | | 1 |
| 2 | DESKA | | | | PVC | | | | | 1 |
| 1 | LIŠTA | | | | PVC | | | | | 1 |

| Počet ks | Název — Rozměr | Položovat | Mater. konečný | Mater. výchozí | Tr. odp. | Č. váha | Hr. váha | Číslo výkresu | Pos. |
|----------------|--|-----------------------|-------------------------|----------------|----------|---------|----------|---------------|-------------|
| Poznámka | | Celkové čisté váha kg | | | | | | | |
| Měřítko 1:1 | Kreslil Prezkoušel Norm. ref. Výr. projedn. | <i>Rachata</i> | Č. snímku C. transp. | A | | E | | Dopis | Index změny |
| | Schvalil | B | | | F | | | | |
| | Dne | C | | | G | | | | |
| | | D | | | H | | | | |
| | | Z | | | I | | | | |

| Typ | Skupina | Starý výkres | Nový výkres |
|-----------------|----------------|----------------|-------------|
| VŠST LIBEREC | Název FORMA | 5-DP-ST 137/63 | |
| | | Počet listů | List |



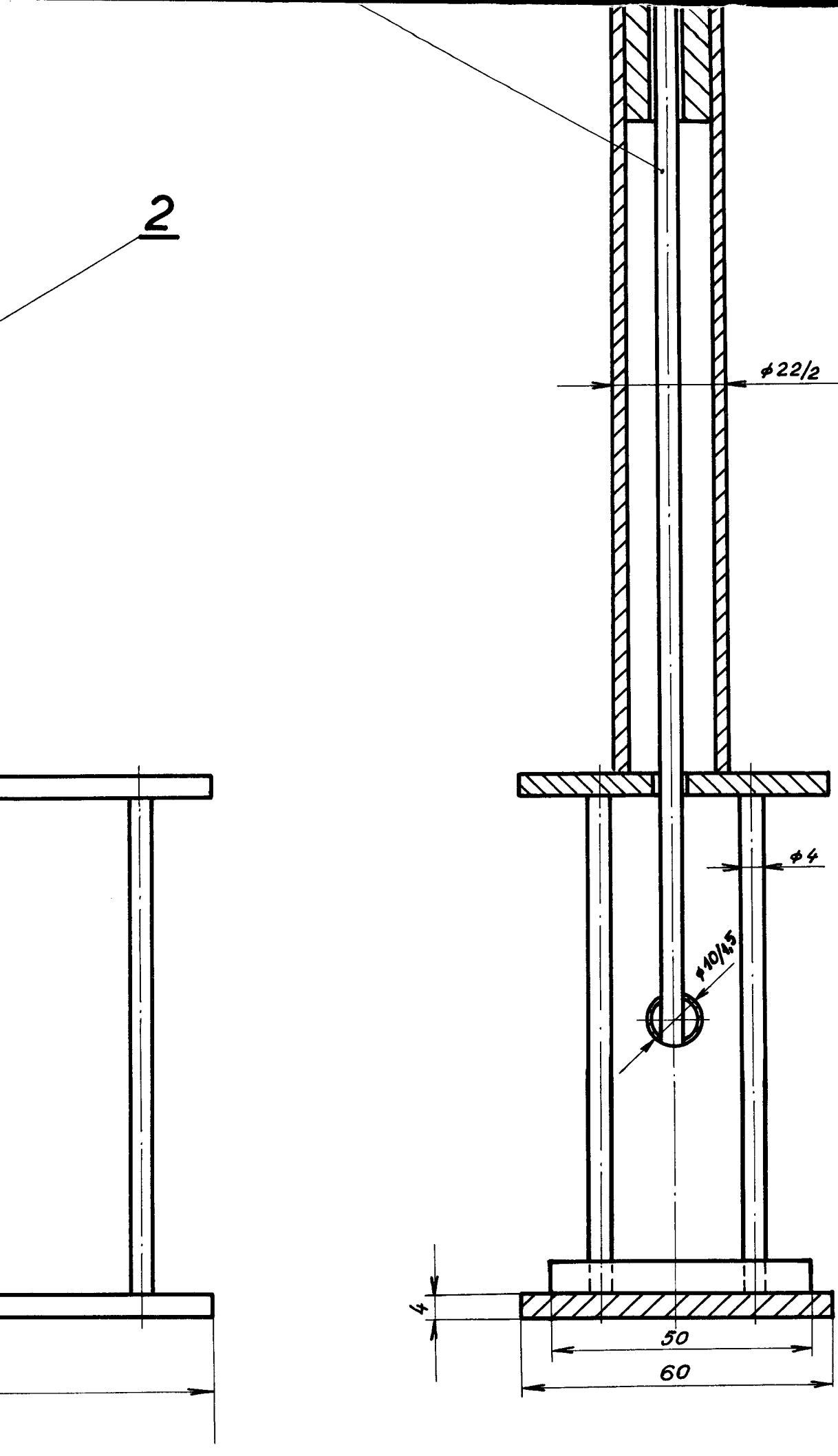
| | | | | | | | | | |
|---|-------------------------------------|--|--|-----------|--|--|--|--|---|
| 2 | ČEP $\phi 6 \times 30$ | | | ČSN 11500 | | | | | 4 |
| 1 | DNO 168 \times 50 \times 10 | | | ČSN 11500 | | | | | 3 |
| 1 | RÁMEČEK 168 \times 50 \times 10 | | | ČSN 11500 | | | | | 2 |
| 1 | VÍKO 168 \times 50 \times 10 | | | ČSN 11500 | | | | | 1 |

| Počet ks | Název — Rozměr | Položka | Mater. konečný | Mater. výchozí | Tr. odp. | Č. váha | Hr. váha | Číslo výkresu | Pos. |
|----------|---|------------|----------------|-----------------------|----------|---------|----------|---------------|------|
| Poznámka | | | | | | | | | |
| Měřítko | Kreslil Piezkušel Norm. ref. Výr. projedn. | Rachota V. | Č. snímku | Celková čistá váha kg | | | | | |
| 1:1 | | | | a | b | c | d | e | x |
| | | | | e | f | g | h | i | x |
| | | | | z | | | | | x |
| | Schválil | Č. transp. | | | | | | | |
| | Dne | | | | | | | | |

| Typ | Skupina | Starý výkres | Nový výkres |
|-----------------|-----------------------|--------------|----------------|
| VŠST LIBEREC | Název <u>FORMA</u> | | 4-DP-ST 137/63 |
| | | Počet listů | List |

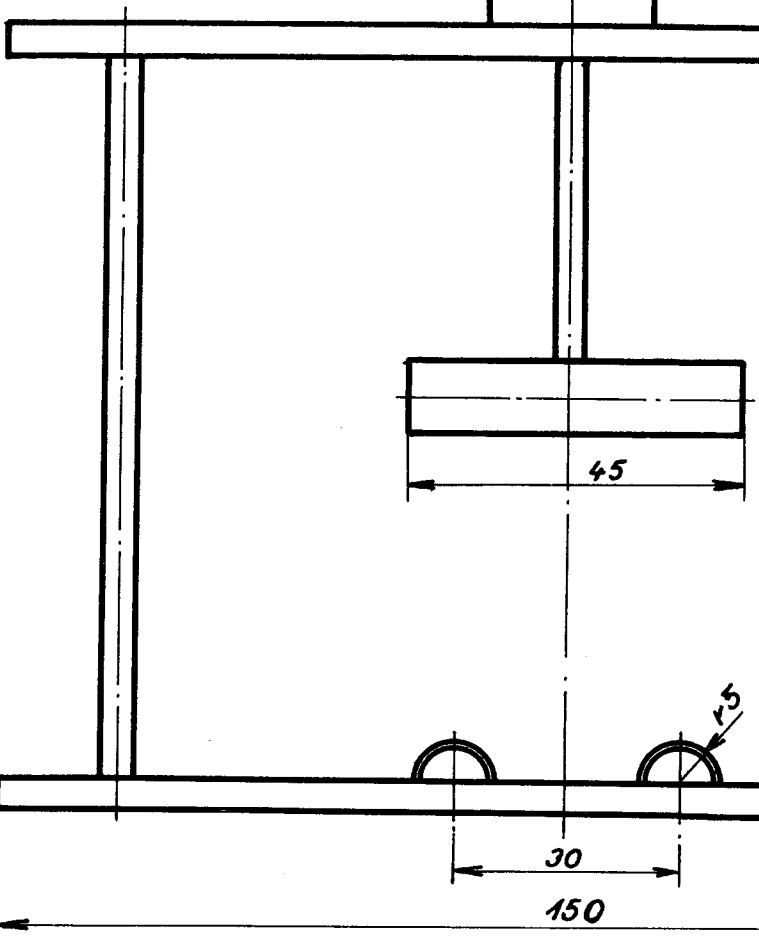
SVÁRENO

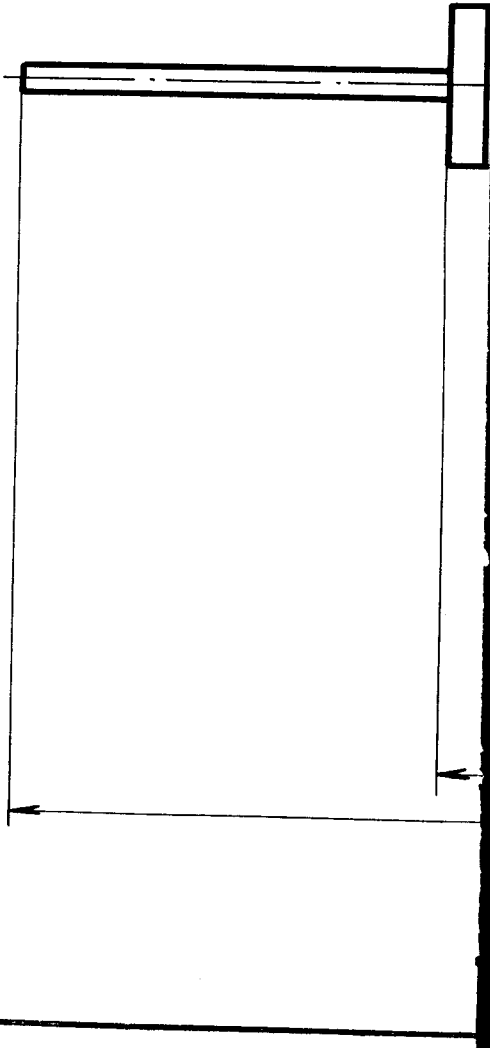
| | | | | | | | | | | | |
|-----------------|----------------|---------------|----------------|----------------|--------------|-------------|----------|---------------|--------|-------------|------|
| 1 | VODÍTKO | | | ČSN11500 | | | | | | 3 | |
| 1 | RÁM | | | POLDI AKC | | | | | | 2 | |
| 1 | ZATEŽ. TYČ. | | | POLDI AKC | | | | | | 1 | |
| Počet kusů | Název - rozměr | Polotovar | Mater. konečný | Mater. výchozí | Třída odpadu | Č. váha | Hr. váha | Číslo výkresu | Pos. | | |
| Poznámka | | | | | | | | | | | |
| Měřitko 1:1 | Kreslil | Rachota N. | Č. snímku | Změna | | | | Datum | Podpis | Index změny | |
| | Překoušel | | | | | | | | | x | |
| | Norm. ref. | | | | | | | | | x | |
| | Výr. projedn. | Schválil | Č. transp. | Změna | | | | | | | |
| | Dne | | Dne | | | | | | | x | |
| VŠST LIBEREC | Typ | Skupina | Starý výkres | Nový výkres | | | | | | | |
| | Název | MĚR. ZAŘÍZENÍ | 1-DP-ST 137/63 | | | | | | | | |
| | | | | | | Počet listů | | | | | List |

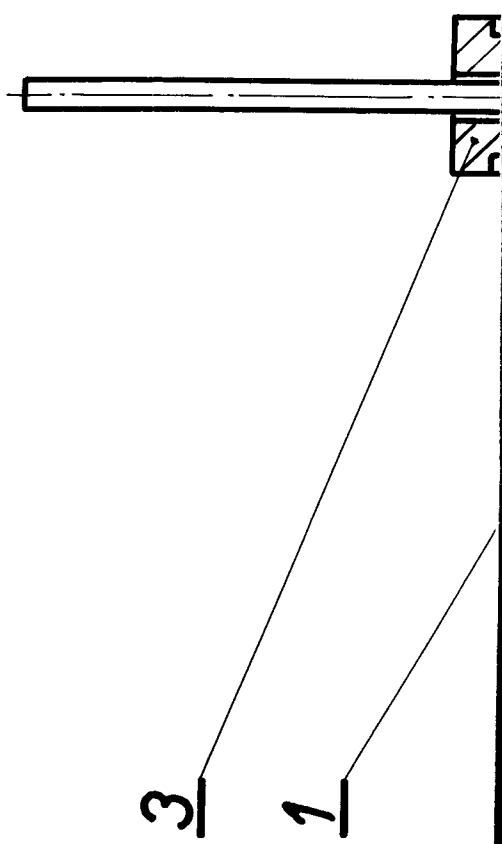


360

270

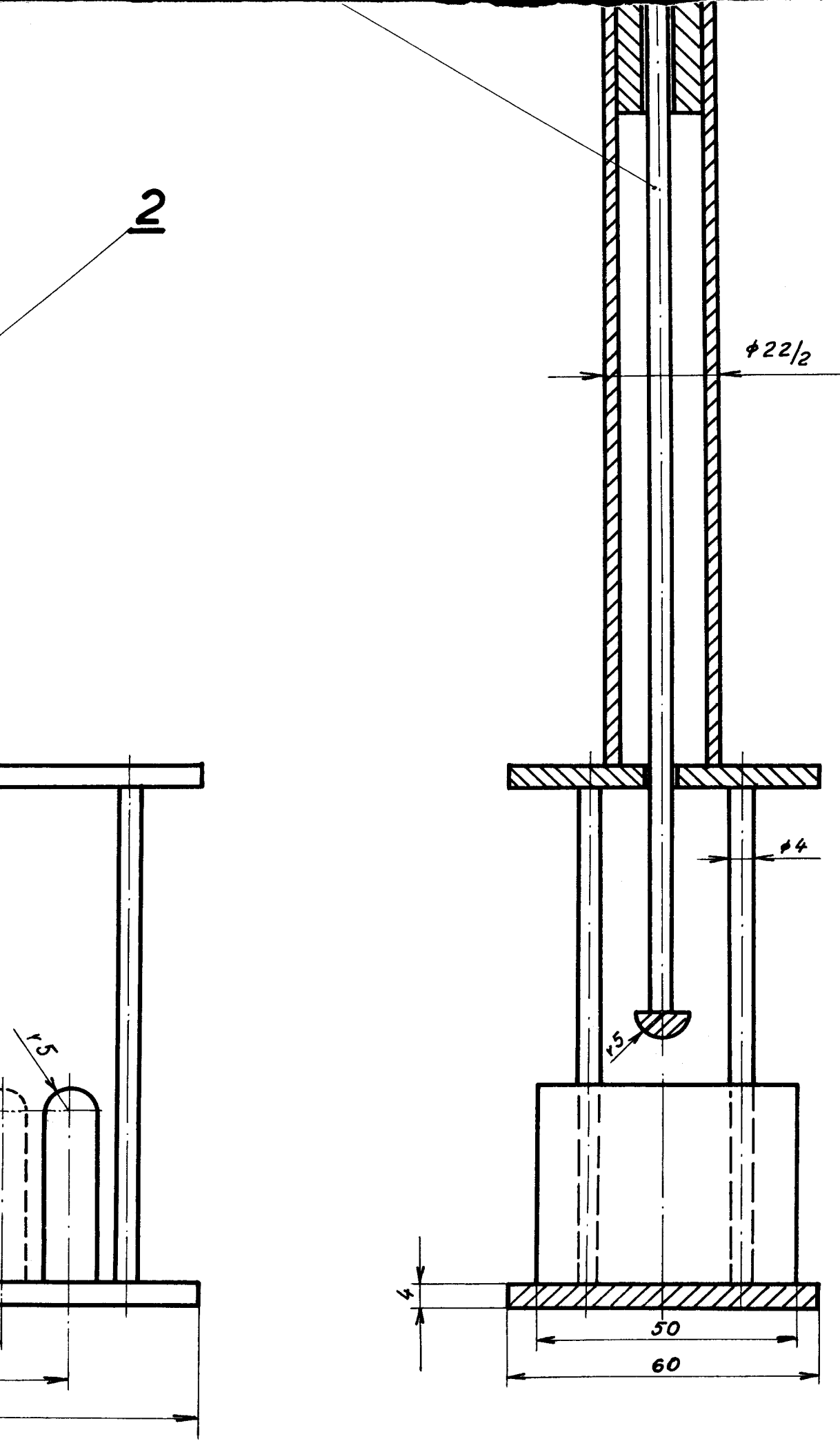


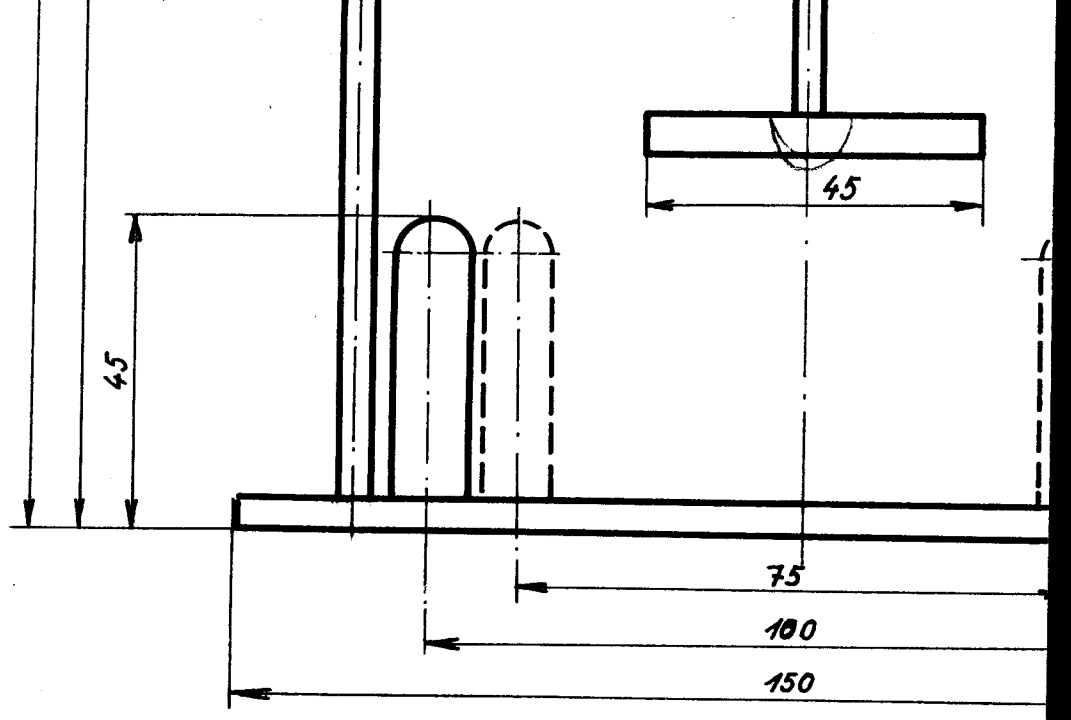


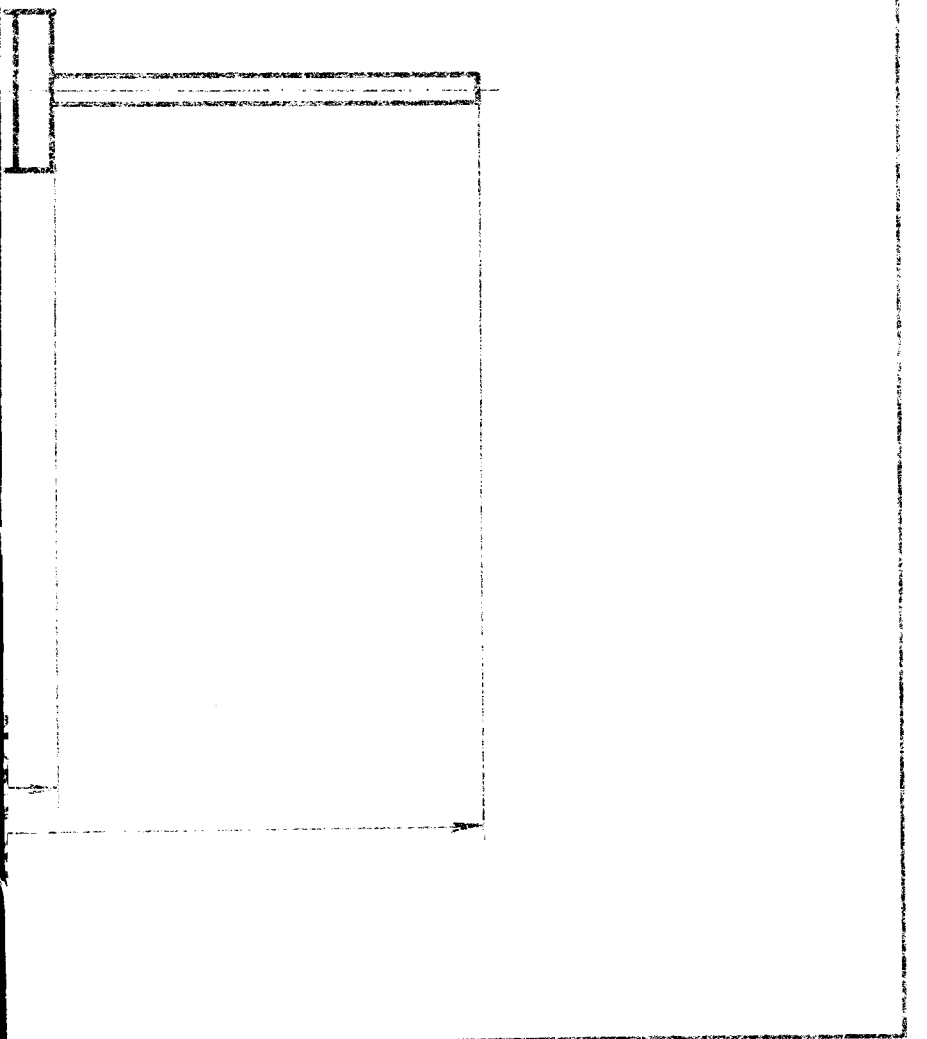


SVARÉNO

| | | | | | | | | | |
|-----------------|----------------|----------------------|----------------|-----------------------|-----------------|---------|----------|---------------|------|
| 1 | VODÍTKO | | | ČSN11500 | | | | | 3 |
| 1 | RÁM | | | POLDI AKC | | | | | 2 |
| 1 | ZATEŽ. TYČ. | | | POLDI AKC | | | | | 1 |
| Podob. kusu | Název - rozměr | Polotovar | Mater. konečný | Mater. výchozí | Třída odpadu | Č. váha | Hr. váha | Číslo výkresu | Pos. |
| Poznámka | | | | Celková čistá váha kg | | | | | |
| Měřítko | Kreslil | <i>Racheta N.</i> | Č. snímku | Změna | | | | | x |
| | Přezkoušel | | | | | | | | x |
| 1:1 | Norm. ref. | | | | | | | | x |
| | Výr. projedn. | Schválil | Č. transp. | | | | | Datum | |
| | | Dne | | | | | | Pořadí | |
| | Typ | Skupina | | Starý výkres | Nový výkres | | | Index změny | |
| VŠST LIBEREC | Název | <u>MĚR. ZAŘÍZENÍ</u> | | 2-DP-ST137/63 | | | | | |
| | | | | Počet listů | | | | List | |

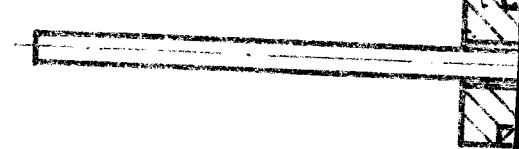


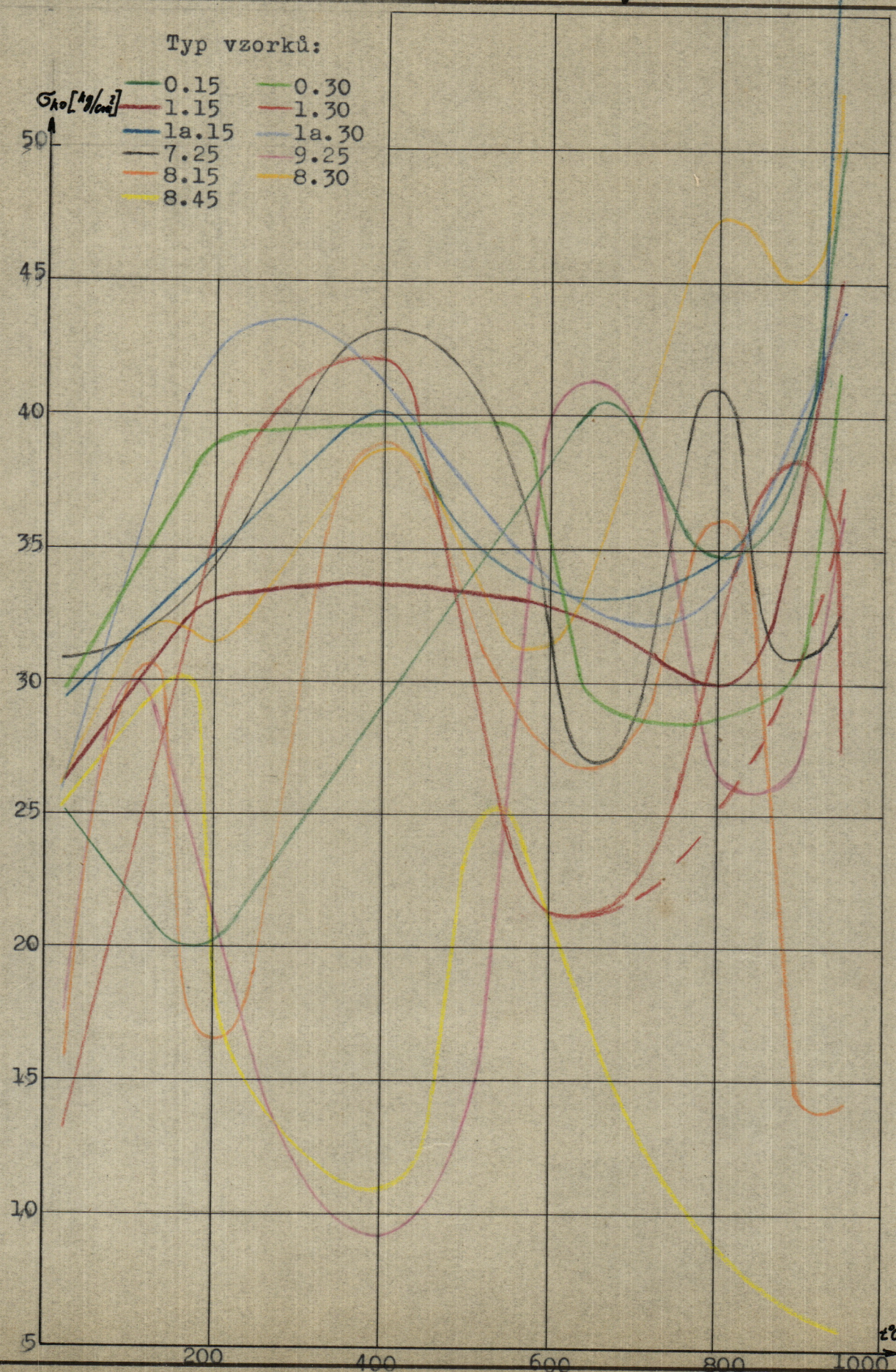




ω

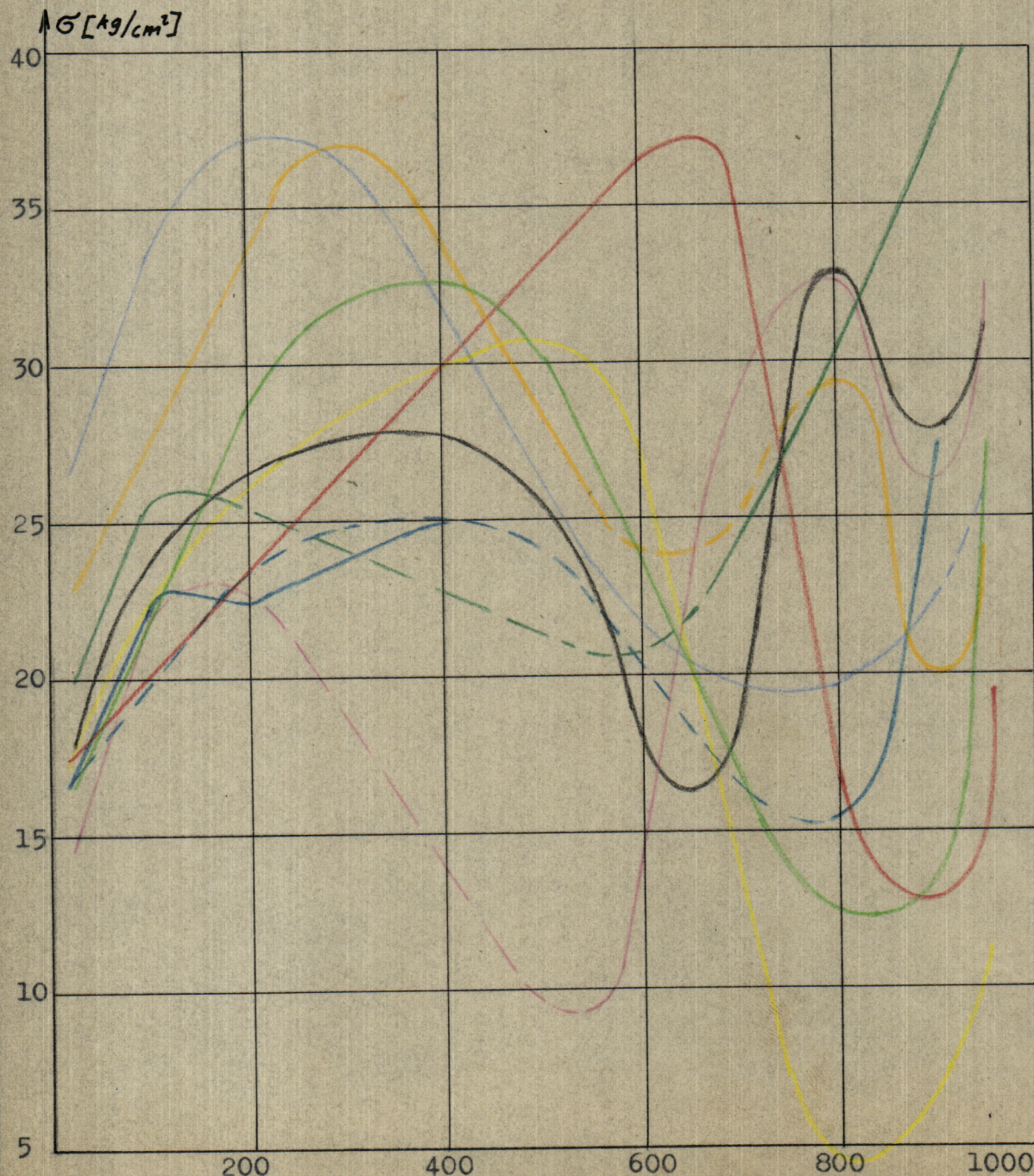
γ





Typ vzorků:

- | | |
|---------|---------|
| — 0.15 | — 0.30 |
| — 1.15 | — 1.30 |
| — la.15 | — la.30 |
| — 7.25 | — 9.25 |
| — 8.15 | — 8.30 |
| — 8.45 | |

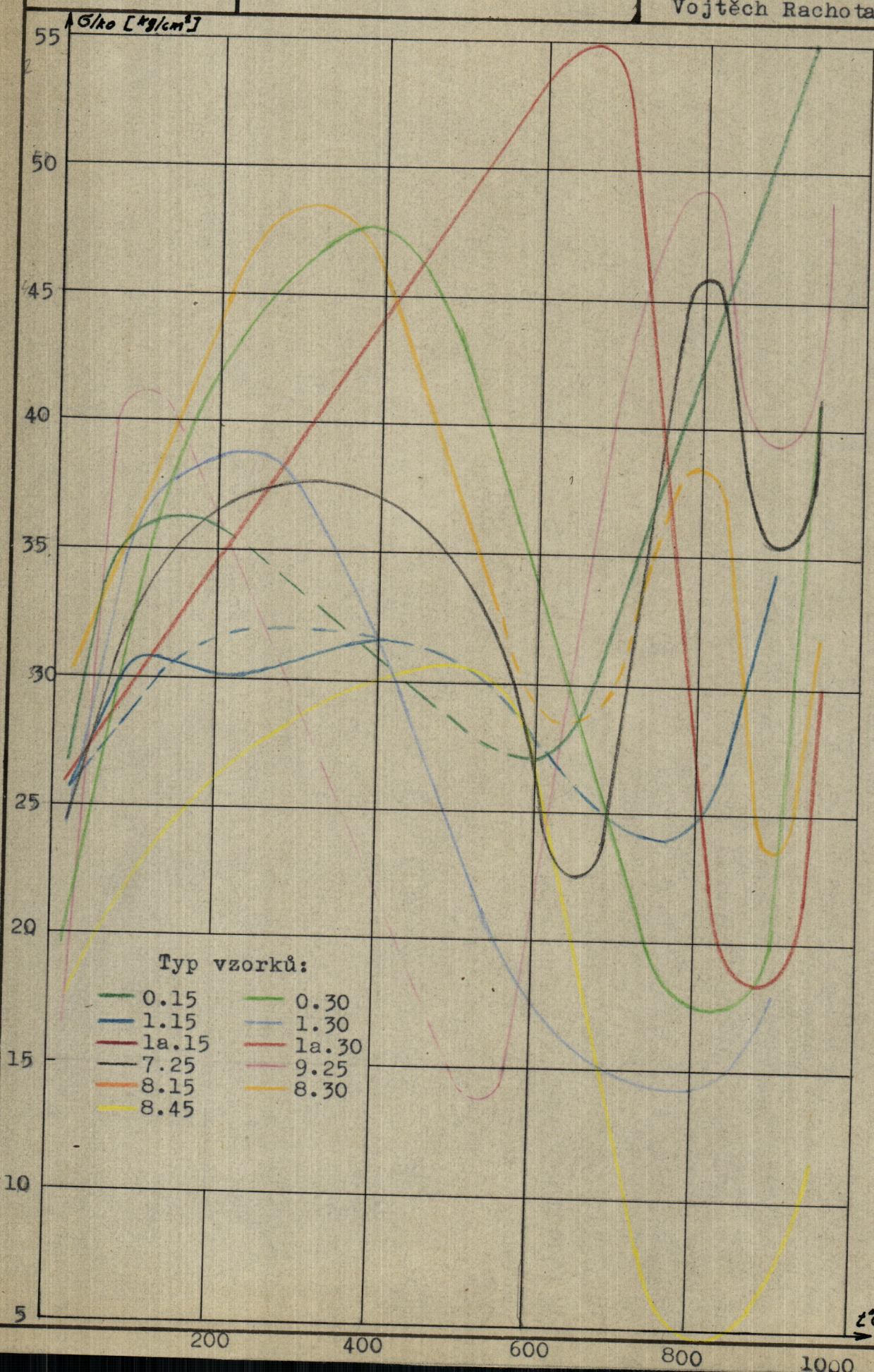


VŠST LIBEREC

Souhrnné grafy měření.
/základní hydrolyza /

DP 137/63

Vojtěch Rachota



Typ vzorků:

- | | |
|---------|---------|
| — 0.15 | — 0.30 |
| — 1.15 | — 1.30 |
| — la.15 | — la.30 |
| — 7.25 | — 9.25 |
| — 8.15 | — 8.30 |
| — 8.45 | |

